Siehe ähnliche Dateien: http://www.ps.bam.de/ZG62/; www.ps.bam.de/ZG.HTM
Technische Information: http://www.ps.bam.de Version 2.1, io=1.1

BAM-Registrierung: 20071001-ZG62/L62G00N1.PS/.TXT
Anwendung für Beurteilung und Messung von Drucker- oder Monitorsystemen
BAM-Material: Code=hätta

Eingabe: Farbmetrisches Offset-Reflektiv-System ORS18

für Buntton $h^* = lab^*h = 38/360 = 0.105$

lab*tch* und *lab*nch

D65: Buntton O

LCH*Ma: 48 83 38

olv*Ma: 1.0 0.0 0.0

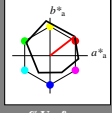

ORS18; adaptierte CIELAB-Daten

	$L^*=L^*_a$	a^*_a	b^*_a	$C^*_{ab,a}$	$h^*_{ab,a}$
O_{Ma}	47.94	65.39	50.52	82.63	38
Y_{Ma}	90.37	−10.26	91.75	92.32	96
L_{Ma}	50.9	−62.83	34.96	71.91	151
C_{Ma}	58.62	−30.34	−45.01	54.3	236
V_{Ma}	25.72	31.1	−44.4	54.22	305
M_{Ma}	48.13	75.28	−8.36	75.74	354
N_{Ma}	18.01	0.0	0.0	0.0	0
W_{Ma}	95.41	0.0	0.0	0.0	0
R_{CIE}	39.92	58.66	26.98	64.57	25
J_{CIE}	81.26	−2.16	67.76	67.79	92
G_{CIE}	52.23	−42.25	11.76	43.87	164
B_{CIE}	30.57	1.15	−46.84	46.86	271

Dreiecks-Helligkeit *t**

%Umfang

u^*_{rel} = 93

%Regularität

$g^*_{H,rel}$ = 57

$g^*_{C,rel}$ = 59

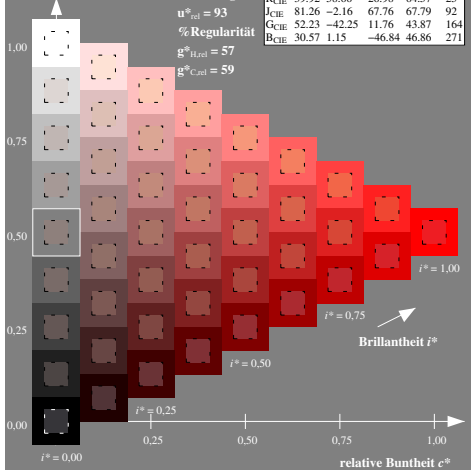

Ausgabe: Farbmetrisches Offset-Reflektiv-System ORS18

für Buntton $h^* = lab^*h = 38/360 = 0.105$

lab*tch* und *lab*nch

D65: Buntton O

LCH*Ma: 48 83 38

olv*Ma: 1.0 0.0 0.0

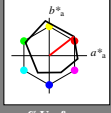

ORS18; adaptierte CIELAB-Daten

	$L^*=L^*_a$	a^*_a	b^*_a	$C^*_{ab,a}$	$h^*_{ab,a}$
R	48.0	68.58	31.54	75.48	25
R25J	50.11	61.52	52.63	80.96	41
R50J	62.87	38.77	65.02	75.71	59
R75J	74.87	17.37	76.69	78.63	77
J	86.19	−2.8	87.69	87.73	92
J25G	84.01	−18.73	82.6	84.7	103
J50G	71.17	−35.83	64.13	73.46	119
J75G	56.99	−54.71	43.72	70.05	141
G	52.8	−54.82	15.26	56.92	164
G25B	54.69	−46.87	−4.31	47.08	185
G50B	57.25	−36.1	−30.82	47.48	220
G75B	49.61	−13.51	−44.85	46.85	253
B	41.78	1.1	−44.7	44.72	271
B25R	29.34	24.33	−44.47	50.7	299
B50R	40.78	60.78	−20.18	64.05	342
B75R	48.06	71.56	13.77	72.87	11

Dreiecks-Helligkeit *t**

%Umfang

u^*_{rel} = 93

%Regularität

$g^*_{H,rel}$ = 57

$g^*_{C,rel}$ = 59

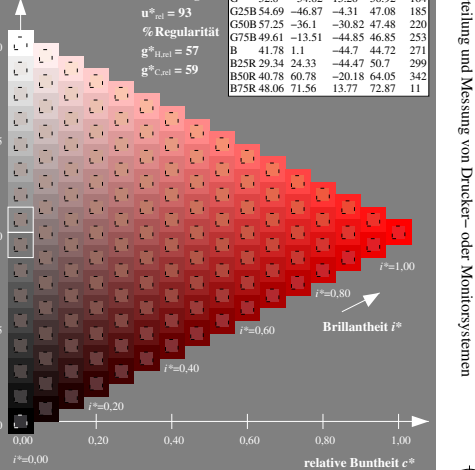

ZG620−7N, 9stufige Reihen für konstanten CIELAB Buntton 38/360 = 0.105 (links) Seite 1/60 ZG620−7N, 16stufige Reihen für konstanten CIELAB Buntton 38/360 = 0.105 (rechts)

Siehe ähnliche Dateien: http://www.ps.bam.de/ZG62/; www.ps.bam.de/ZG.HTM
Technische Information: http://www.ps.bam.de Version 2.1, io=1.1

BAM-Registrierung: 20071001-ZG62/L62G00N1.PS/.TXT
Anwendung für Beurteilung und Messung von Drucker- oder Monitorsystemen
BAM-Material: Code=hätta

Eingabe: Farbmetrisches Offset-Reflektiv-System ORS18

für Buntton $h^* = lab^*h = 96/360 = 0.268$

lab*tch* und *lab*nch

D65: Buntton Y

LCH*Ma: 90 92 96

olv*Ma: 1.0 1.0 0.0

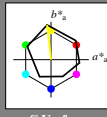

Dreiecks-Helligkeit *t

%Umfang

u^*_{rel} = 93

%Regularität

$g^*_{H,rel}$ = 57

$g^*_{C,rel}$ = 59

ORS18; adaptierte CIELAB-Daten

	$L^*=L^*_a$	a^*_a	b^*_a	$C^*_{ab,a}$	$h^*_{ab,a}$
O_{Ma}	47.94	65.39	50.52	82.63	38
Y_{Ma}	90.37	−10.26	91.75	92.32	96
L_{Ma}	50.9	−62.83	34.96	71.91	151
C_{Ma}	58.62	−30.34	−45.01	54.3	236
V_{Ma}	25.72	31.1	−44.4	54.22	305
M_{Ma}	48.13	75.28	−8.36	75.74	354
N_{Ma}	18.01	0.0	0.0	0.0	0
W_{Ma}	95.41	0.0	0.0	0.0	0
R_{CIE}	39.92	58.66	26.98	64.57	25
J_{CIE}	81.26	−2.16	67.76	67.79	92
G_{CIE}	52.23	−42.25	11.76	43.87	164
B_{CIE}	30.57	1.15	−46.84	46.86	271

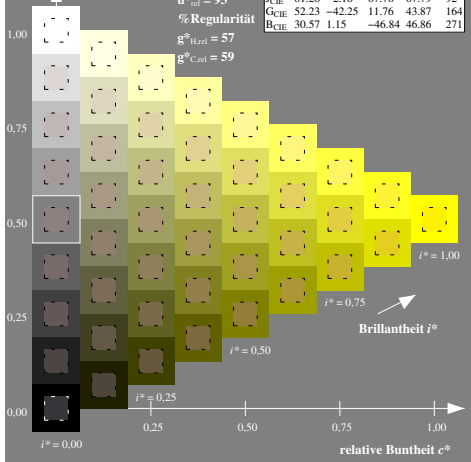

Ausgabe: Farbmetrisches Offset-Reflektiv-System ORS18

für Buntton $h^* = lab^*h = 96/360 = 0.268$

lab*tch* und *lab*nch

D65: Buntton Y

LCH*Ma: 90 92 96

olv*Ma: 1.0 1.0 0.0

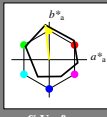

Dreiecks-Helligkeit *t

%Umfang

u^*_{rel} = 93

%Regularität

$g^*_{H,rel}$ = 57

$g^*_{C,rel}$ = 59

ORS18; adaptierte CIELAB-Daten

	$L^*=L^*_a$	a^*_a	b^*_a	$C^*_{ab,a}$	$h^*_{ab,a}$
R	48.0	68.58	31.54	75.48	25
R25J	50.11	61.52	52.63	80.96	41
R50J	62.87	38.77	65.02	75.71	59
R75J	74.87	17.37	76.69	78.63	77
J	86.19	−2.8	87.69	87.73	92
J25G	84.01	−18.73	82.6	84.7	103
J50G	71.17	−35.83	64.13	73.46	119
J75G	56.99	−54.71	43.72	70.05	141
G	52.8	−54.82	15.26	56.92	164
G25B	54.69	−46.87	−4.31	47.08	185
G50B	57.25	−36.1	−30.82	47.48	220
G75B	49.61	−13.51	−44.85	46.85	253
B	41.78	1.1	−44.7	44.72	271
B25R	29.34	24.33	−44.47	50.7	299
B50R	40.78	60.78	−20.18	64.05	342
B75R	48.06	71.56	13.77	72.87	11

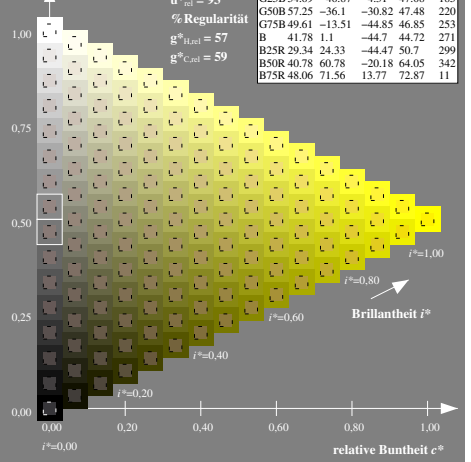

ZG620−7N, 9stufige Reihen für konstanten CIELAB Buntton 96/360 = 0.268 (links) Seite 2/60 ZG620−7N, 16stufige Reihen für konstanten CIELAB Buntton 96/360 = 0.268 (rechts)

Siehe ähnliche Dateien: http://www.ps.bam.de/ZG62/; www.ps.bam.de/ZG.HTM
Technische Information: http://www.ps.bam.de Version 2.1, io=1.1

BAM-Registrierung: 20071001-ZG62/L62G00N1.PS/.TXT
Anwendung für Beurteilung und Messung von Drucker- oder Monitorsystemen
BAM-Material: Code=hätata

Eingabe: Farbmetrisches Offset-Reflektiv-System ORS18

für Buntton $h^* = lab^*h = 151/360 = 0.419$
lab*tch* und *lab*nch
D65: Buntton L
LCH*Ma: 51 72 151
olv*Ma: 0.0 1.0 0.0

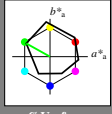

Dreiecks-Helligkeit *t

%Umfang
u^*_{rel} = 93
%Regularität
$g^*_{H,rel}$ = 57
$g^*_{C,rel}$ = 59

ORS18; adaptierte CIELAB-Daten

	$L^*=L^*_a$	a^*_a	b^*_a	$C^*_{ab,a}$	$h^*_{ab,a}$
O_{Ma}	47.94	65.39	50.52	82.63	38
Y_{Ma}	90.37	−10.26	91.75	92.32	96
L_{Ma}	50.9	−62.83	34.96	71.91	151
C_{Ma}	58.62	−30.34	−45.01	54.3	236
V_{Ma}	25.72	31.1	−44.4	54.22	305
M_{Ma}	48.13	75.28	−8.36	75.74	354
N_{Ma}	18.01	0.0	0.0	0.0	0
W_{Ma}	95.41	0.0	0.0	0.0	0
R_{CIE}	39.92	58.66	26.98	64.57	25
J_{CIE}	81.26	−2.16	67.76	67.79	92
G_{CIE}	52.23	−42.25	11.76	43.87	164
B_{CIE}	30.57	1.15	−46.84	46.86	271

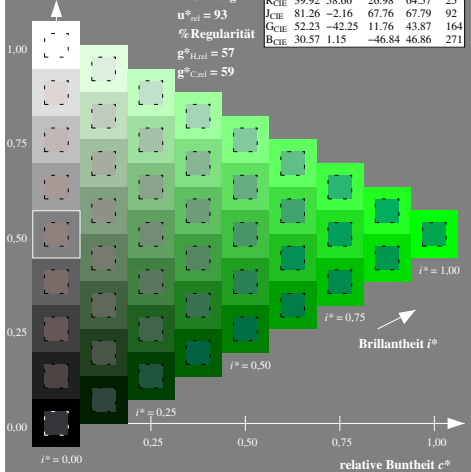

Ausgabe: Farbmetrisches Offset-Reflektiv-System ORS18

für Buntton $h^* = lab^*h = 151/360 = 0.419$
lab*tch* und *lab*nch
D65: Buntton L
LCH*Ma: 51 72 151
olv*Ma: 0.0 1.0 0.0

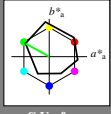

Dreiecks-Helligkeit *t

%Umfang
u^*_{rel} = 93
%Regularität
$g^*_{H,rel}$ = 57
$g^*_{C,rel}$ = 59

ORS18; adaptierte CIELAB-Daten

	$L^*=L^*_a$	a^*_a	b^*_a	$C^*_{ab,a}$	$h^*_{ab,a}$
R	48.0	68.58	31.54	75.48	25
R25J	50.11	61.52	52.63	80.96	41
R50J	62.87	38.77	65.02	75.71	59
R75J	74.87	17.37	76.69	78.63	77
J	86.19	−2.8	87.69	87.73	92
J25G	84.01	−18.73	82.6	84.7	103
J50G	71.17	−35.83	64.13	73.46	119
J75G	56.99	−54.71	43.72	70.05	141
G	52.8	−54.82	15.26	56.92	164
G25B	54.69	−46.87	−4.31	47.08	185
G50B	57.25	−36.1	−30.82	47.48	220
G75B	49.61	−13.51	−44.85	46.85	253
B	41.78	1.1	−44.7	44.72	271
B25R	29.34	24.33	−44.47	50.7	299
B50R	40.78	60.78	−20.18	64.05	342
B75R	48.06	71.56	13.77	72.87	11

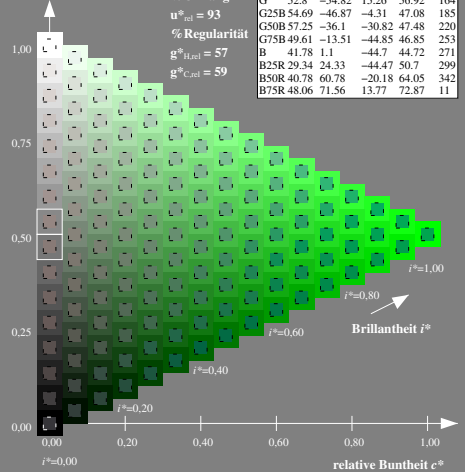

Siehe ähnliche Dateien: http://www.ps.bam.de/ZG62/; www.ps.bam.de/ZG.HTM
Technische Information: http://www.ps.bam.de Version 2.1, io=1.1

BAM-Registrierung: 20071001-ZG62/L62G00N1.PS/.TXT
Anwendung für Beurteilung und Messung von Drucker- oder Monitorsystemen
BAM-Material: Code=hätta

Eingabe: Farbmetrisches Offset-Reflektiv-System ORS18

für Buntton $h^* = lab^*h = 236/360 = 0.656$
lab*tch* und *lab*nch
D65: Buntton C
LCH*Ma: 59 54 236
olv*Ma: 0.0 1.0 1.0

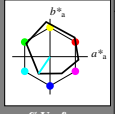

ORS18; adaptierte CIELAB-Daten

	$L^*=L^*_a$	a^*_a	b^*_a	$C^*_{ab,a}$	$h^*_{ab,a}$
O_{Ma}	47.94	65.39	50.52	82.63	38
Y_{Ma}	90.37	−10.26	91.75	92.32	96
L_{Ma}	50.9	−62.83	34.96	71.91	151
C_{Ma}	58.62	−30.34	−45.01	54.3	236
V_{Ma}	25.72	31.1	−44.4	54.22	305
M_{Ma}	48.13	75.28	−8.36	75.74	354
N_{Ma}	18.01	0.0	0.0	0.0	0
W_{Ma}	95.41	0.0	0.0	0.0	0
R_{CIE}	39.92	58.66	26.98	64.57	25
J_{CIE}	81.26	−2.16	67.76	67.79	92
G_{CIE}	52.23	−42.25	11.76	43.87	164
B_{CIE}	30.57	1.15	−46.84	46.86	271

Dreiecks-Helligkeit *t**

%Umfang
u^*_{rel} = 93
%Regularität
$g^*_{H,rel}$ = 57
$g^*_{C,rel}$ = 59

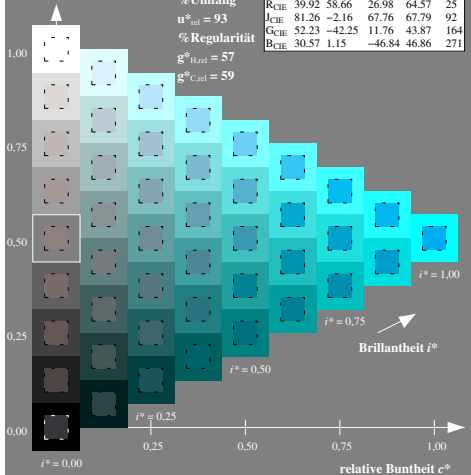

Ausgabe: Farbmetrisches Offset-Reflektiv-System ORS18

für Buntton $h^* = lab^*h = 236/360 = 0.656$
lab*tch* und *lab*nch
D65: Buntton C
LCH*Ma: 59 54 236
olv*Ma: 0.0 1.0 1.0

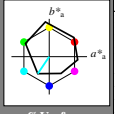

ORS18; adaptierte CIELAB-Daten

	$L^*=L^*_a$	a^*_a	b^*_a	$C^*_{ab,a}$	$h^*_{ab,a}$
R	48.0	68.58	31.54	75.48	25
R25J	50.11	61.52	52.63	80.96	41
R50J	62.87	38.77	65.02	75.71	59
R75J	74.87	17.37	76.69	78.63	77
J	86.19	−2.8	87.69	87.73	92
J25G	84.01	−18.73	82.6	84.7	103
J50G	71.17	−35.83	64.13	73.46	119
J75G	56.99	−54.71	43.72	70.05	141
G	52.8	−54.82	15.26	56.92	164
G25B	54.69	−46.87	−4.31	47.08	185
G50B	57.25	−36.1	−30.82	47.48	220
G75B	49.61	−13.51	−44.85	46.85	253
B	41.78	1.1	−44.7	44.72	271
B25R	29.34	24.33	−44.47	50.7	299
B50R	40.78	60.78	−20.18	64.05	342
B75R	48.06	71.56	13.77	72.87	11

Dreiecks-Helligkeit *t**

%Umfang
u^*_{rel} = 93
%Regularität
$g^*_{H,rel}$ = 57
$g^*_{C,rel}$ = 59

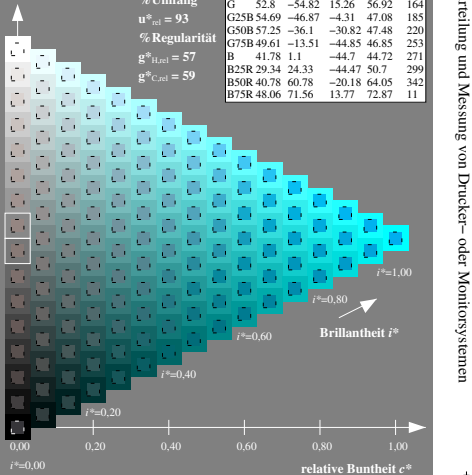

ZG620−7N, 9stufige Reihen für konstanten CIELAB Buntton 236/360 = 0.656 (links) Seite 4/60 ZG620−7N, 16stufige Reihen für konstanten CIELAB Buntton 236/360 = 0.656 (rechts)

Siehe ähnliche Dateien: http://www.ps.bam.de/ZG62/; www.ps.bam.de/ZG.HTM
Technische Information: http://www.ps.bam.de Version 2.1, io=1.1

BAM-Registrierung: 20071001-ZG62/L62G00N1.PS/.TXT
Anwendung für Beurteilung und Messung von Drucker- oder Monitorsystemen
BAM-Material: Code=bäatta

Eingabe: Farbmetrisches Offset-Reflektiv-System ORS18

für Buntton $h^* = lab^*h = 305/360 = 0.847$
lab*tch* und *lab*nch
D65: Buntton V
LCH*Ma: 26 54 305
olv*Ma: 0.0 0.0 1.0

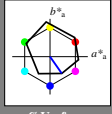

ORS18; adaptierte CIELAB-Daten

	$L^*=L^*_a$	a^*_a	b^*_a	$C^*_{ab,a}$	$h^*_{ab,a}$
O_{Ma}	47.94	65.39	50.52	82.63	38
Y_{Ma}	90.37	−10.26	91.75	92.32	96
L_{Ma}	50.9	−62.83	34.96	71.91	151
C_{Ma}	58.62	−30.34	−45.01	54.3	236
V_{Ma}	25.72	31.1	−44.4	54.22	305
M_{Ma}	48.13	75.28	−8.36	75.74	354
N_{Ma}	18.01	0.0	0.0	0.0	0
W_{Ma}	95.41	0.0	0.0	0.0	0
R_{CIE}	39.92	58.66	26.98	64.57	25
J_{CIE}	81.26	−2.16	67.76	67.79	92
G_{CIE}	52.23	−42.25	11.76	43.87	164
B_{CIE}	30.57	1.15	−46.84	46.86	271

Dreiecks-Helligkeit *t**

%Umfang
u^*_{rel} = 93
%Regularität
$g^*_{H,rel}$ = 57
$g^*_{C,rel}$ = 59

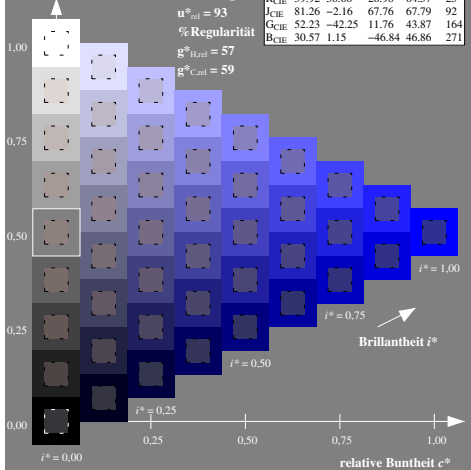

Ausgabe: Farbmetrisches Offset-Reflektiv-System ORS18

für Buntton $h^* = lab^*h = 305/360 = 0.847$
lab*tch* und *lab*nch
D65: Buntton V
LCH*Ma: 26 54 305
olv*Ma: 0.0 0.0 1.0

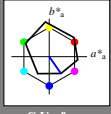

ORS18; adaptierte CIELAB-Daten

	$L^*=L^*_a$	a^*_a	b^*_a	$C^*_{ab,a}$	$h^*_{ab,a}$
R	48.0	68.58	31.54	75.48	25
R25J	50.11	61.52	52.63	80.96	41
R50J	62.87	38.77	65.02	75.71	59
R75J	74.87	17.37	76.69	78.63	77
J	86.19	−2.8	87.69	87.73	92
J25G	84.01	−18.73	82.6	84.7	103
J50G	71.17	−35.83	64.13	73.46	119
J75G	56.99	−54.71	43.72	70.05	141
G	52.8	−54.82	15.26	56.92	164
G25B	54.69	−46.87	−4.31	47.08	185
G50B	57.25	−36.1	−30.82	47.48	220
G75B	49.61	−13.51	−44.85	46.85	253
B	41.78	1.1	−44.7	44.72	271
B25R	29.34	24.33	−44.47	50.7	299
B50R	40.78	60.78	−20.18	64.05	342
B75R	48.06	71.56	13.77	72.87	11

Dreiecks-Helligkeit *t**

%Umfang
u^*_{rel} = 93
%Regularität
$g^*_{H,rel}$ = 57
$g^*_{C,rel}$ = 59

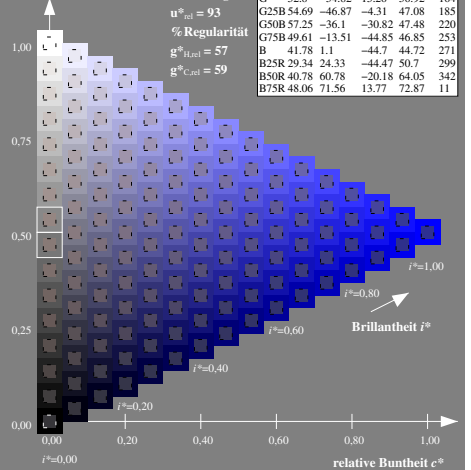

ZG620−7N, 9stufige Reihen für konstanten CIELAB Buntton 305/360 = 0.847 (links) Seite 5/60 ZG620−7N, 16stufige Reihen für konstanten CIELAB Buntton 305/360 = 0.847 (rechts)

Siehe ähnliche Dateien: http://www.ps.bam.de/ZG62/; www.ps.bam.de/ZG.HTM
Technische Information: http://www.ps.bam.de Version 2.1, io=1.1

BAM-Registrierung: 20071001-ZG62/L62G00N1.PS/.TXT
Anwendung für Beurteilung und Messung von Drucker- oder Monitorsystemen
BAM-Material: Code=hiäta

Eingabe: Farbmetrisches Offset-Reflektiv-System ORS18

für Buntton $h^* = lab^*h = 354/360 = 0.982$

lab*tch* und *lab*nch

D65: Buntton M

LCH*Ma: 48 76 354

olv*Ma: 1.0 0.0 1.0

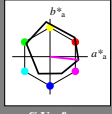

ORS18; adaptierte CIELAB-Daten

	$L^*=L^*_a$	a^*_a	b^*_a	$C^*_{ab,a}$	$h^*_{ab,a}$
O_{Ma}	47.94	65.39	50.52	82.63	38
Y_{Ma}	90.37	−10.26	91.75	92.32	96
L_{Ma}	50.9	−62.83	34.96	71.91	151
C_{Ma}	58.62	−30.34	−45.01	54.3	236
V_{Ma}	25.72	31.1	−44.4	54.22	305
M_{Ma}	48.13	75.28	−8.36	75.74	354
N_{Ma}	18.01	0.0	0.0	0.0	0
W_{Ma}	95.41	0.0	0.0	0.0	0
R_{CIE}	39.92	58.66	26.98	64.57	25
J_{CIE}	81.26	−2.16	67.76	67.79	92
G_{CIE}	52.23	−42.25	11.76	43.87	164
B_{CIE}	30.57	1.15	−46.84	46.86	271

Dreiecks-Helligkeit *t**

%Umfang

u^*_{rel} = 93

%Regularität

$g^*_{H,rel}$ = 57

$g^*_{C,rel}$ = 59

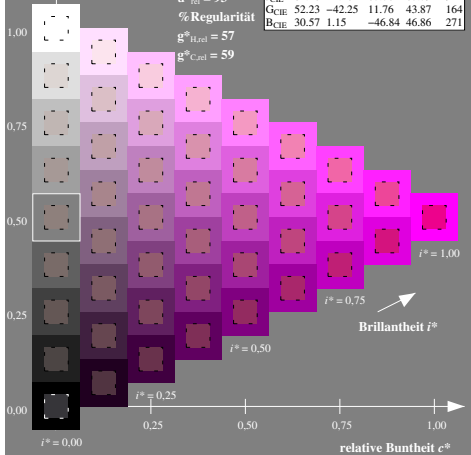

Ausgabe: Farbmetrisches Offset-Reflektiv-System ORS18

für Buntton $h^* = lab^*h = 354/360 = 0.982$

lab*tch* und *lab*nch

D65: Buntton M

LCH*Ma: 48 76 354

olv*Ma: 1.0 0.0 1.0

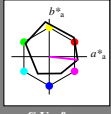

ORS18; adaptierte CIELAB-Daten

	$L^*=L^*_a$	a^*_a	b^*_a	$C^*_{ab,a}$	$h^*_{ab,a}$
R	48.0	68.58	31.54	75.48	25
R25J	50.11	61.52	52.63	80.96	41
R50J	62.87	38.77	65.02	75.71	59
R75J	74.87	17.37	76.69	78.63	77
J	86.19	−2.8	87.69	87.73	92
J25G	84.01	−18.73	82.6	84.7	103
J50G	71.17	−35.83	64.13	73.46	119
J75G	56.99	−54.71	43.72	70.05	141
G	52.8	−54.82	15.26	56.92	164
G25B	54.69	−46.87	−4.31	47.08	185
G50B	57.25	−36.1	−30.82	47.48	220
G75B	49.61	−13.51	−44.85	46.85	253
B	41.78	1.1	−44.7	44.72	271
B25R	29.34	24.33	−44.47	50.7	299
B50R	40.78	60.78	−20.18	64.05	342
B75R	48.06	71.56	13.77	72.87	11

Dreiecks-Helligkeit *t**

%Umfang

u^*_{rel} = 93

%Regularität

$g^*_{H,rel}$ = 57

$g^*_{C,rel}$ = 59

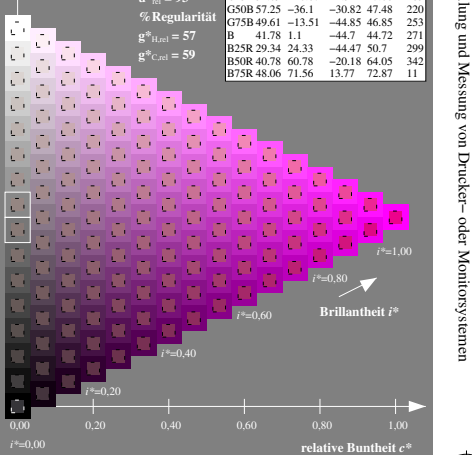

ZG620−7N, 9stufige Reihen für konstanten CIELAB Buntton 354/360 = 0.982 (links) Seite 6/60 ZG620−7N, 16stufige Reihen für konstanten CIELAB Buntton 354/360 = 0.982 (rechts)

Siehe ähnliche Dateien: http://www.ps.bam.de/ZG62/; www.ps.bam.de/ZG.HTM
Technische Information: http://www.ps.bam.de Version 2.1, io=1.1

BAM-Registrierung: 20071001-ZG62/L62G00N1.PS/.TXT
Anwendung für Beurteilung und Messung von Drucker- oder Monitorsystemen
BAM-Material: Code=hätta

Eingabe: Farbmetrisches Offset-Reflektiv-System ORS18

für Buntton $h^* = lab^*h = 25/360 = 0.069$
lab*tch* und *lab*nch
D65: Buntton R
LCH*Ma: 48 75 25
olv*Ma: 1.0 0.0 0.32

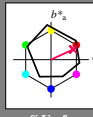

Dreiecks-Helligkeit *t

%Umfang
u^*_{rel} = 93
%Regularität
$g^*_{H,rel}$ = 57
$g^*_{C,rel}$ = 59

ORS18; adaptierte CIELAB-Daten

	$L^*=L^*_a$	a^*_a	b^*_a	$C^*_{ab,a}$	$h^*_{ab,a}$
O_{Ma}	47.94	65.39	50.52	82.63	38
Y_{Ma}	90.37	−10.26	91.75	92.32	96
L_{Ma}	50.9	−62.83	34.96	71.91	151
C_{Ma}	58.62	−30.34	−45.01	54.3	236
V_{Ma}	25.72	31.1	−44.4	54.22	305
M_{Ma}	48.13	75.28	−8.36	75.74	354
N_{Ma}	18.01	0.0	0.0	0.0	0
W_{Ma}	95.41	0.0	0.0	0.0	0
R_{CIE}	39.92	58.66	26.98	64.57	25
J_{CIE}	81.26	−2.16	67.76	67.79	92
G_{CIE}	52.23	−42.25	11.76	43.87	164
B_{CIE}	30.57	1.15	−46.84	46.86	271

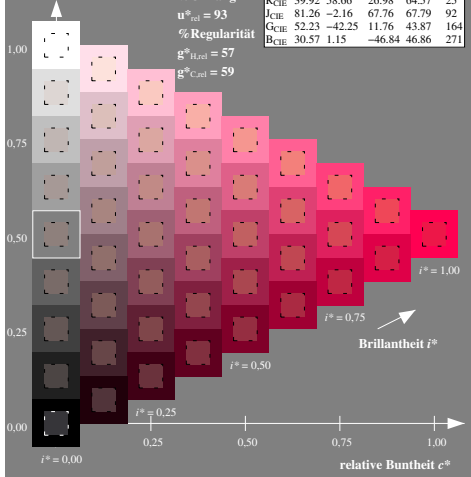

Ausgabe: Farbmetrisches Offset-Reflektiv-System ORS18

für Buntton $h^* = lab^*h = 25/360 = 0.069$
lab*tch* und *lab*nch
D65: Buntton R
LCH*Ma: 48 75 25
olv*Ma: 1.0 0.0 0.32

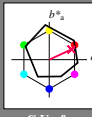

Dreiecks-Helligkeit *t

%Umfang
u^*_{rel} = 93
%Regularität
$g^*_{H,rel}$ = 57
$g^*_{C,rel}$ = 59

ORS18; adaptierte CIELAB-Daten

	$L^*=L^*_a$	a^*_a	b^*_a	$C^*_{ab,a}$	$h^*_{ab,a}$
R	48.0	68.58	31.54	75.48	25
R25J	50.11	61.52	52.63	80.96	41
R50J	62.87	38.77	65.02	75.71	59
R75J	74.87	17.37	76.69	78.63	77
J	86.19	−2.8	87.69	87.73	92
J25G	84.01	−18.73	82.6	84.7	103
J50G	71.17	−35.83	64.13	73.46	119
J75G	56.99	−54.71	43.72	70.05	141
G	52.8	−54.82	15.26	56.92	164
G25B	54.69	−46.87	−4.31	47.08	185
G50B	57.25	−36.1	−30.82	47.48	220
G75B	49.61	−13.51	−44.85	46.85	253
B	41.78	1.1	−44.7	44.72	271
B25R	29.34	24.33	−44.47	50.7	299
B50R	40.78	60.78	−20.18	64.05	342
B75R	48.06	71.56	13.77	72.87	11

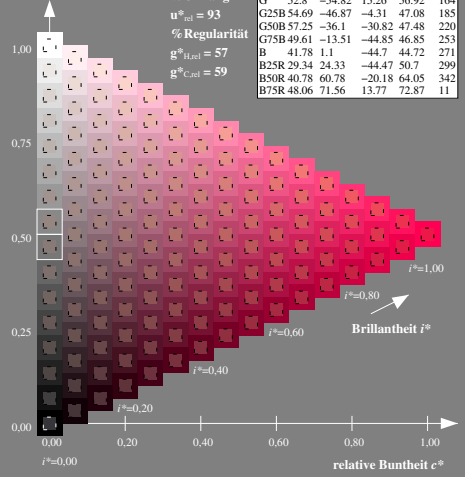

ZG620−7N, 9stufige Reihen für konstanten CIELAB Buntton 25/360 = 0.069 (links) Seite 7/60 ZG620−7N, 16stufige Reihen für konstanten CIELAB Buntton 25/360 = 0.069 (rechts)

Siehe ähnliche Dateien: http://www.ps.bam.de/ZG62/; www.ps.bam.de/ZG.HTM
Technische Information: http://www.ps.bam.de Version 2.1, io=1.1

BAM-Registrierung: 20071001-ZG62/L62G00N1.PS/.TXT
Anwendung für Beurteilung und Messung von Drucker- oder Monitorsystemen
BAM-Material: Code=hiäta

Eingabe: Farbmetrisches Offset-Reflektiv-System ORS18

für Buntton $h^* = lab^*h = 92/360 = 0.255$

lab*tch* und *lab*nch

D65: Buntton J

LCH*Ma: 86 88 92

olv*Ma: 1.0 0.9 0.0

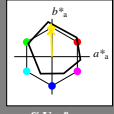

ORS18; adaptierte CIELAB-Daten

	$L^*=L^*_a$	a^*_a	b^*_a	$C^*_{ab,a}$	$h^*_{ab,a}$
O_{Ma}	47.94	65.39	50.52	82.63	38
Y_{Ma}	90.37	−10.26	91.75	92.32	96
L_{Ma}	50.9	−62.83	34.96	71.91	151
C_{Ma}	58.62	−30.34	−45.01	54.3	236
V_{Ma}	25.72	31.1	−44.4	54.22	305
M_{Ma}	48.13	75.28	−8.36	75.74	354
N_{Ma}	18.01	0.0	0.0	0.0	0
W_{Ma}	95.41	0.0	0.0	0.0	0
R_{CIE}	39.92	58.66	26.98	64.57	25
J_{CIE}	81.26	−2.16	67.76	67.79	92
G_{CIE}	52.23	−42.25	11.76	43.87	164
B_{CIE}	30.57	1.15	−46.84	46.86	271

Dreiecks-Helligkeit *t**

%Umfang

u^*_{rel} = 93

%Regularität

$g^*_{H,rel}$ = 57

$g^*_{C,rel}$ = 59

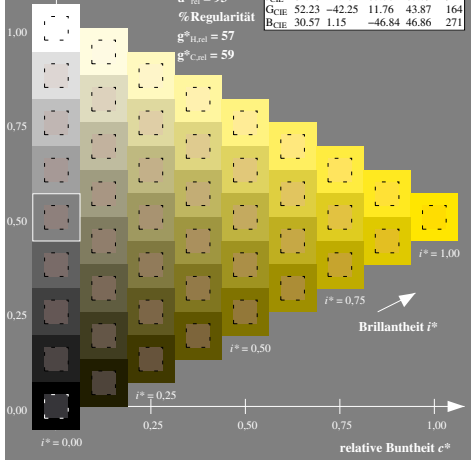

Ausgabe: Farbmetrisches Offset-Reflektiv-System ORS18

für Buntton $h^* = lab^*h = 92/360 = 0.255$

lab*tch* und *lab*nch

D65: Buntton J

LCH*Ma: 86 88 92

olv*Ma: 1.0 0.9 0.0

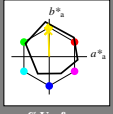

ORS18; adaptierte CIELAB-Daten

	$L^*=L^*_a$	a^*_a	b^*_a	$C^*_{ab,a}$	$h^*_{ab,a}$
R	48.0	68.58	31.54	75.48	25
R25J	50.11	61.52	52.63	80.96	41
R50J	62.87	38.77	65.02	75.71	59
R75J	74.87	17.37	76.69	78.63	77
J	86.19	−2.8	87.69	87.73	92
J25G	84.01	−18.73	82.6	84.7	103
J50G	71.17	−35.83	64.13	73.46	119
J75G	56.99	−54.71	43.72	70.05	141
G	52.8	−54.82	15.26	56.92	164
G25B	54.69	−46.87	−4.31	47.08	185
G50B	57.25	−36.1	−30.82	47.48	220
G75B	49.61	−13.51	−44.85	46.85	253
B	41.78	1.1	−44.7	44.72	271
B25R	29.34	24.33	−44.47	50.7	299
B50R	40.78	60.78	−20.18	64.05	342
B75R	48.06	71.56	13.77	72.87	11

Dreiecks-Helligkeit *t**

%Umfang

u^*_{rel} = 93

%Regularität

$g^*_{H,rel}$ = 57

$g^*_{C,rel}$ = 59

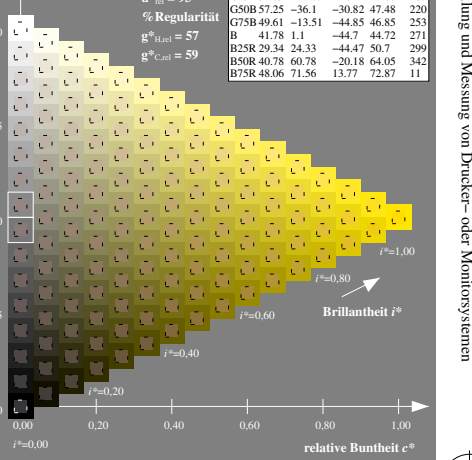

ZG620−7N, 9stufige Reihen für konstanten CIELAB Buntton 92/360 = 0.255 (links) Seite 8/60 ZG620−7N, 16stufige Reihen für konstanten CIELAB Buntton 92/360 = 0.255 (rechts)

Siehe ähnliche Dateien: http://www.ps.bam.de/ZG62/; www.ps.bam.de/ZG.HTM
Technische Information: http://www.ps.bam.de Version 2.1, io=1.1

BAM-Registrierung: 20071001-ZG62/L62G00N1.PS/.TXT
Anwendung für Beurteilung und Messung von Drucker- oder Monitorsystemen
BAM-Material: Code=hätta

Eingabe: Farbmetrisches Offset-Reflektiv-System ORS18

für Buntton $h^* = lab^*h = 164/360 = 0.457$
lab*tch* und *lab*nch
D65: Buntton G
LCH*Ma: 53 57 164
olv*Ma: 0.0 1.0 0.25

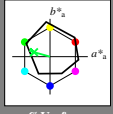

ORS18; adaptierte CIELAB-Daten

	$L^*=L^*_a$	a^*_a	b^*_a	$C^*_{ab,a}$	$h^*_{ab,a}$
O_{Ma}	47.94	65.39	50.52	82.63	38
Y_{Ma}	90.37	−10.26	91.75	92.32	96
L_{Ma}	50.9	−62.83	34.96	71.91	151
C_{Ma}	58.62	−30.34	−45.01	54.3	236
V_{Ma}	25.72	31.1	−44.4	54.22	305
M_{Ma}	48.13	75.28	−8.36	75.74	354
N_{Ma}	18.01	0.0	0.0	0.0	0
W_{Ma}	95.41	0.0	0.0	0.0	0
R_{CIE}	39.92	58.66	26.98	64.57	25
J_{CIE}	81.26	−2.16	67.76	67.79	92
G_{CIE}	52.23	−42.25	11.76	43.87	164
B_{CIE}	30.57	1.15	−46.84	46.86	271

Dreiecks-Helligkeit *t**

%Umfang
u^*_{rel} = 93
%Regularität
$g^*_{H,rel}$ = 57
$g^*_{C,rel}$ = 59

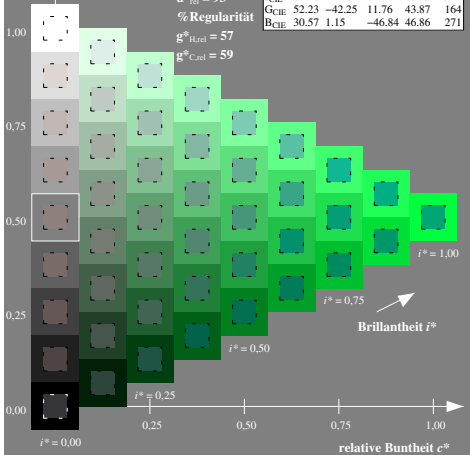

Ausgabe: Farbmetrisches Offset-Reflektiv-System ORS18

für Buntton $h^* = lab^*h = 164/360 = 0.457$
lab*tch* und *lab*nch
D65: Buntton G
LCH*Ma: 53 57 164
olv*Ma: 0.0 1.0 0.25

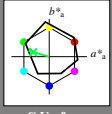

ORS18; adaptierte CIELAB-Daten

	$L^*=L^*_a$	a^*_a	b^*_a	$C^*_{ab,a}$	$h^*_{ab,a}$
R	48.0	68.58	31.54	75.48	25
R25J	50.11	61.52	52.63	80.96	41
R50J	62.87	38.77	65.02	75.71	59
R75J	74.87	17.37	76.69	78.63	77
J	86.19	−2.8	87.69	87.73	92
J25G	84.01	−18.73	82.6	84.7	103
J50G	71.17	−35.83	64.13	73.46	119
J75G	56.99	−54.71	43.72	70.05	141
G	52.8	−54.82	15.26	56.92	164
G25B	54.69	−46.87	−4.31	47.08	185
G50B	57.25	−36.1	−30.82	47.48	220
G75B	49.61	−13.51	−44.85	46.85	253
B	41.78	1.1	−44.7	44.72	271
B25R	29.34	24.33	−44.47	50.7	299
B50R	40.78	60.78	−20.18	64.05	342
B75R	48.06	71.56	13.77	72.87	11

Dreiecks-Helligkeit *t**

%Umfang
u^*_{rel} = 93
%Regularität
$g^*_{H,rel}$ = 57
$g^*_{C,rel}$ = 59

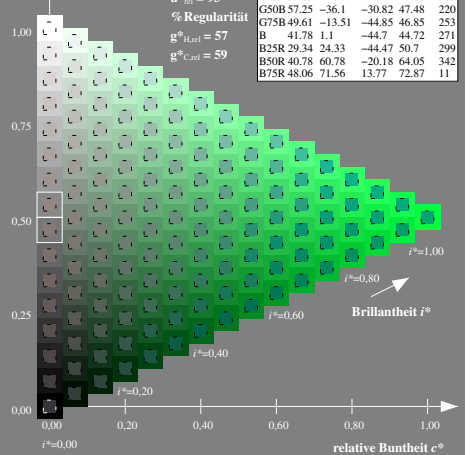

ZG620−7N, 9stufige Reihen für konstanten CIELAB Buntton 164/360 = 0.457 (links) Seite 9/60 ZG620−7N, 16stufige Reihen für konstanten CIELAB Buntton 164/360 = 0.457 (rechts)

Siehe ähnliche Dateien: http://www.ps.bam.de/ZG62/; www.ps.bam.de/ZG.HTM
Technische Information: http://www.ps.bam.de Version 2.1, io=1.1

BAM-Registrierung: 20071001-ZG62/L62G00N1.PS/.TXT
Anwendung für Beurteilung und Messung von Drucker- oder Monitorsystemen
BAM-Material: Code=hätta

Eingabe: Farbmetrisches Offset-Reflektiv-System ORS18

für Buntton $h^* = lab^*h = 271/360 = 0.754$

lab*tch* und *lab*nch

D65: Buntton B

LCH*Ma: 42 45 271

olv*Ma: 0.0 0.49 1.0

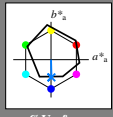

ORS18; adaptierte CIELAB-Daten

	$L^*=L^*_a$	a^*_a	b^*_a	$C^*_{ab,a}$	$h^*_{ab,a}$
O_{Ma}	47.94	65.39	50.52	82.63	38
Y_{Ma}	90.37	−10.26	91.75	92.32	96
L_{Ma}	50.9	−62.83	34.96	71.91	151
C_{Ma}	58.62	−30.34	−45.01	54.3	236
V_{Ma}	25.72	31.1	−44.4	54.22	305
M_{Ma}	48.13	75.28	−8.36	75.74	354
N_{Ma}	18.01	0.0	0.0	0.0	0
W_{Ma}	95.41	0.0	0.0	0.0	0
R_{CIE}	39.92	58.66	26.98	64.57	25
J_{CIE}	81.26	−2.16	67.76	67.79	92
G_{CIE}	52.23	−42.25	11.76	43.87	164
B_{CIE}	30.57	1.15	−46.84	46.86	271

Dreiecks-Helligkeit *t**

%Umfang

u^*_{rel} = 93

%Regularität

$g^*_{H,rel}$ = 57

$g^*_{C,rel}$ = 59

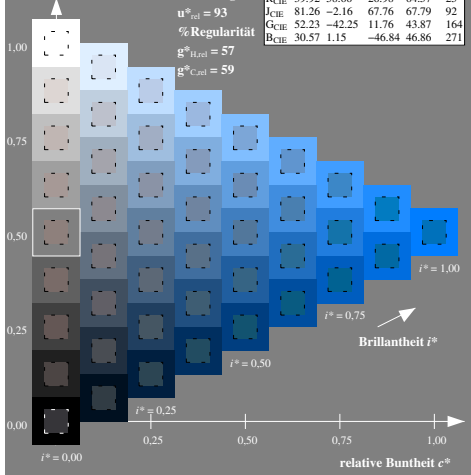

Ausgabe: Farbmetrisches Offset-Reflektiv-System ORS18

für Buntton $h^* = lab^*h = 271/360 = 0.754$

lab*tch* und *lab*nch

D65: Buntton B

LCH*Ma: 42 45 271

olv*Ma: 0.0 0.49 1.0

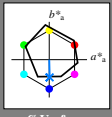

ORS18; adaptierte CIELAB-Daten

	$L^*=L^*_a$	a^*_a	b^*_a	$C^*_{ab,a}$	$h^*_{ab,a}$
R	48.0	68.58	31.54	75.48	25
R25J	50.11	61.52	52.63	80.96	41
R50J	62.87	38.77	65.02	75.71	59
R75J	74.87	17.37	76.69	78.63	77
J	86.19	−2.8	87.69	87.73	92
J25G	84.01	−18.73	82.6	84.7	103
J50G	71.17	−35.83	64.13	73.46	119
J75G	56.99	−54.71	43.72	70.05	141
G	52.8	−54.82	15.26	56.92	164
G25B	54.69	−46.87	−4.31	47.08	185
G50B	57.25	−36.1	−30.82	47.48	220
G75B	49.61	−13.51	−44.85	46.85	253
B	41.78	1.1	−44.7	44.72	271
B25R	29.34	24.33	−44.47	50.7	299
B50R	40.78	60.78	−20.18	64.05	342
B75R	48.06	71.56	13.77	72.87	11

Dreiecks-Helligkeit *t**

%Umfang

u^*_{rel} = 93

%Regularität

$g^*_{H,rel}$ = 57

$g^*_{C,rel}$ = 59

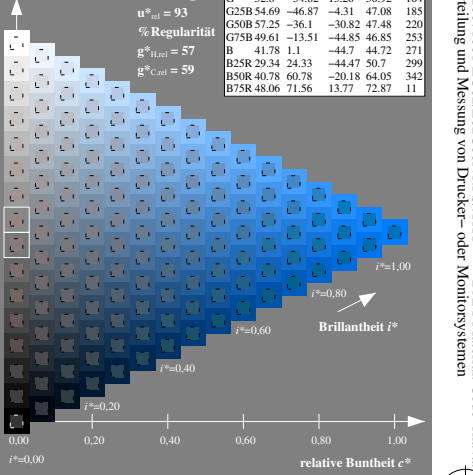

ZG620−7N, 9stufige Reihen für konstanten CIELAB Buntton 271/360 = 0.754 (links) Seite 10/60 ZG620−7N, 16stufige Reihen für konstanten CIELAB Buntton 271/360 = 0.754 (rechts)

Siehe ähnliche Dateien: http://www.ps.bam.de/ZG62/; www.ps.bam.de/ZG.HTM
Technische Information: http://www.ps.bam.de Version 2.1, io=1.1

BAM-Registrierung: 2007|001-ZG62/L62G00N1.PS/.TXT
Anwendung für Beurteilung und Messung von Drucker- oder Monitorsystemen
BAM-Material: Code=rhäata

Eingabe: Farbmetrisches Offset-Reflektiv-System ORS18

für Buntton *h* = lab*h = 38/360 = 0.105*

lab*tch* und *lab*nch

D65: Buntton O

LCH*Ma: 48 83 38

olv*Ma: 1.0 0.0 0.0

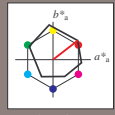

ORS18; adaptierte CIELAB-Daten

	$L^*=L^*_a$	a^*_a	b^*_a	$C^*_{ab,a}$	$h^*_{ab,a}$
O_{Ma}	47.94	65.39	50.52	82.63	38
Y_{Ma}	90.37	−10.26	91.75	92.32	96
L_{Ma}	50.9	−62.83	34.96	71.91	151
C_{Ma}	58.62	−30.34	−45.01	54.3	236
V_{Ma}	25.72	31.1	−44.4	54.22	305
M_{Ma}	48.13	75.28	−8.36	75.74	354
N_{Ma}	18.01	0.0	0.0	0.0	0
W_{Ma}	95.41	0.0	0.0	0.0	0
R_{CIE}	39.92	58.66	26.98	64.57	25
J_{CIE}	81.26	−2.16	67.76	67.79	92
G_{CIE}	52.23	−42.25	11.76	43.87	164
B_{CIE}	30.57	1.15	−46.84	46.86	271

Dreiecks-Helligkeit *t**

%Umfang

u^*_{rel} = 93

%Regularität

$g^*_{H,rel}$ = 57

$g^*_{C,rel}$ = 59

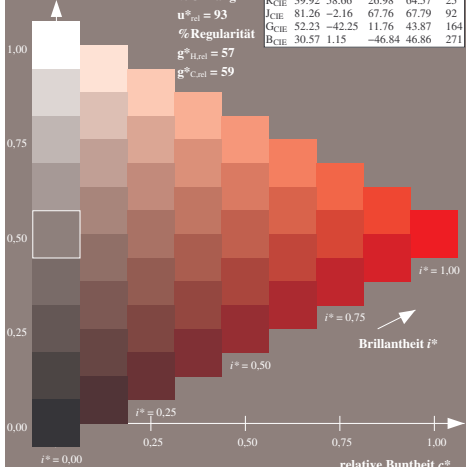

Ausgabe: Farbmetrisches Offset-Reflektiv-System ORS18

für Buntton *h* = lab*h = 38/360 = 0.105*

lab*tch* und *lab*nch

D65: Buntton O

LCH*Ma: 48 83 38

olv*Ma: 1.0 0.0 0.0

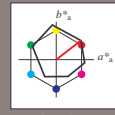

ORS18; adaptierte CIELAB-Daten

	$L^*=L^*_a$	a^*_a	b^*_a	$C^*_{ab,a}$	$h^*_{ab,a}$
R	48.0	68.58	31.54	75.48	25
R25J	50.11	61.52	52.63	80.96	41
R50J	62.87	38.77	65.02	75.71	59
R75J	74.87	17.37	76.69	78.63	77
J	86.19	−2.8	87.69	87.73	92
J25G	84.01	−18.73	82.6	84.7	103
J50G	71.17	−35.83	64.13	73.46	119
J75G	56.99	−54.71	43.72	70.05	141
G	52.8	−54.82	15.26	56.92	164
G25B	54.69	−46.87	−4.31	47.08	185
G50B	57.25	−36.1	−30.82	47.48	220
G75B	49.61	−13.51	−44.85	46.85	253
B	41.78	1.1	−44.7	44.72	271
B25R	29.34	24.33	−44.47	50.7	299
B50R	40.78	60.78	−20.18	64.05	342
B75R	48.06	71.56	13.77	72.87	11

Dreiecks-Helligkeit *t**

%Umfang

u^*_{rel} = 93

%Regularität

$g^*_{H,rel}$ = 57

$g^*_{C,rel}$ = 59

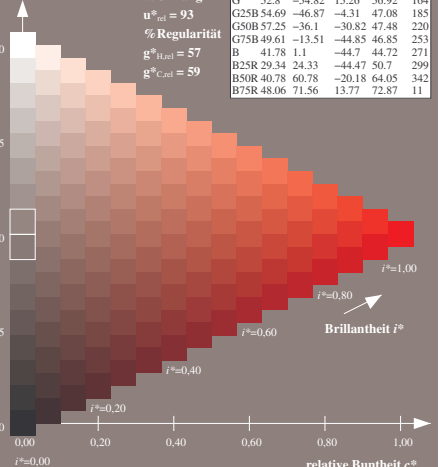

ZG620−7N, 9stufige Reihen für konstanten CIELAB Buntton 38/360 = 0.105 (links) Seite 11/60 ZG620−7N, 16stufige Reihen für konstanten CIELAB Buntton 38/360 = 0.105 (rechts)

Siehe ähnliche Dateien: http://www.ps.bam.de/ZG62/; www.ps.bam.de/ZG.HTM
Technische Information: http://www.ps.bam.de Version 2.1, io=1.1

BAM-Registrierung: 20071001-ZG62/L62G00N1.PS/.TXT
Anwendung für Beurteilung und Messung von Drucker- oder Monitorsystemen
BAM-Material: Code=ñäöüß

Eingabe: Farbmetrisches Offset-Reflektiv-System ORS18

für Buntton *h* = lab*h = 96/360 = 0.268*
lab*tch* und *lab*nch
D65: Buntton Y
LCH*Ma: 90 92 96
olv*Ma: 1.0 1.0 0.0

ORS18; adaptierte CIELAB-Daten

	$L^*=L^*_a$	a^*_a	b^*_a	$C^*_{ab,a}$	$h^*_{ab,a}$
O_{Ma}	47.94	65.39	50.52	82.63	38
Y_{Ma}	90.37	−10.26	91.75	92.32	96
L_{Ma}	50.9	−62.83	34.96	71.91	151
C_{Ma}	58.62	−30.34	−45.01	54.3	236
V_{Ma}	25.72	31.1	−44.4	54.22	305
M_{Ma}	48.13	75.28	−8.36	75.74	354
N_{Ma}	18.01	0.0	0.0	0.0	0
W_{Ma}	95.41	0.0	0.0	0.0	0
R_{CIE}	39.92	58.66	26.98	64.57	25
J_{CIE}	81.26	−2.16	67.76	67.79	92
G_{CIE}	52.23	−42.25	11.76	43.87	164
B_{CIE}	30.57	1.15	−46.84	46.86	271

Dreiecks-Helligkeit *t**

%Umfang
u^*_{rel} = 93
%Regularität
$g^*_{H,rel}$ = 57
$g^*_{C,rel}$ = 59

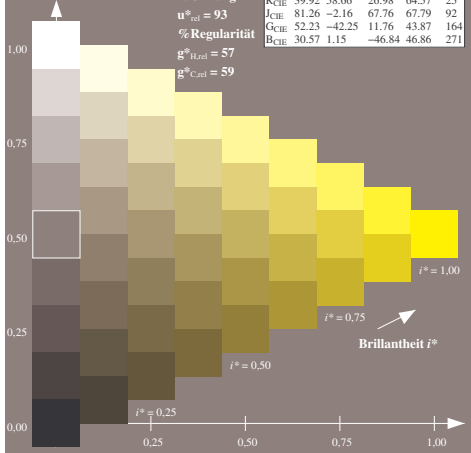

Ausgabe: Farbmetrisches Offset-Reflektiv-System ORS18

für Buntton *h* = lab*h = 96/360 = 0.268*
lab*tch* und *lab*nch
D65: Buntton Y
LCH*Ma: 90 92 96
olv*Ma: 1.0 1.0 0.0

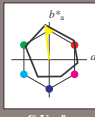

ORS18; adaptierte CIELAB-Daten

	$L^*=L^*_a$	a^*_a	b^*_a	$C^*_{ab,a}$	$h^*_{ab,a}$
R	48.0	68.58	31.54	75.48	25
R25J	50.11	61.52	52.63	80.96	41
R50J	62.87	38.77	65.02	75.71	59
R75J	74.87	17.37	76.69	78.63	77
J	86.19	−2.8	87.69	87.73	92
J25G	84.01	−18.73	82.6	84.7	103
J50G	71.17	−35.83	64.13	73.46	119
J75G	56.99	−54.71	43.72	70.05	141
G	52.8	−54.82	15.26	56.92	164
G25B	54.69	−46.87	−4.31	47.08	185
G50B	57.25	−36.1	−30.82	47.48	220
G75B	49.61	−13.51	−44.85	46.85	253
B	41.78	1.1	−44.7	44.72	271
B25R	29.34	24.33	−44.47	50.7	299
B50R	40.78	60.78	−20.18	64.05	342
B75R	48.06	71.56	13.77	72.87	11

Dreiecks-Helligkeit *t**

%Umfang
u^*_{rel} = 93
%Regularität
$g^*_{H,rel}$ = 57
$g^*_{C,rel}$ = 59

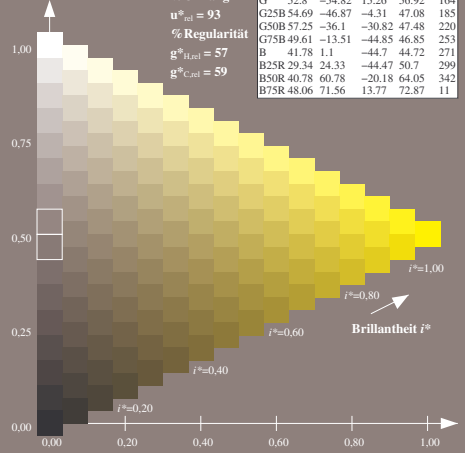

ZG620−7N, 9stufige Reihen für konstanten CIELAB Buntton 96/360 = 0.268 (links) Seite 12/60 ZG620−7N, 16stufige Reihen für konstanten CIELAB Buntton 96/360 = 0.268 (rechts)

Siehe ähnliche Dateien: http://www.ps.bam.de/ZG62/; www.ps.bam.de/ZG.HTM
Technische Information: http://www.ps.bam.de Version 2.1, io=1.1

BAM-Registrierung: 20071001-ZG62/L 62G00N1.PS/.TXT
Anwendung für Beurteilung und Messung von Drucker- oder Monitorsystemen
BAM-Material: Code=ñäöüß

Eingabe: Farbmetrisches Offset-Reflektiv-System ORS18

für Buntton $h^* = lab^*h = 151/360 = 0.419$
lab*tch* und *lab*nch
D65: Buntton L
LCH*Ma: 51 72 151
olv*Ma: 0.0 1.0 0.0

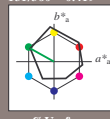

ORS18; adaptierte CIELAB-Daten

	$L^*=L^*_a$	a^*_a	b^*_a	$C^*_{ab,a}$	$h^*_{ab,a}$
O_{Ma}	47.94	65.39	50.52	82.63	38
Y_{Ma}	90.37	−10.26	91.75	92.32	96
L_{Ma}	50.9	−62.83	34.96	71.91	151
C_{Ma}	58.62	−30.34	−45.01	54.3	236
V_{Ma}	25.72	31.1	−44.4	54.22	305
M_{Ma}	48.13	75.28	−8.36	75.74	354
N_{Ma}	18.01	0.0	0.0	0.0	0
W_{Ma}	95.41	0.0	0.0	0.0	0
R_{CIE}	39.92	58.66	26.98	64.57	25
J_{CIE}	81.26	−2.16	67.76	67.79	92
G_{CIE}	52.23	−42.25	11.76	43.87	164
B_{CIE}	30.57	1.15	−46.84	46.86	271

Dreiecks-Helligkeit *t**

%Umfang
u^*_{rel} = 93
%Regularität
$g^*_{H,rel}$ = 57
$g^*_{C,rel}$ = 59

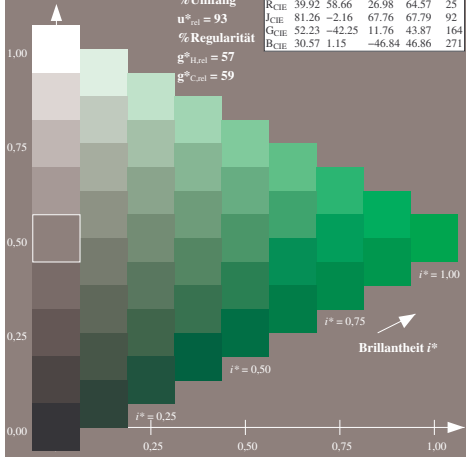

Ausgabe: Farbmetrisches Offset-Reflektiv-System ORS18

für Buntton $h^* = lab^*h = 151/360 = 0.419$
lab*tch* und *lab*nch
D65: Buntton L
LCH*Ma: 51 72 151
olv*Ma: 0.0 1.0 0.0

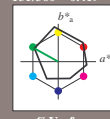

ORS18; adaptierte CIELAB-Daten

	$L^*=L^*_a$	a^*_a	b^*_a	$C^*_{ab,a}$	$h^*_{ab,a}$
R	48.0	68.58	31.54	75.48	25
R25J	50.11	61.52	52.63	80.96	41
R50J	62.87	38.77	65.02	75.71	59
R75J	74.87	17.37	76.69	78.63	77
J	86.19	−2.8	87.69	87.73	92
J25G	84.01	−18.73	82.6	84.7	103
J50G	71.17	−35.83	64.13	73.46	119
J75G	56.99	−54.71	43.72	70.05	141
G	52.8	−54.82	15.26	56.92	164
G25B	54.69	−46.87	−4.31	47.08	185
G50B	57.25	−36.1	−30.82	47.48	220
G75B	49.61	−13.51	−44.85	46.85	253
B	41.78	1.1	−44.7	44.72	271
B25R	29.34	24.33	−44.47	50.7	299
B50R	40.78	60.78	−20.18	64.05	342
B75R	48.06	71.56	13.77	72.87	11

Dreiecks-Helligkeit *t**

%Umfang
u^*_{rel} = 93
%Regularität
$g^*_{H,rel}$ = 57
$g^*_{C,rel}$ = 59

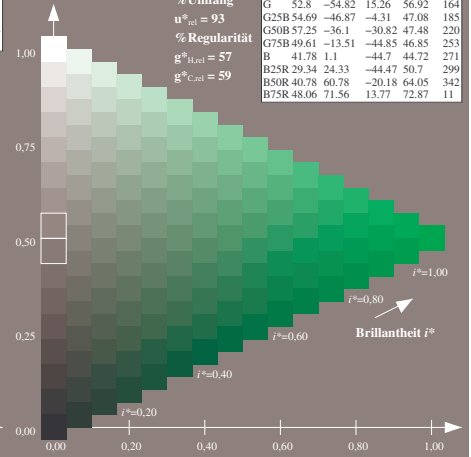

ZG620−7N, 9stufige Reihen für konstanten CIELAB Buntton 151/360 = 0.419 (links) Seite 13/60 ZG620−7N, 16stufige Reihen für konstanten CIELAB Buntton 151/360 = 0.419 (rechts)

Siehe ähnliche Dateien: http://www.ps.bam.de/ZG62/; www.ps.bam.de/ZG.HTM
Technische Information: http://www.ps.bam.de Version 2.1, io=1.1

BAM-Registrierung: 20071001-ZG62/L62G00N1.PS/.TXT
Anwendung für Beurteilung und Messung von Drucker- oder Monitorsystemen
BAM-Material: Code=ñäöüß

Eingabe: Farbmetrisches Offset-Reflektiv-System ORS18

für Buntton $h^* = lab^*h = 236/360 = 0.656$

lab*tch* und *lab*nch

D65: Buntton C

LCH*Ma: 59 54 236

olv*Ma: 0.0 1.0 1.0

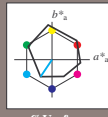

ORS18; adaptierte CIELAB-Daten

	$L^*=L^*_a$	a^*_a	b^*_a	$C^*_{ab,a}$	$h^*_{ab,a}$
O_{Ma}	47.94	65.39	50.52	82.63	38
Y_{Ma}	90.37	−10.26	91.75	92.32	96
L_{Ma}	50.9	−62.83	34.96	71.91	151
C_{Ma}	58.62	−30.34	−45.01	54.3	236
V_{Ma}	25.72	31.1	−44.4	54.22	305
M_{Ma}	48.13	75.28	−8.36	75.74	354
N_{Ma}	18.01	0.0	0.0	0.0	0
W_{Ma}	95.41	0.0	0.0	0.0	0
R_{CIE}	39.92	58.66	26.98	64.57	25
J_{CIE}	81.26	−2.16	67.76	67.79	92
G_{CIE}	52.23	−42.25	11.76	43.87	164
B_{CIE}	30.57	1.15	−46.84	46.86	271

Dreiecks-Helligkeit *t**

%Umfang

u^*_{rel} = 93

%Regularität

$g^*_{H,rel}$ = 57

$g^*_{C,rel}$ = 59

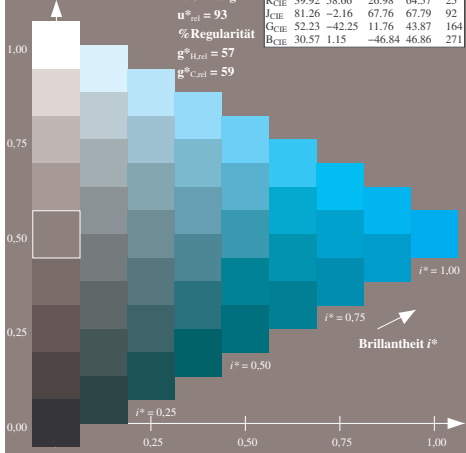

Ausgabe: Farbmetrisches Offset-Reflektiv-System ORS18

für Buntton $h^* = lab^*h = 236/360 = 0.656$

lab*tch* und *lab*nch

D65: Buntton C

LCH*Ma: 59 54 236

olv*Ma: 0.0 1.0 1.0

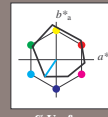

ORS18; adaptierte CIELAB-Daten

	$L^*=L^*_a$	a^*_a	b^*_a	$C^*_{ab,a}$	$h^*_{ab,a}$
R	48.0	68.58	31.54	75.48	25
R25J	50.11	61.52	52.63	80.96	41
R50J	62.87	38.77	65.02	75.71	59
R75J	74.87	17.37	76.69	78.63	77
J	86.19	−2.8	87.69	87.73	92
J25G	84.01	−18.73	82.6	84.7	103
J50G	71.17	−35.83	64.13	73.46	119
J75G	56.99	−54.71	43.72	70.05	141
G	52.8	−54.82	15.26	56.92	164
G25B	54.69	−46.87	−4.31	47.08	185
G50B	57.25	−36.1	−30.82	47.48	220
G75B	49.61	−13.51	−44.85	46.85	253
B	41.78	1.1	−44.7	44.72	271
B25R	29.34	24.33	−44.47	50.7	299
B50R	40.78	60.78	−20.18	64.05	342
B75R	48.06	71.56	13.77	72.87	11

Dreiecks-Helligkeit *t**

%Umfang

u^*_{rel} = 93

%Regularität

$g^*_{H,rel}$ = 57

$g^*_{C,rel}$ = 59

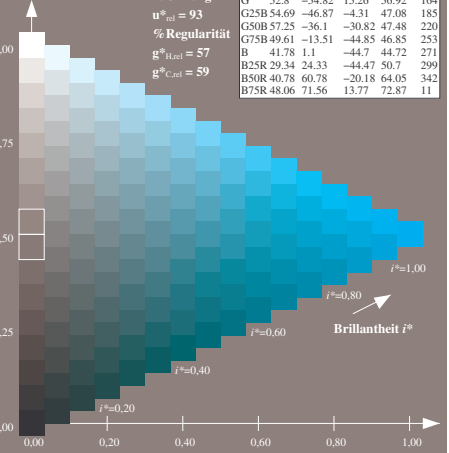

ZG620−7N, 9stufige Reihen für konstanten CIELAB Buntton 236/360 = 0.656 (links) Seite 14/60 ZG620−7N, 16stufige Reihen für konstanten CIELAB Buntton 236/360 = 0.656 (rechts)

Siehe ähnliche Dateien: http://www.ps.bam.de/ZG62/; www.ps.bam.de/ZG.HTM
Technische Information: http://www.ps.bam.de Version 2.1, io=1.1

BAM-Registrierung: 20071001-ZG62/L62G00N1.PS/.TXT
Anwendung für Beurteilung und Messung von Drucker- oder Monitorsystemen
BAM-Material: Code=ñäöüß

Eingabe: Farbmetrisches Offset-Reflektiv-System ORS18

für Buntton $h^* = lab^*h = 305/360 = 0.847$

lab*tch* und *lab*nch

D65: Buntton V

LCH*Ma: 26 54 305

olv*Ma: 0.0 0.0 1.0

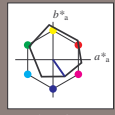

ORS18; adaptierte CIELAB-Daten

	$L^*=L^*_a$	a^*_a	b^*_a	$C^*_{ab,a}$	$h^*_{ab,a}$
O_{Ma}	47.94	65.39	50.52	82.63	38
Y_{Ma}	90.37	−10.26	91.75	92.32	96
L_{Ma}	50.9	−62.83	34.96	71.91	151
C_{Ma}	58.62	−30.34	−45.01	54.3	236
V_{Ma}	25.72	31.1	−44.4	54.22	305
M_{Ma}	48.13	75.28	−8.36	75.74	354
N_{Ma}	18.01	0.0	0.0	0.0	0
W_{Ma}	95.41	0.0	0.0	0.0	0
R_{CIE}	39.92	58.66	26.98	64.57	25
J_{CIE}	81.26	−2.16	67.76	67.79	92
G_{CIE}	52.23	−42.25	11.76	43.87	164
B_{CIE}	30.57	1.15	−46.84	46.86	271

Dreiecks-Helligkeit *t**

%Umfang

u^*_{rel} = 93

%Regularität

$g^*_{H,rel}$ = 57

$g^*_{C,rel}$ = 59

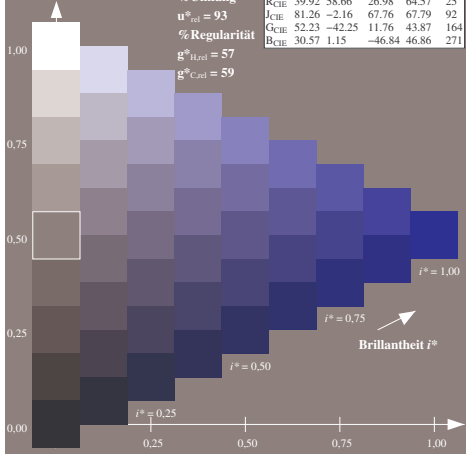

Ausgabe: Farbmetrisches Offset-Reflektiv-System ORS18

für Buntton $h^* = lab^*h = 305/360 = 0.847$

lab*tch* und *lab*nch

D65: Buntton V

LCH*Ma: 26 54 305

olv*Ma: 0.0 0.0 1.0

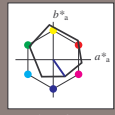

ORS18; adaptierte CIELAB-Daten

	$L^*=L^*_a$	a^*_a	b^*_a	$C^*_{ab,a}$	$h^*_{ab,a}$
R	48.0	68.58	31.54	75.48	25
R25J	50.11	61.52	52.63	80.96	41
R50J	62.87	38.77	65.02	75.71	59
R75J	74.87	17.37	76.69	78.63	77
J	86.19	−2.8	87.69	87.73	92
J25G	84.01	−18.73	82.6	84.7	103
J50G	71.17	−35.83	64.13	73.46	119
J75G	56.99	−54.71	43.72	70.05	141
G	52.8	−54.82	15.26	56.92	164
G25B	54.69	−46.87	−4.31	47.08	185
G50B	57.25	−36.1	−30.82	47.48	220
G75B	49.61	−13.51	−44.85	46.85	253
B	41.78	1.1	−44.7	44.72	271
B25R	29.34	24.33	−44.47	50.7	299
B50R	40.78	60.78	−20.18	64.05	342
B75R	48.06	71.56	13.77	72.87	11

Dreiecks-Helligkeit *t**

%Umfang

u^*_{rel} = 93

%Regularität

$g^*_{H,rel}$ = 57

$g^*_{C,rel}$ = 59

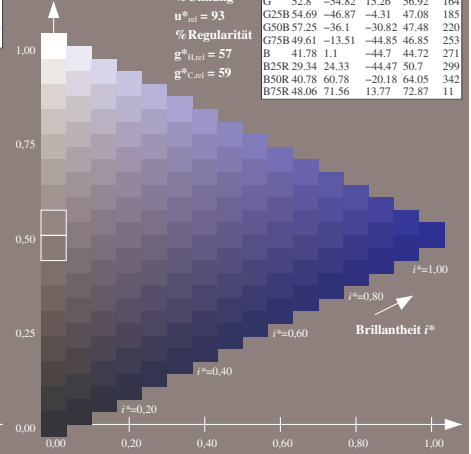

ZG620−7N, 9stufige Reihen für konstanten CIELAB Buntton 305/360 = 0.847 (links) Seite 15/60 ZG620−7N, 16stufige Reihen für konstanten CIELAB Buntton 305/360 = 0.847 (rechts)

Siehe ähnliche Dateien: http://www.ps.bam.de/ZG62/; www.ps.bam.de/ZG.HTM
Technische Information: http://www.ps.bam.de Version 2.1, io=1.1

BAM-Registrierung: 20071001-ZG62/L62G00N1.PS/.TXT
Anwendung für Beurteilung und Messung von Drucker- oder Monitorsystemen
BAM-Material: Code=ñäöüß

Eingabe: Farbmetrisches Offset-Reflektiv-System ORS18

für Buntton $h^* = lab^*h = 354/360 = 0.982$

lab*tch* und *lab*nch

D65: Buntton M

LCH*Ma: 48 76 354

olv*Ma: 1.0 0.0 1.0

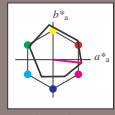

ORS18; adaptierte CIELAB-Daten

	$L^*=L^*_a$	a^*_a	b^*_a	$C^*_{ab,a}$	$h^*_{ab,a}$
O_{Ma}	47.94	65.39	50.52	82.63	38
Y_{Ma}	90.37	−10.26	91.75	92.32	96
L_{Ma}	50.9	−62.83	34.96	71.91	151
C_{Ma}	58.62	−30.34	−45.01	54.3	236
V_{Ma}	25.72	31.1	−44.4	54.22	305
M_{Ma}	48.13	75.28	−8.36	75.74	354
N_{Ma}	18.01	0.0	0.0	0.0	0
W_{Ma}	95.41	0.0	0.0	0.0	0
R_{CIE}	39.92	58.66	26.98	64.57	25
J_{CIE}	81.26	−2.16	67.76	67.79	92
G_{CIE}	52.23	−42.25	11.76	43.87	164
B_{CIE}	30.57	1.15	−46.84	46.86	271

Dreiecks-Helligkeit *t**

%Umfang

u^*_{rel} = 93

%Regularität

$g^*_{H,rel}$ = 57

$g^*_{C,rel}$ = 59

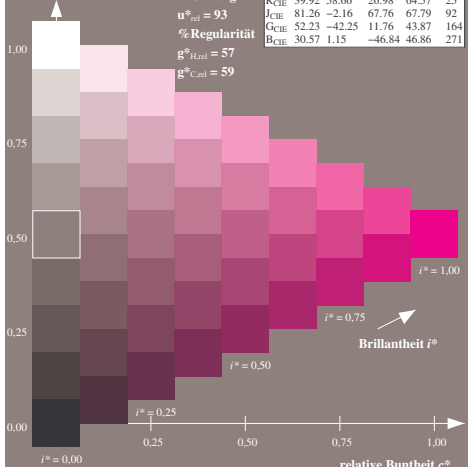

Ausgabe: Farbmetrisches Offset-Reflektiv-System ORS18

für Buntton $h^* = lab^*h = 354/360 = 0.982$

lab*tch* und *lab*nch

D65: Buntton M

LCH*Ma: 48 76 354

olv*Ma: 1.0 0.0 1.0

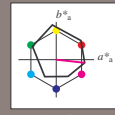

ORS18; adaptierte CIELAB-Daten

	$L^*=L^*_a$	a^*_a	b^*_a	$C^*_{ab,a}$	$h^*_{ab,a}$
R	48.0	68.58	31.54	75.48	25
R25J	50.11	61.52	52.63	80.96	41
R50J	62.87	38.77	65.02	75.71	59
R75J	74.87	17.37	76.69	78.63	77
J	86.19	−2.8	87.69	87.73	92
J25G	84.01	−18.73	82.6	84.7	103
J50G	71.17	−35.83	64.13	73.46	119
J75G	56.99	−54.71	43.72	70.05	141
G	52.8	−54.82	15.26	56.92	164
G25B	54.69	−46.87	−4.31	47.08	185
G50B	57.25	−36.1	−30.82	47.48	220
G75B	49.61	−13.51	−44.85	46.85	253
B	41.78	1.1	−44.7	44.72	271
B25R	29.34	24.33	−44.47	50.7	299
B50R	40.78	60.78	−20.18	64.05	342
B75R	48.06	71.56	13.77	72.87	11

Dreiecks-Helligkeit *t**

%Umfang

u^*_{rel} = 93

%Regularität

$g^*_{H,rel}$ = 57

$g^*_{C,rel}$ = 59

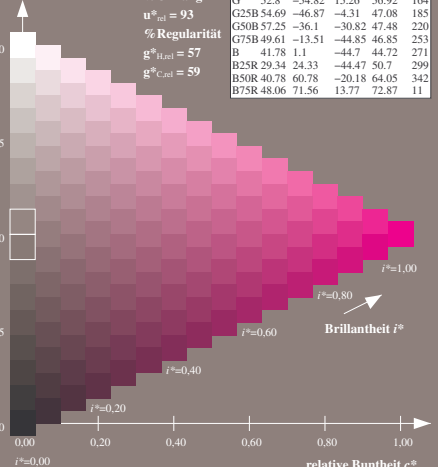

ZG620−7N, 9stufige Reihen für konstanten CIELAB Buntton 354/360 = 0.982 (links) Seite 16/60 ZG620−7N, 16stufige Reihen für konstanten CIELAB Buntton 354/360 = 0.982 (rechts)

Siehe ähnliche Dateien: http://www.ps.bam.de/ZG62/; www.ps.bam.de/ZG.HTM
Technische Information: http://www.ps.bam.de Version 2.1, io=1.1

BAM-Registrierung: 20071001-ZG62/L62G00N1.PS/.TXT
Anwendung für Beurteilung und Messung von Drucker- oder Monitorsystemen
BAM-Material: Code=rhäata

Eingabe: Farbmetrisches Offset-Reflektiv-System ORS18

für Buntton $h^* = lab^*h = 25/360 = 0.069$

lab*tch* und *lab*nch

D65: Buntton R

LCH*Ma: 48 75 25

olv*Ma: 1.0 0.0 0.32

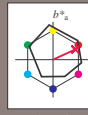

ORS18; adaptierte CIELAB-Daten

	$L^*=L^*_a$	a^*_a	b^*_a	$C^*_{ab,a}$	$h^*_{ab,a}$
O_{Ma}	47.94	65.39	50.52	82.63	38
Y_{Ma}	90.37	−10.26	91.75	92.32	96
L_{Ma}	50.9	−62.83	34.96	71.91	151
C_{Ma}	58.62	−30.34	−45.01	54.3	236
V_{Ma}	25.72	31.1	−44.4	54.22	305
M_{Ma}	48.13	75.28	−8.36	75.74	354
N_{Ma}	18.01	0.0	0.0	0.0	0
W_{Ma}	95.41	0.0	0.0	0.0	0
R_{CIE}	39.92	58.66	26.98	64.57	25
J_{CIE}	81.26	−2.16	67.76	67.79	92
G_{CIE}	52.23	−42.25	11.76	43.87	164
B_{CIE}	30.57	1.15	−46.84	46.86	271

Dreiecks-Helligkeit *t**

%Umfang

u^*_{rel} = 93

%Regularität

$g^*_{H,rel}$ = 57

$g^*_{C,rel}$ = 59

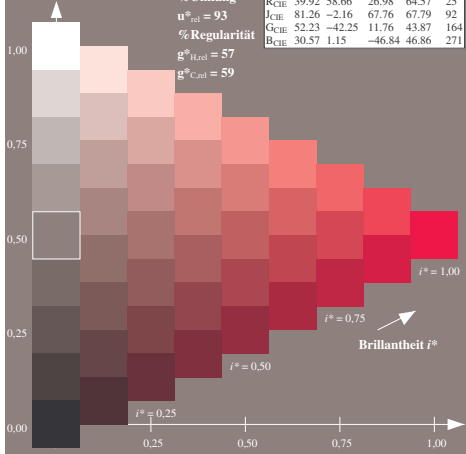

Ausgabe: Farbmetrisches Offset-Reflektiv-System ORS18

für Buntton $h^* = lab^*h = 25/360 = 0.069$

lab*tch* und *lab*nch

D65: Buntton R

LCH*Ma: 48 75 25

olv*Ma: 1.0 0.0 0.32

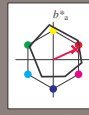

ORS18; adaptierte CIELAB-Daten

	$L^*=L^*_a$	a^*_a	b^*_a	$C^*_{ab,a}$	$h^*_{ab,a}$
R	48.0	68.58	31.54	75.48	25
R25J	50.11	61.52	52.63	80.96	41
R50J	62.87	38.77	65.02	75.71	59
R75J	74.87	17.37	76.69	78.63	77
J	86.19	−2.8	87.69	87.73	92
J25G	84.01	−18.73	82.6	84.7	103
J50G	71.17	−35.83	64.13	73.46	119
J75G	56.99	−54.71	43.72	70.05	141
G	52.8	−54.82	15.26	56.92	164
G25B	54.69	−46.87	−4.31	47.08	185
G50B	57.25	−36.1	−30.82	47.48	220
G75B	49.61	−13.51	−44.85	46.85	253
B	41.78	1.1	−44.7	44.72	271
B25R	29.34	24.33	−44.47	50.7	299
B50R	40.78	60.78	−20.18	64.05	342
B75R	48.06	71.56	13.77	72.87	11

Dreiecks-Helligkeit *t**

%Umfang

u^*_{rel} = 93

%Regularität

$g^*_{H,rel}$ = 57

$g^*_{C,rel}$ = 59

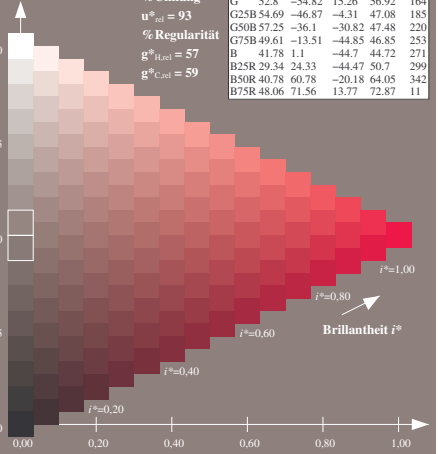

ZG620−7N, 9stufige Reihen für konstanten CIELAB Buntton 25/360 = 0.069 (links) Seite 17/60 ZG620−7N, 16stufige Reihen für konstanten CIELAB Buntton 25/360 = 0.069 (rechts)

Siehe ähnliche Dateien: http://www.ps.bam.de/ZG62/; www.ps.bam.de/ZG.HTM
Technische Information: http://www.ps.bam.de Version 2.1, io=1.1

BAM-Registrierung: 20071001-ZG62/L62G00N1.PS/.TXT
Anwendung für Beurteilung und Messung von Drucker- oder Monitorsystemen
BAM-Material: Code=rhäata

Eingabe: Farbmetrisches Offset-Reflektiv-System ORS18

für Buntton $h^* = lab^*h = 92/360 = 0.255$
lab*tch* und *lab*nch
D65: Buntton J
LCH*Ma: 86 88 92
olv*Ma: 1.0 0.9 0.0

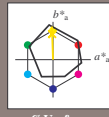

ORS18; adaptierte CIELAB-Daten

	$L^*=L^*_a$	a^*_a	b^*_a	$C^*_{ab,a}$	$h^*_{ab,a}$
O_{Ma}	47.94	65.39	50.52	82.63	38
Y_{Ma}	90.37	−10.26	91.75	92.32	96
L_{Ma}	50.9	−62.83	34.96	71.91	151
C_{Ma}	58.62	−30.34	−45.01	54.3	236
V_{Ma}	25.72	31.1	−44.4	54.22	305
M_{Ma}	48.13	75.28	−8.36	75.74	354
N_{Ma}	18.01	0.0	0.0	0.0	0
W_{Ma}	95.41	0.0	0.0	0.0	0
R_{CIE}	39.92	58.66	26.98	64.57	25
J_{CIE}	81.26	−2.16	67.76	67.79	92
G_{CIE}	52.23	−42.25	11.76	43.87	164
B_{CIE}	30.57	1.15	−46.84	46.86	271

Dreiecks-Helligkeit *t**

%Umfang
u^*_{rel} = 93
%Regularität
$g^*_{H,rel}$ = 57
$g^*_{C,rel}$ = 59

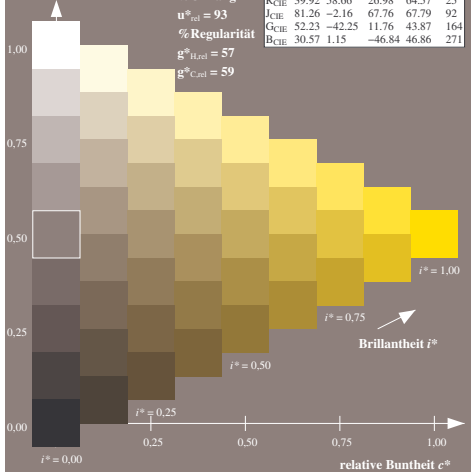

Ausgabe: Farbmetrisches Offset-Reflektiv-System ORS18

für Buntton $h^* = lab^*h = 92/360 = 0.255$
lab*tch* und *lab*nch
D65: Buntton J
LCH*Ma: 86 88 92
olv*Ma: 1.0 0.9 0.0

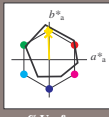

ORS18; adaptierte CIELAB-Daten

	$L^*=L^*_a$	a^*_a	b^*_a	$C^*_{ab,a}$	$h^*_{ab,a}$
R	48.0	68.58	31.54	75.48	25
R25J	50.11	61.52	52.63	80.96	41
R50J	62.87	38.77	65.02	75.71	59
R75J	74.87	17.37	76.69	78.63	77
J	86.19	−2.8	87.69	87.73	92
J25G	84.01	−18.73	82.6	84.7	103
J50G	71.17	−35.83	64.13	73.46	119
J75G	56.99	−54.71	43.72	70.05	141
G	52.8	−54.82	15.26	56.92	164
G25B	54.69	−46.87	−4.31	47.08	185
G50B	57.25	−36.1	−30.82	47.48	220
G75B	49.61	−13.51	−44.85	46.85	253
B	41.78	1.1	−44.7	44.72	271
B25R	29.34	24.33	−44.47	50.7	299
B50R	40.78	60.78	−20.18	64.05	342
B75R	48.06	71.56	13.77	72.87	11

Dreiecks-Helligkeit *t**

%Umfang
u^*_{rel} = 93
%Regularität
$g^*_{H,rel}$ = 57
$g^*_{C,rel}$ = 59

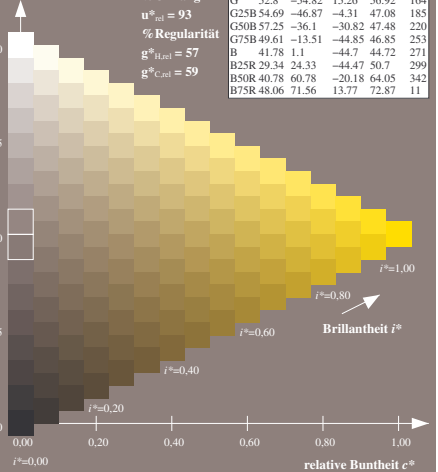

ZG620−7N, 9stufige Reihen für konstanten CIELAB Buntton 92/360 = 0.255 (links) Seite 18/60 ZG620−7N, 16stufige Reihen für konstanten CIELAB Buntton 92/360 = 0.255 (rechts)

Siehe ähnliche Dateien: http://www.ps.bam.de/ZG62/; www.ps.bam.de/ZG.HTM
Technische Information: http://www.ps.bam.de Version 2.1, io=1.1

BAM-Registrierung: 20071001-ZG62/L62G00N1.PS/.TXT
Anwendung für Beurteilung und Messung von Drucker- oder Monitorsystemen
BAM-Material: Code=ñäöüß

Eingabe: Farbmetrisches Offset-Reflektiv-System ORS18

für Buntton $h^* = lab^*h = 164/360 = 0.457$

lab*tch* und *lab*nch

D65: Buntton G

LCH*Ma: 53 57 164

olv*Ma: 0.0 1.0 0.25

ORS18; adaptierte CIELAB-Daten

	$L^*=L^*_a$	a^*_a	b^*_a	$C^*_{ab,a}$	$h^*_{ab,a}$
O_{Ma}	47.94	65.39	50.52	82.63	38
Y_{Ma}	90.37	−10.26	91.75	92.32	96
L_{Ma}	50.9	−62.83	34.96	71.91	151
C_{Ma}	58.62	−30.34	−45.01	54.3	236
V_{Ma}	25.72	31.1	−44.4	54.22	305
M_{Ma}	48.13	75.28	−8.36	75.74	354
N_{Ma}	18.01	0.0	0.0	0.0	0
W_{Ma}	95.41	0.0	0.0	0.0	0
R_{CIE}	39.92	58.66	26.98	64.57	25
J_{CIE}	81.26	−2.16	67.76	67.79	92
G_{CIE}	52.23	−42.25	11.76	43.87	164
B_{CIE}	30.57	1.15	−46.84	46.86	271

Dreiecks-Helligkeit *t**

%Umfang

u^*_{rel} = 93

%Regularität

$g^*_{H,rel}$ = 57

$g^*_{C,rel}$ = 59

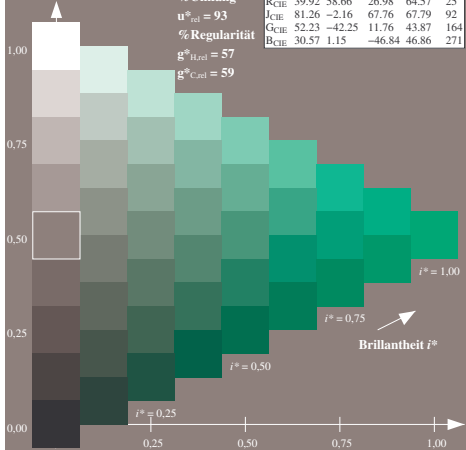

Ausgabe: Farbmetrisches Offset-Reflektiv-System ORS18

für Buntton $h^* = lab^*h = 164/360 = 0.457$

lab*tch* und *lab*nch

D65: Buntton G

LCH*Ma: 53 57 164

olv*Ma: 0.0 1.0 0.25

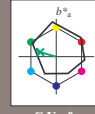

ORS18; adaptierte CIELAB-Daten

	$L^*=L^*_a$	a^*_a	b^*_a	$C^*_{ab,a}$	$h^*_{ab,a}$
R	48.0	68.58	31.54	75.48	25
R25J	50.11	61.52	52.63	80.96	41
R50J	62.87	38.77	65.02	75.71	59
R75J	74.87	17.37	76.69	78.63	77
J	86.19	−2.8	87.69	87.73	92
J25G	84.01	−18.73	82.6	84.7	103
J50G	71.17	−35.83	64.13	73.46	119
J75G	56.99	−54.71	43.72	70.05	141
G	52.8	−54.82	15.26	56.92	164
G25B	54.69	−46.87	−4.31	47.08	185
G50B	57.25	−36.1	−30.82	47.48	220
G75B	49.61	−13.51	−44.85	46.85	253
B	41.78	1.1	−44.7	44.72	271
B25R	29.34	24.33	−44.47	50.7	299
B50R	40.78	60.78	−20.18	64.05	342
B75R	48.06	71.56	13.77	72.87	11

Dreiecks-Helligkeit *t**

%Umfang

u^*_{rel} = 93

%Regularität

$g^*_{H,rel}$ = 57

$g^*_{C,rel}$ = 59

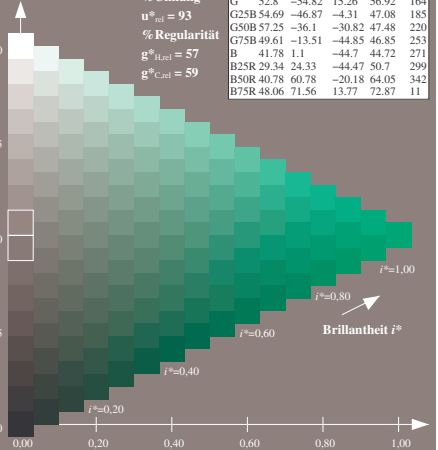

ZG620−7N, 9stufige Reihen für konstanten CIELAB Buntton 164/360 = 0.457 (links) Seite 19/60 ZG620−7N, 16stufige Reihen für konstanten CIELAB Buntton 164/360 = 0.457 (rechts)

Siehe ähnliche Dateien: http://www.ps.bam.de/ZG62/; www.ps.bam.de/ZG.HTM
Technische Information: http://www.ps.bam.de Version 2.1, io=1.1

BAM-Registrierung: 20071001-ZG62/L62G00N1.PS/.TXT
Anwendung für Beurteilung und Messung von Drucker- oder Monitorsystemen
BAM-Material: Code=ñäöüß

Eingabe: Farbmetrisches Offset-Reflektiv-System ORS18

für Buntton $h^* = lab^*h = 271/360 = 0.754$

lab*tch* und *lab*nch

D65: Buntton B

LCH*Ma: 42 45 271

olv*Ma: 0.0 0.49 1.0

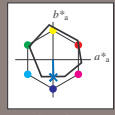

ORS18; adaptierte CIELAB-Daten

	$L^*=L^*_a$	a^*_a	b^*_a	$C^*_{ab,a}$	$h^*_{ab,a}$
O_{Ma}	47.94	65.39	50.52	82.63	38
Y_{Ma}	90.37	−10.26	91.75	92.32	96
L_{Ma}	50.9	−62.83	34.96	71.91	151
C_{Ma}	58.62	−30.34	−45.01	54.3	236
V_{Ma}	25.72	31.1	−44.4	54.22	305
M_{Ma}	48.13	75.28	−8.36	75.74	354
N_{Ma}	18.01	0.0	0.0	0.0	0
W_{Ma}	95.41	0.0	0.0	0.0	0
R_{CIE}	39.92	58.66	26.98	64.57	25
J_{CIE}	81.26	−2.16	67.76	67.79	92
G_{CIE}	52.23	−42.25	11.76	43.87	164
B_{CIE}	30.57	1.15	−46.84	46.86	271

Dreiecks-Helligkeit *t**

%Umfang

u^*_{rel} = 93

%Regularität

$g^*_{H,rel}$ = 57

$g^*_{C,rel}$ = 59

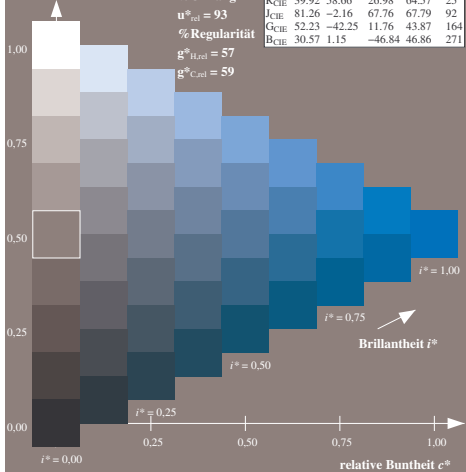

Ausgabe: Farbmetrisches Offset-Reflektiv-System ORS18

für Buntton $h^* = lab^*h = 271/360 = 0.754$

lab*tch* und *lab*nch

D65: Buntton B

LCH*Ma: 42 45 271

olv*Ma: 0.0 0.49 1.0

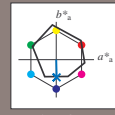

ORS18; adaptierte CIELAB-Daten

	$L^*=L^*_a$	a^*_a	b^*_a	$C^*_{ab,a}$	$h^*_{ab,a}$
R	48.0	68.58	31.54	75.48	25
R25J	50.11	61.52	52.63	80.96	41
R50J	62.87	38.77	65.02	75.71	59
R75J	74.87	17.37	76.69	78.63	77
J	86.19	−2.8	87.69	87.73	92
J25G	84.01	−18.73	82.6	84.7	103
J50G	71.17	−35.83	64.13	73.46	119
J75G	56.99	−54.71	43.72	70.05	141
G	52.8	−54.82	15.26	56.92	164
G25B	54.69	−46.87	−4.31	47.08	185
G50B	57.25	−36.1	−30.82	47.48	220
G75B	49.61	−13.51	−44.85	46.85	253
B	41.78	1.1	−44.7	44.72	271
B25R	29.34	24.33	−44.47	50.7	299
B50R	40.78	60.78	−20.18	64.05	342
B75R	48.06	71.56	13.77	72.87	11

Dreiecks-Helligkeit *t**

%Umfang

u^*_{rel} = 93

%Regularität

$g^*_{H,rel}$ = 57

$g^*_{C,rel}$ = 59

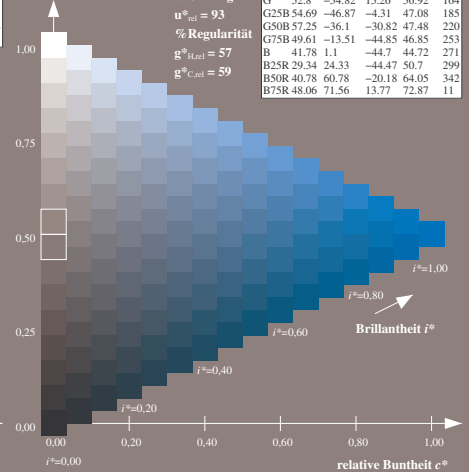

ZG620−7N, 9stufige Reihen für konstanten CIELAB Buntton 271/360 = 0.754 (links) Seite 20/60 ZG620−7N, 16stufige Reihen für konstanten CIELAB Buntton 271/360 = 0.754 (rechts)

BAM-Registrierung: 20071001-ZG62/L62G00N1.PS/.TXT
Anwendung für Beurteilung und Messung von Drucker- oder Monitorsystemen
BAM-Material: Code=rhaata

Siehe ähnliche Dateien: http://www.ps.bam.de/ZG62/; www.ps.bam.de/ZG.HTM
Technische Information: http://www.ps.bam.de Version 2.1, io=1.1

Eingabe: Farbmetrisches Offset-Reflektiv-System ORS18

für Buntton $h^* = lab^*h = 38/360 = 0.105$
lab*tch* und *lab*nch
D65: Buntton O
LCH*Ma: 48 83 38
olv*Ma: 1.0 0.0 0.0

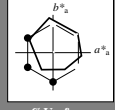

ORS18; adaptierte CIELAB-Daten

	$L^*=L^*_a$	a^*_a	b^*_a	$C^*_{ab,a}$	$h^*_{ab,a}$
O_{Ma}	47.94	65.39	50.52	82.63	38
Y_{Ma}	90.37	−10.26	91.75	92.32	96
L_{Ma}	50.9	−62.83	34.96	71.91	151
C_{Ma}	58.62	−30.34	−45.01	54.3	236
V_{Ma}	25.72	31.1	−44.4	54.22	305
M_{Ma}	48.13	75.28	−8.36	75.74	354
N_{Ma}	18.01	0.0	0.0	0.0	0
W_{Ma}	95.41	0.0	0.0	0.0	0
R_{CIE}	39.92	58.66	26.98	64.57	25
J_{CIE}	81.26	−2.16	67.76	67.79	92
G_{CIE}	52.23	−42.25	11.76	43.87	164
B_{CIE}	30.57	1.15	−46.84	46.86	271

Dreiecks-Helligkeit *t**

%Umfang
u^*_{rel} = 93
%Regularität
$g^*_{H,rel}$ = 57
$g^*_{C,rel}$ = 59

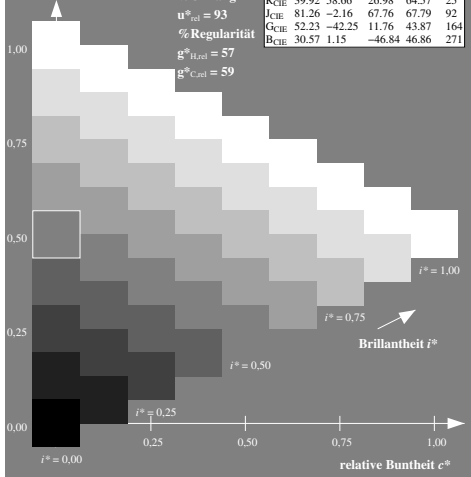

Ausgabe: Farbmetrisches Offset-Reflektiv-System ORS18

für Buntton $h^* = lab^*h = 38/360 = 0.105$
lab*tch* und *lab*nch
D65: Buntton O
LCH*Ma: 48 83 38
olv*Ma: 1.0 0.0 0.0

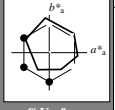

ORS18; adaptierte CIELAB-Daten

	$L^*=L^*_a$	a^*_a	b^*_a	$C^*_{ab,a}$	$h^*_{ab,a}$
R	48.0	68.58	31.54	75.48	25
R25J	50.11	61.52	52.63	80.96	41
R50J	62.87	38.77	65.02	75.71	59
R75J	74.87	17.37	76.69	78.63	77
J	86.19	−2.8	87.69	87.73	92
J25G	84.01	−18.73	82.6	84.7	103
J50G	71.17	−35.83	64.13	73.46	119
J75G	56.99	−54.71	43.72	70.05	141
G	52.8	−54.82	15.26	56.92	164
G25B	54.69	−46.87	−4.31	47.08	185
G50B	57.25	−36.1	−30.82	47.48	220
G75B	49.61	−13.51	−44.85	46.85	253
B	41.78	1.1	−44.7	44.72	271
B25R	29.34	24.33	−44.47	50.7	299
B50R	40.78	60.78	−20.18	64.05	342
B75R	48.06	71.56	13.77	72.87	11

Dreiecks-Helligkeit *t**

%Umfang
u^*_{rel} = 93
%Regularität
$g^*_{H,rel}$ = 57
$g^*_{C,rel}$ = 59

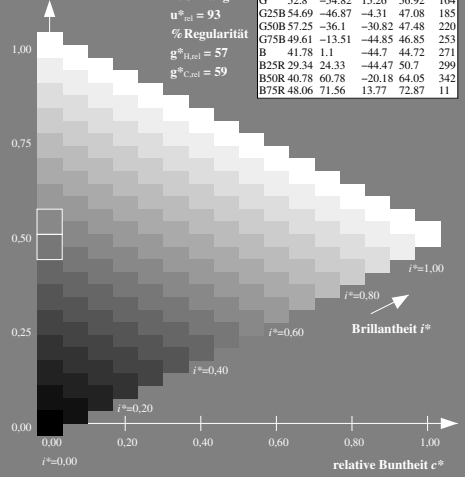

ZG620−7N, 9stufige Reihen für konstanten CIELAB Buntton 38/360 = 0.105 (links) Seite 21/60 ZG620−7N, 16stufige Reihen für konstanten CIELAB Buntton 38/360 = 0.105 (rechts) c n

Siehe ähnliche Dateien: http://www.ps.bam.de/ZG62/; www.ps.bam.de/ZG.HTM
Technische Information: http://www.ps.bam.de Version 2.1, io=1.1

BAM-Registrierung: 20071001-ZG62/L62G00N1.PS/.TXT
Anwendung für Beurteilung und Messung von Drucker- oder Monitorsystemen
BAM-Material: Code=rhaata

Eingabe: Farbmetrisches Offset-Reflektiv-System ORS18

für Buntton $h^* = lab^*h = 96/360 = 0.268$
lab*tch* und *lab*nch
D65: Buntton Y
LCH*Ma: 90 92 96
olv*Ma: 1.0 1.0 0.0

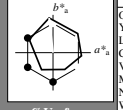

ORS18; adaptierte CIELAB-Daten

	$L^*=L^*_a$	a^*_a	b^*_a	$C^*_{ab,a}$	$h^*_{ab,a}$
O_{Ma}	47.94	65.39	50.52	82.63	38
Y_{Ma}	90.37	−10.26	91.75	92.32	96
L_{Ma}	50.9	−62.83	34.96	71.91	151
C_{Ma}	58.62	−30.34	−45.01	54.3	236
V_{Ma}	25.72	31.1	−44.4	54.22	305
M_{Ma}	48.13	75.28	−8.36	75.74	354
N_{Ma}	18.01	0.0	0.0	0.0	0
W_{Ma}	95.41	0.0	0.0	0.0	0
R_{CIE}	39.92	58.66	26.98	64.57	25
J_{CIE}	81.26	−2.16	67.76	67.79	92
G_{CIE}	52.23	−42.25	11.76	43.87	164
B_{CIE}	30.57	1.15	−46.84	46.86	271

Dreiecks-Helligkeit *t**

%Umfang
u^*_{rel} = 93
%Regularität
$g^*_{H,rel}$ = 57
$g^*_{C,rel}$ = 59

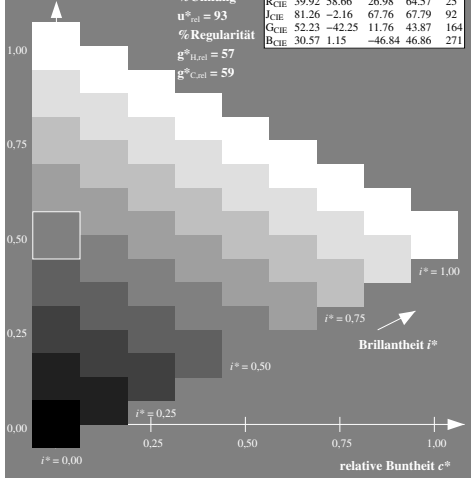

Ausgabe: Farbmetrisches Offset-Reflektiv-System ORS18

für Buntton $h^* = lab^*h = 96/360 = 0.268$
lab*tch* und *lab*nch
D65: Buntton Y
LCH*Ma: 90 92 96
olv*Ma: 1.0 1.0 0.0

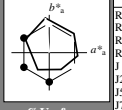

ORS18; adaptierte CIELAB-Daten

	$L^*=L^*_a$	a^*_a	b^*_a	$C^*_{ab,a}$	$h^*_{ab,a}$
R	48.0	68.58	31.54	75.48	25
R25J	50.11	61.52	52.63	80.96	41
R50J	62.87	38.77	65.02	75.71	59
R75J	74.87	17.37	76.69	78.63	77
J	86.19	−2.8	87.69	87.73	92
J25G	84.01	−18.73	82.6	84.7	103
J50G	71.17	−35.83	64.13	73.46	119
J75G	56.99	−54.71	43.72	70.05	141
G	52.8	−54.82	15.26	56.92	164
G25B	54.69	−46.87	−4.31	47.08	185
G50B	57.25	−36.1	−30.82	47.48	220
G75B	49.61	−13.51	−44.85	46.85	253
B	41.78	1.1	−44.7	44.72	271
B25R	29.34	24.33	−44.47	50.7	299
B50R	40.78	60.78	−20.18	64.05	342
B75R	48.06	71.56	13.77	72.87	11

Dreiecks-Helligkeit *t**

%Umfang
u^*_{rel} = 93
%Regularität
$g^*_{H,rel}$ = 57
$g^*_{C,rel}$ = 59

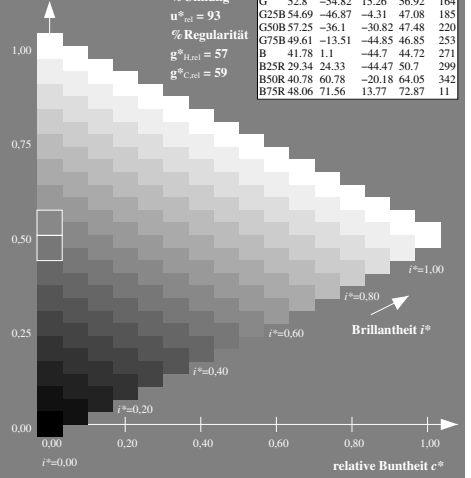

ZG620−7N, 9stufige Reihen für konstanten CIELAB Buntton 96/360 = 0.268 (links) Seite 22/60 ZG620−7N, 16stufige Reihen für konstanten CIELAB Buntton 96/360 = 0.268 (rechts) c n

Siehe ähnliche Dateien: http://www.ps.bam.de/ZG62/; www.ps.bam.de/ZG.HTM
Technische Information: http://www.ps.bam.de Version 2.1, io=1.1

BAM-Registrierung: 20071001-ZG62/L62G00N1.PS/.TXT
Anwendung für Beurteilung und Messung von Drucker- oder Monitorsystemen
BAM-Material: Code=rhaata

Eingabe: Farbmetrisches Offset-Reflektiv-System ORS18

für Buntton $h^* = lab^*h = 151/360 = 0.419$
lab*tch* und *lab*nch
D65: Buntton L
LCH*Ma: 51 72 151
olv*Ma: 0.0 1.0 0.0

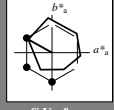

ORS18; adaptierte CIELAB-Daten

	$L^*=L^*_a$	a^*_a	b^*_a	$C^*_{ab,a}$	$h^*_{ab,a}$
O_{Ma}	47.94	65.39	50.52	82.63	38
Y_{Ma}	90.37	−10.26	91.75	92.32	96
L_{Ma}	50.9	−62.83	34.96	71.91	151
C_{Ma}	58.62	−30.34	−45.01	54.3	236
V_{Ma}	25.72	31.1	−44.4	54.22	305
M_{Ma}	48.13	75.28	−8.36	75.74	354
N_{Ma}	18.01	0.0	0.0	0.0	0
W_{Ma}	95.41	0.0	0.0	0.0	0
R_{CIE}	39.92	58.66	26.98	64.57	25
J_{CIE}	81.26	−2.16	67.76	67.79	92
G_{CIE}	52.23	−42.25	11.76	43.87	164
B_{CIE}	30.57	1.15	−46.84	46.86	271

Dreiecks-Helligkeit *t**

%Umfang
u^*_{rel} = 93
%Regularität
$g^*_{H,rel}$ = 57
$g^*_{C,rel}$ = 59

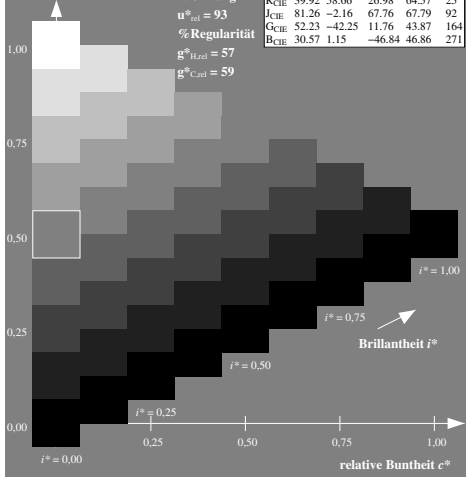

Ausgabe: Farbmetrisches Offset-Reflektiv-System ORS18

für Buntton $h^* = lab^*h = 151/360 = 0.419$
lab*tch* und *lab*nch
D65: Buntton L
LCH*Ma: 51 72 151
olv*Ma: 0.0 1.0 0.0

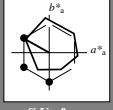

ORS18; adaptierte CIELAB-Daten

	$L^*=L^*_a$	a^*_a	b^*_a	$C^*_{ab,a}$	$h^*_{ab,a}$
R	48.0	68.58	31.54	75.48	25
R25J	50.11	61.52	52.63	80.96	41
R50J	62.87	38.77	65.02	75.71	59
R75J	74.87	17.37	76.69	78.63	77
J	86.19	−2.8	87.69	87.73	92
J25G	84.01	−18.73	82.6	84.7	103
J50G	71.17	−35.83	64.13	73.46	119
J75G	56.99	−54.71	43.72	70.05	141
G	52.8	−54.82	15.26	56.92	164
G25B	54.69	−46.87	−4.31	47.08	185
G50B	57.25	−36.1	−30.82	47.48	220
G75B	49.61	−13.51	−44.85	46.85	253
B	41.78	1.1	−44.7	44.72	271
B25R	29.34	24.33	−44.47	50.7	299
B50R	40.78	60.78	−20.18	64.05	342
B75R	48.06	71.56	13.77	72.87	11

Dreiecks-Helligkeit *t**

%Umfang
u^*_{rel} = 93
%Regularität
$g^*_{H,rel}$ = 57
$g^*_{C,rel}$ = 59

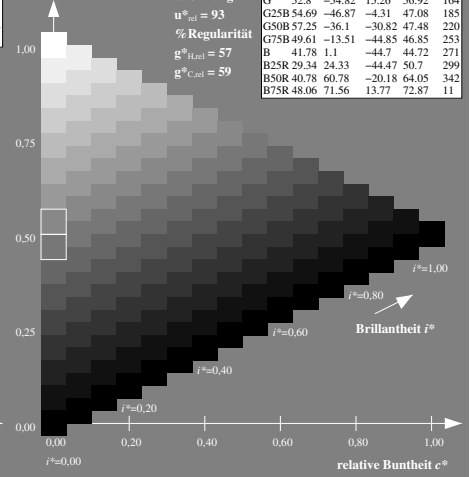

ZG620−7N, 9stufige Reihen für konstanten CIELAB Buntton 151/360 = 0.419 (links) Seite 23/60 ZG620−7N, 16stufige Reihen für konstanten CIELAB Buntton 151/360 = 0.419 (rechts) c n

Siehe ähnliche Dateien: http://www.ps.bam.de/ZG62/; www.ps.bam.de/ZG.HTM
Technische Information: http://www.ps.bam.de Version 2.1, io=1.1

BAM-Registrierung: 20071001-ZG62/L62G00N1.PS/.TXT
Anwendung für Beurteilung und Messung von Drucker- oder Monitorsystemen
BAM-Material: Code=rhasta

Eingabe: Farbmetrisches Offset-Reflektiv-System ORS18

für Buntton $h^* = lab^*h = 236/360 = 0.656$
lab*tch* und *lab*nch
D65: Buntton C
LCH*Ma: 59 54 236
olv*Ma: 0.0 1.0 1.0

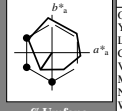

ORS18; adaptierte CIELAB-Daten

	$L^*=L^*_a$	a^*_a	b^*_a	$C^*_{ab,a}$	$h^*_{ab,a}$
O_{Ma}	47.94	65.39	50.52	82.63	38
Y_{Ma}	90.37	−10.26	91.75	92.32	96
L_{Ma}	50.9	−62.83	34.96	71.91	151
C_{Ma}	58.62	−30.34	−45.01	54.3	236
V_{Ma}	25.72	31.1	−44.4	54.22	305
M_{Ma}	48.13	75.28	−8.36	75.74	354
N_{Ma}	18.01	0.0	0.0	0.0	0
W_{Ma}	95.41	0.0	0.0	0.0	0
R_{CIE}	39.92	58.66	26.98	64.57	25
J_{CIE}	81.26	−2.16	67.76	67.79	92
G_{CIE}	52.23	−42.25	11.76	43.87	164
B_{CIE}	30.57	1.15	−46.84	46.86	271

Dreiecks-Helligkeit *t**

%Umfang
u^*_{rel} = 93
%Regularität
$g^*_{H,rel}$ = 57
$g^*_{C,rel}$ = 59

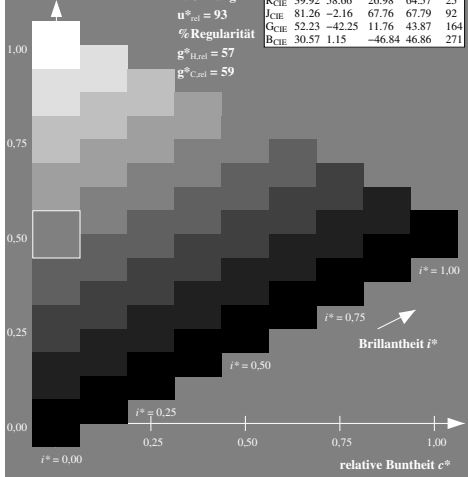

Ausgabe: Farbmetrisches Offset-Reflektiv-System ORS18

für Buntton $h^* = lab^*h = 236/360 = 0.656$
lab*tch* und *lab*nch
D65: Buntton C
LCH*Ma: 59 54 236
olv*Ma: 0.0 1.0 1.0

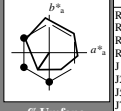

ORS18; adaptierte CIELAB-Daten

	$L^*=L^*_a$	a^*_a	b^*_a	$C^*_{ab,a}$	$h^*_{ab,a}$
R	48.0	68.58	31.54	75.48	25
R25J	50.11	61.52	52.63	80.96	41
R50J	62.87	38.77	65.02	75.71	59
R75J	74.87	17.37	76.69	78.63	77
J	86.19	−2.8	87.69	87.73	92
J25G	84.01	−18.73	82.6	84.7	103
J50G	71.17	−35.83	64.13	73.46	119
J75G	56.99	−54.71	43.72	70.05	141
G	52.8	−54.82	15.26	56.92	164
G25B	54.69	−46.87	−4.31	47.08	185
G50B	57.25	−36.1	−30.82	47.48	220
G75B	49.61	−13.51	−44.85	46.85	253
B	41.78	1.1	−44.7	44.72	271
B25R	29.34	24.33	−44.47	50.7	299
B50R	40.78	60.78	−20.18	64.05	342
B75R	48.06	71.56	13.77	72.87	11

Dreiecks-Helligkeit *t**

%Umfang
u^*_{rel} = 93
%Regularität
$g^*_{H,rel}$ = 57
$g^*_{C,rel}$ = 59

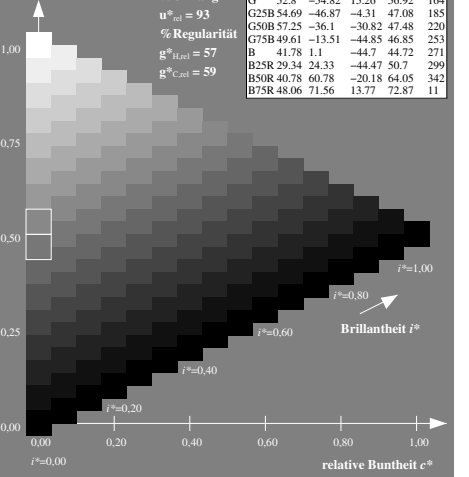

ZG620−7N, 9stufige Reihen für konstanten CIELAB Buntton 236/360 = 0.656 (links) Seite 24/60 ZG620−7N, 16stufige Reihen für konstanten CIELAB Buntton 236/360 = 0.656 (rechts) c n

Siehe ähnliche Dateien: http://www.ps.bam.de/ZG62/; www.ps.bam.de/ZG.HTM
Technische Information: http://www.ps.bam.de Version 2.1, io=1.1

BAM-Registrierung: 20071001-ZG62/L62G00N1.PS/.TXT
Anwendung für Beurteilung und Messung von Drucker- oder Monitorsystemen
BAM-Material: Code=rhaata

Eingabe: Farbmetrisches Offset-Reflektiv-System ORS18

für Buntton $h^* = lab^*h = 305/360 = 0.847$
lab*tch* und *lab*nch
D65: Buntton V
LCH*Ma: 26 54 305
olv*Ma: 0.0 0.0 1.0

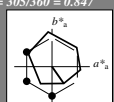

Dreiecks-Helligkeit t^*

%Umfang
u^*_{rel} = 93
%Regularität
$g^*_{H,rel}$ = 57
$g^*_{C,rel}$ = 59

ORS18; adaptierte CIELAB-Daten

	$L^*=L^*_a$	a^*_a	b^*_a	$C^*_{ab,a}$	$h^*_{ab,a}$
O_{Ma}	47.94	65.39	50.52	82.63	38
Y_{Ma}	90.37	−10.26	91.75	92.32	96
L_{Ma}	50.9	−62.83	34.96	71.91	151
C_{Ma}	58.62	−30.34	−45.01	54.3	236
V_{Ma}	25.72	31.1	−44.4	54.22	305
M_{Ma}	48.13	75.28	−8.36	75.74	354
N_{Ma}	18.01	0.0	0.0	0.0	0
W_{Ma}	95.41	0.0	0.0	0.0	0
R_{CIE}	39.92	58.66	26.98	64.57	25
J_{CIE}	81.26	−2.16	67.76	67.79	92
G_{CIE}	52.23	−42.25	11.76	43.87	164
B_{CIE}	30.57	1.15	−46.84	46.86	271

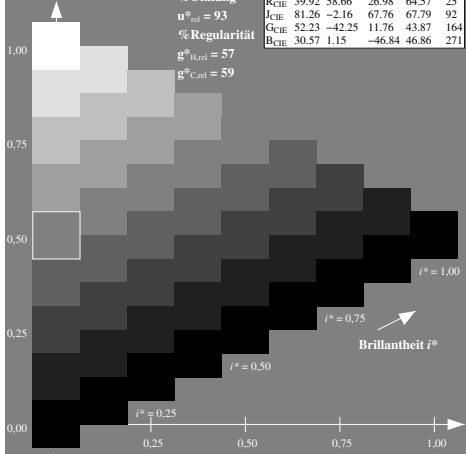

Ausgabe: Farbmetrisches Offset-Reflektiv-System ORS18

für Buntton $h^* = lab^*h = 305/360 = 0.847$
lab*tch* und *lab*nch
D65: Buntton V
LCH*Ma: 26 54 305
olv*Ma: 0.0 0.0 1.0

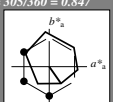

Dreiecks-Helligkeit t^*

%Umfang
u^*_{rel} = 93
%Regularität
$g^*_{H,rel}$ = 57
$g^*_{C,rel}$ = 59

ORS18; adaptierte CIELAB-Daten

	$L^*=L^*_a$	a^*_a	b^*_a	$C^*_{ab,a}$	$h^*_{ab,a}$
R	48.0	68.58	31.54	75.48	25
R25J	50.11	61.52	52.63	80.96	41
R50J	62.87	38.77	65.02	75.71	59
R75J	74.87	17.37	76.69	78.63	77
J	86.19	−2.8	87.69	87.73	92
J25G	84.01	−18.73	82.6	84.7	103
J50G	71.17	−35.83	64.13	73.46	119
J75G	56.99	−54.71	43.72	70.05	141
G	52.8	−54.82	15.26	56.92	164
G25B	54.69	−46.87	−4.31	47.08	185
G50B	57.25	−36.1	−30.82	47.48	220
G75B	49.61	−13.51	−44.85	46.85	253
B	41.78	1.1	−44.7	44.72	271
B25R	29.34	24.33	−44.47	50.7	299
B50R	40.78	60.78	−20.18	64.05	342
B75R	48.06	71.56	13.77	72.87	11

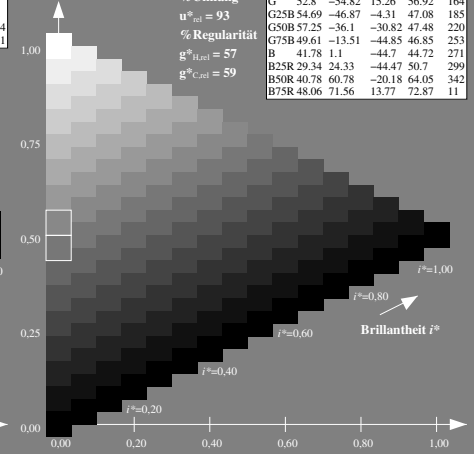

ZG620−7N, 9stufige Reihen für konstanten CIELAB Buntton 305/360 = 0.847 (links) Seite 25/60 ZG620−7N, 16stufige Reihen für konstanten CIELAB Buntton 305/360 = 0.847 (rechts) c n

Siehe ähnliche Dateien: http://www.ps.bam.de/ZG62/; www.ps.bam.de/ZG.HTM
Technische Information: http://www.ps.bam.de Version 2.1, io=1.1

BAM-Registrierung: 20071001-ZG62/L62G00N1.PS/.TXT
Anwendung für Beurteilung und Messung von Drucker- oder Monitorsystemen
BAM-Material: Code=ha4ta

Eingabe: Farbmetrisches Offset-Reflektiv-System ORS18

für Buntton $h^* = lab^*h = 354/360 = 0.982$
lab*tch* und *lab*nch
D65: Buntton M
LCH*Ma: 48 76 354
olv*Ma: 1.0 0.0 1.0

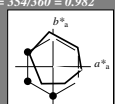

ORS18; adaptierte CIELAB-Daten

	$L^*=L^*_a$	a^*_a	b^*_a	$C^*_{ab,a}$	$h^*_{ab,a}$
O_{Ma}	47.94	65.39	50.52	82.63	38
Y_{Ma}	90.37	−10.26	91.75	92.32	96
L_{Ma}	50.9	−62.83	34.96	71.91	151
C_{Ma}	58.62	−30.34	−45.01	54.3	236
V_{Ma}	25.72	31.1	−44.4	54.22	305
M_{Ma}	48.13	75.28	−8.36	75.74	354
N_{Ma}	18.01	0.0	0.0	0.0	0
W_{Ma}	95.41	0.0	0.0	0.0	0
R_{CIE}	39.92	58.66	26.98	64.57	25
J_{CIE}	81.26	−2.16	67.76	67.79	92
G_{CIE}	52.23	−42.25	11.76	43.87	164
B_{CIE}	30.57	1.15	−46.84	46.86	271

Dreiecks-Helligkeit *t**

%Umfang
u^*_{rel} = 93
%Regularität
$g^*_{H,rel}$ = 57
$g^*_{C,rel}$ = 59

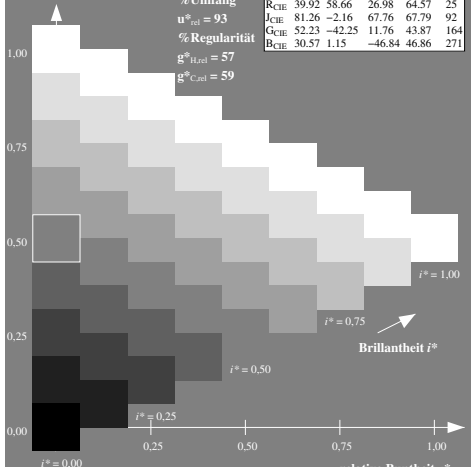

Ausgabe: Farbmetrisches Offset-Reflektiv-System ORS18

für Buntton $h^* = lab^*h = 354/360 = 0.982$
lab*tch* und *lab*nch
D65: Buntton M
LCH*Ma: 48 76 354
olv*Ma: 1.0 0.0 1.0

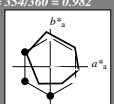

ORS18; adaptierte CIELAB-Daten

	$L^*=L^*_a$	a^*_a	b^*_a	$C^*_{ab,a}$	$h^*_{ab,a}$
R	48.0	68.58	31.54	75.48	25
R25J	50.11	61.52	52.63	80.96	41
R50J	62.87	38.77	65.02	75.71	59
R75J	74.87	17.37	76.69	78.63	77
J	86.19	−2.8	87.69	87.73	92
J25G	84.01	−18.73	82.6	84.7	103
J50G	71.17	−35.83	64.13	73.46	119
J75G	56.99	−54.71	43.72	70.05	141
G	52.8	−54.82	15.26	56.92	164
G25B	54.69	−46.87	−4.31	47.08	185
G50B	57.25	−36.1	−30.82	47.48	220
G75B	49.61	−13.51	−44.85	46.85	253
B	41.78	1.1	−44.7	44.72	271
B25R	29.34	24.33	−44.47	50.7	299
B50R	40.78	60.78	−20.18	64.05	342
B75R	48.06	71.56	13.77	72.87	11

Dreiecks-Helligkeit *t**

%Umfang
u^*_{rel} = 93
%Regularität
$g^*_{H,rel}$ = 57
$g^*_{C,rel}$ = 59

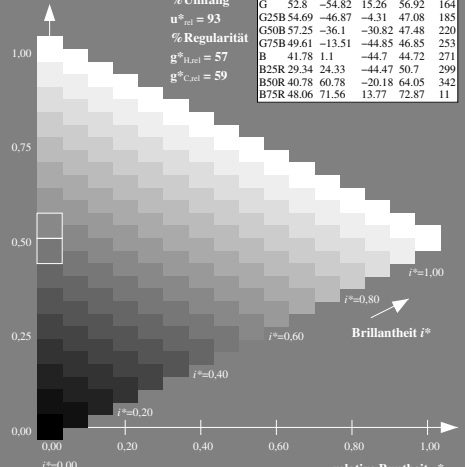

Siehe ähnliche Dateien: http://www.ps.bam.de/ZG62/; www.ps.bam.de/ZG.HTM
Technische Information: http://www.ps.bam.de Version 2.1, io=1.1

BAM-Registrierung: 20071001-ZG62/L62G00N1.PS/.TXT
Anwendung für Beurteilung und Messung von Drucker- oder Monitorsystemen
BAM-Material: Code=rhaata

Eingabe: Farbmetrisches Offset-Reflektiv-System ORS18

für Buntton $h^* = lab^*h = 25/360 = 0.069$
lab*tch* und *lab*nch
D65: Buntton R
LCH*Ma: 48 75 25
olv*Ma: 1.0 0.0 0.32

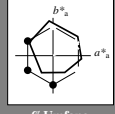

ORS18; adaptierte CIELAB-Daten

	$L^*=L^*_a$	a^*_a	b^*_a	$C^*_{ab,a}$	$h^*_{ab,a}$
O_{Ma}	47.94	65.39	50.52	82.63	38
Y_{Ma}	90.37	−10.26	91.75	92.32	96
L_{Ma}	50.9	−62.83	34.96	71.91	151
C_{Ma}	58.62	−30.34	−45.01	54.3	236
V_{Ma}	25.72	31.1	−44.4	54.22	305
M_{Ma}	48.13	75.28	−8.36	75.74	354
N_{Ma}	18.01	0.0	0.0	0.0	0
W_{Ma}	95.41	0.0	0.0	0.0	0
R_{CIE}	39.92	58.66	26.98	64.57	25
J_{CIE}	81.26	−2.16	67.76	67.79	92
G_{CIE}	52.23	−42.25	11.76	43.87	164
B_{CIE}	30.57	1.15	−46.84	46.86	271

Dreiecks-Helligkeit *t**

%Umfang
u^*_{rel} = 93
%Regularität
$g^*_{H,rel}$ = 57
$g^*_{C,rel}$ = 59

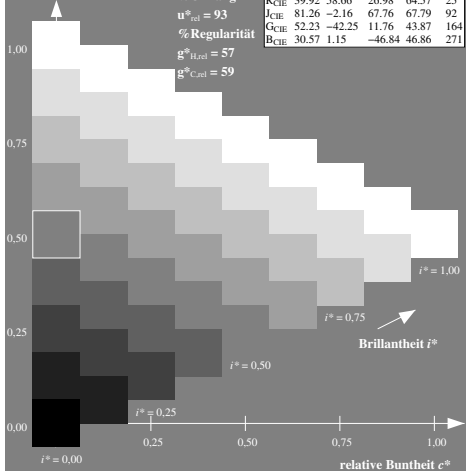

Ausgabe: Farbmetrisches Offset-Reflektiv-System ORS18

für Buntton $h^* = lab^*h = 25/360 = 0.069$
lab*tch* und *lab*nch
D65: Buntton R
LCH*Ma: 48 75 25
olv*Ma: 1.0 0.0 0.32

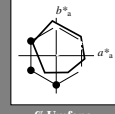

ORS18; adaptierte CIELAB-Daten

	$L^*=L^*_a$	a^*_a	b^*_a	$C^*_{ab,a}$	$h^*_{ab,a}$
R	48.0	68.58	31.54	75.48	25
R25J	50.11	61.52	52.63	80.96	41
R50J	62.87	38.77	65.02	75.71	59
R75J	74.87	17.37	76.69	78.63	77
J	86.19	−2.8	87.69	87.73	92
J25G	84.01	−18.73	82.6	84.7	103
J50G	71.17	−35.83	64.13	73.46	119
J75G	56.99	−54.71	43.72	70.05	141
G	52.8	−54.82	15.26	56.92	164
G25B	54.69	−46.87	−4.31	47.08	185
G50B	57.25	−36.1	−30.82	47.48	220
G75B	49.61	−13.51	−44.85	46.85	253
B	41.78	1.1	−44.7	44.72	271
B25R	29.34	24.33	−44.47	50.7	299
B50R	40.78	60.78	−20.18	64.05	342
B75R	48.06	71.56	13.77	72.87	11

Dreiecks-Helligkeit *t**

%Umfang
u^*_{rel} = 93
%Regularität
$g^*_{H,rel}$ = 57
$g^*_{C,rel}$ = 59

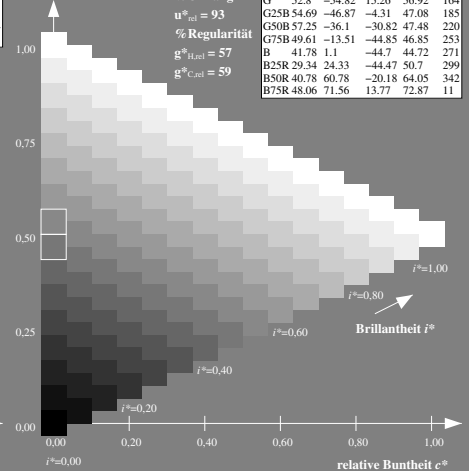

ZG620−7N, 9stufige Reihen für konstanten CIELAB Buntton 25/360 = 0.069 (links) Seite 27/60 ZG620−7N, 16stufige Reihen für konstanten CIELAB Buntton 25/360 = 0.069 (rechts) c n

Siehe ähnliche Dateien: http://www.ps.bam.de/ZG62/; www.ps.bam.de/ZG.HTM
Technische Information: http://www.ps.bam.de Version 2.1, io=1.1

BAM-Registrierung: 20071001-ZG62/L62G00N1.PS/.TXT
Anwendung für Beurteilung und Messung von Drucker- oder Monitorsystemen
BAM-Material: Code=rhaata

Eingabe: Farbmetrisches Offset-Reflektiv-System ORS18

für Buntton $h^* = lab^*h = 92/360 = 0.255$
lab*tch* und *lab*nch
D65: Buntton J
LCH*Ma: 86 88 92
olv*Ma: 1.0 0.9 0.0

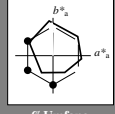

ORS18; adaptierte CIELAB-Daten

	$L^*=L^*_a$	a^*_a	b^*_a	$C^*_{ab,a}$	$h^*_{ab,a}$
O_{Ma}	47.94	65.39	50.52	82.63	38
Y_{Ma}	90.37	−10.26	91.75	92.32	96
L_{Ma}	50.9	−62.83	34.96	71.91	151
C_{Ma}	58.62	−30.34	−45.01	54.3	236
V_{Ma}	25.72	31.1	−44.4	54.22	305
M_{Ma}	48.13	75.28	−8.36	75.74	354
N_{Ma}	18.01	0.0	0.0	0.0	0
W_{Ma}	95.41	0.0	0.0	0.0	0
R_{CIE}	39.92	58.66	26.98	64.57	25
J_{CIE}	81.26	−2.16	67.76	67.79	92
G_{CIE}	52.23	−42.25	11.76	43.87	164
B_{CIE}	30.57	1.15	−46.84	46.86	271

Dreiecks-Helligkeit *t**

%Umfang
u^*_{rel} = 93
%Regularität
$g^*_{H,rel}$ = 57
$g^*_{C,rel}$ = 59

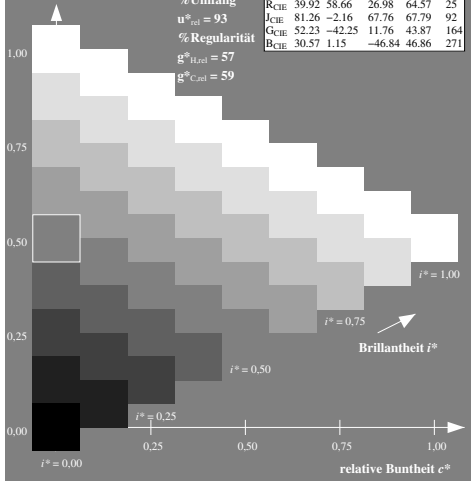

Ausgabe: Farbmetrisches Offset-Reflektiv-System ORS18

für Buntton $h^* = lab^*h = 92/360 = 0.255$
lab*tch* und *lab*nch
D65: Buntton J
LCH*Ma: 86 88 92
olv*Ma: 1.0 0.9 0.0

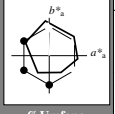

ORS18; adaptierte CIELAB-Daten

	$L^*=L^*_a$	a^*_a	b^*_a	$C^*_{ab,a}$	$h^*_{ab,a}$
R	48.0	68.58	31.54	75.48	25
R25J	50.11	61.52	52.63	80.96	41
R50J	62.87	38.77	65.02	75.71	59
R75J	74.87	17.37	76.69	78.63	77
J	86.19	−2.8	87.69	87.73	92
J25G	84.01	−18.73	82.6	84.7	103
J50G	71.17	−35.83	64.13	73.46	119
J75G	56.99	−54.71	43.72	70.05	141
G	52.8	−54.82	15.26	56.92	164
G25B	54.69	−46.87	−4.31	47.08	185
G50B	57.25	−36.1	−30.82	47.48	220
G75B	49.61	−13.51	−44.85	46.85	253
B	41.78	1.1	−44.7	44.72	271
B25R	29.34	24.33	−44.47	50.7	299
B50R	40.78	60.78	−20.18	64.05	342
B75R	48.06	71.56	13.77	72.87	11

Dreiecks-Helligkeit *t**

%Umfang
u^*_{rel} = 93
%Regularität
$g^*_{H,rel}$ = 57
$g^*_{C,rel}$ = 59

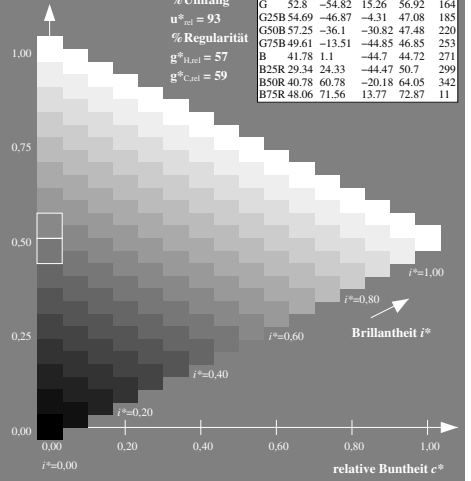

ZG620−7N, 9stufige Reihen für konstanten CIELAB Buntton 92/360 = 0.255 (links) Seite 28/60 ZG620−7N, 16stufige Reihen für konstanten CIELAB Buntton 92/360 = 0.255 (rechts) c n

BAM-Registrierung: 20071001-ZG62/L62G00N1.PS/.TXT
Anwendung für Beurteilung und Messung von Drucker- oder Monitorsystemen
BAM-Material: Code=rhäata

Siehe ähnliche Dateien: http://www.ps.bam.de/ZG62/; www.ps.bam.de/ZG.HTM
Technische Information: http://www.ps.bam.de Version 2.1, io=1.1

Eingabe: Farbmetrisches Offset-Reflektiv-System ORS18

für Buntton $h^* = lab^*h = 164/360 = 0.457$

lab*tch* und *lab*nch

D65: Buntton G

LCH*Ma: 53 57 164

olv*Ma: 0.0 1.0 0.25

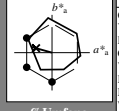

ORS18; adaptierte CIELAB-Daten

	$L^*=L^*_a$	a^*_a	b^*_a	$C^*_{ab,a}$	$h^*_{ab,a}$
O_{Ma}	47.94	65.39	50.52	82.63	38
Y_{Ma}	90.37	−10.26	91.75	92.32	96
L_{Ma}	50.9	−62.83	34.96	71.91	151
C_{Ma}	58.62	−30.34	−45.01	54.3	236
V_{Ma}	25.72	31.1	−44.4	54.22	305
M_{Ma}	48.13	75.28	−8.36	75.74	354
N_{Ma}	18.01	0.0	0.0	0.0	0
W_{Ma}	95.41	0.0	0.0	0.0	0
R_{CIE}	39.92	58.66	26.98	64.57	25
J_{CIE}	81.26	−2.16	67.76	67.79	92
G_{CIE}	52.23	−42.25	11.76	43.87	164
B_{CIE}	30.57	1.15	−46.84	46.86	271

Dreiecks-Helligkeit *t**

%Umfang

u^*_{rel} = 93

%Regularität

$g^*_{H,rel}$ = 57

$g^*_{C,rel}$ = 59

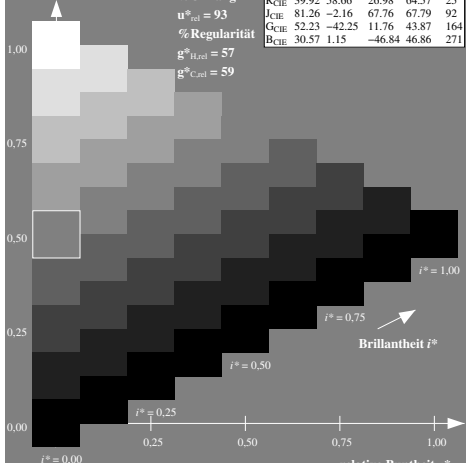

Ausgabe: Farbmetrisches Offset-Reflektiv-System ORS18

für Buntton $h^* = lab^*h = 164/360 = 0.457$

lab*tch* und *lab*nch

D65: Buntton G

LCH*Ma: 53 57 164

olv*Ma: 0.0 1.0 0.25

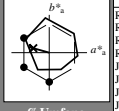

ORS18; adaptierte CIELAB-Daten

	$L^*=L^*_a$	a^*_a	b^*_a	$C^*_{ab,a}$	$h^*_{ab,a}$
R	48.0	68.58	31.54	75.48	25
R25J	50.11	61.52	52.63	80.96	41
R50J	62.87	38.77	65.02	75.71	59
R75J	74.87	17.37	76.69	78.63	77
J	86.19	−2.8	87.69	87.73	92
J25G	84.01	−18.73	82.6	84.7	103
J50G	71.17	−35.83	64.13	73.46	119
J75G	56.99	−54.71	43.72	70.05	141
G	52.8	−54.82	15.26	56.92	164
G25B	54.69	−46.87	−4.31	47.08	185
G50B	57.25	−36.1	−30.82	47.48	220
G75B	49.61	−13.51	−44.85	46.85	253
B	41.78	1.1	−44.7	44.72	271
B25R	29.34	24.33	−44.47	50.7	299
B50R	40.78	60.78	−20.18	64.05	342
B75R	48.06	71.56	13.77	72.87	11

Dreiecks-Helligkeit *t**

%Umfang

u^*_{rel} = 93

%Regularität

$g^*_{H,rel}$ = 57

$g^*_{C,rel}$ = 59

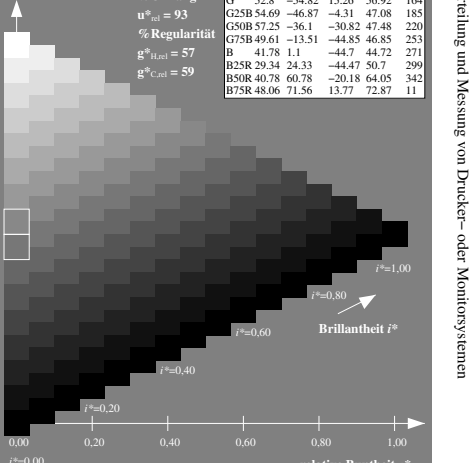

ZG620−7N, 9stufige Reihen für konstanten CIELAB Buntton 164/360 = 0.457 (links) Seite 29/60 ZG620−7N, 16stufige Reihen für konstanten CIELAB Buntton 164/360 = 0.457 (rechts) c n

Siehe ähnliche Dateien: http://www.ps.bam.de/ZG62/; www.ps.bam.de/ZG.HTM
Technische Information: http://www.ps.bam.de Version 2.1, io=1.1

BAM-Registrierung: 20071001-ZG62/L62G00N1.PS/.TXT
Anwendung für Beurteilung und Messung von Drucker- oder Monitorsystemen
BAM-Material: Code=rhäata

Eingabe: Farbmetrisches Offset-Reflektiv-System ORS18

für Buntton $h^* = lab^*h = 271/360 = 0.754$

lab*tch* und *lab*nch

D65: Buntton B

LCH*Ma: 42 45 271

olv*Ma: 0.0 0.49 1.0

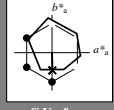

ORS18; adaptierte CIELAB-Daten

	$L^*=L^*_a$	a^*_a	b^*_a	$C^*_{ab,a}$	$h^*_{ab,a}$
O_{Ma}	47.94	65.39	50.52	82.63	38
Y_{Ma}	90.37	−10.26	91.75	92.32	96
L_{Ma}	50.9	−62.83	34.96	71.91	151
C_{Ma}	58.62	−30.34	−45.01	54.3	236
V_{Ma}	25.72	31.1	−44.4	54.22	305
M_{Ma}	48.13	75.28	−8.36	75.74	354
N_{Ma}	18.01	0.0	0.0	0.0	0
W_{Ma}	95.41	0.0	0.0	0.0	0
R_{CIE}	39.92	58.66	26.98	64.57	25
J_{CIE}	81.26	−2.16	67.76	67.79	92
G_{CIE}	52.23	−42.25	11.76	43.87	164
B_{CIE}	30.57	1.15	−46.84	46.86	271

Dreiecks-Helligkeit *t**

%Umfang

u^*_{rel} = 93

%Regularität

$g^*_{H,rel}$ = 57

$g^*_{C,rel}$ = 59

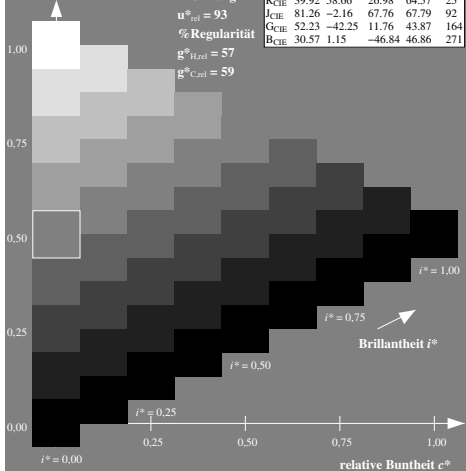

Ausgabe: Farbmetrisches Offset-Reflektiv-System ORS18

für Buntton $h^* = lab^*h = 271/360 = 0.754$

lab*tch* und *lab*nch

D65: Buntton B

LCH*Ma: 42 45 271

olv*Ma: 0.0 0.49 1.0

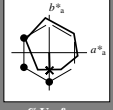

ORS18; adaptierte CIELAB-Daten

	$L^*=L^*_a$	a^*_a	b^*_a	$C^*_{ab,a}$	$h^*_{ab,a}$
R	48.0	68.58	31.54	75.48	25
R25J	50.11	61.52	52.63	80.96	41
R50J	62.87	38.77	65.02	75.71	59
R75J	74.87	17.37	76.69	78.63	77
J	86.19	−2.8	87.69	87.73	92
J25G	84.01	−18.73	82.6	84.7	103
J50G	71.17	−35.83	64.13	73.46	119
J75G	56.99	−54.71	43.72	70.05	141
G	52.8	−54.82	15.26	56.92	164
G25B	54.69	−46.87	−4.31	47.08	185
G50B	57.25	−36.1	−30.82	47.48	220
G75B	49.61	−13.51	−44.85	46.85	253
B	41.78	1.1	−44.7	44.72	271
B25R	29.34	24.33	−44.47	50.7	299
B50R	40.78	60.78	−20.18	64.05	342
B75R	48.06	71.56	13.77	72.87	11

Dreiecks-Helligkeit *t**

%Umfang

u^*_{rel} = 93

%Regularität

$g^*_{H,rel}$ = 57

$g^*_{C,rel}$ = 59

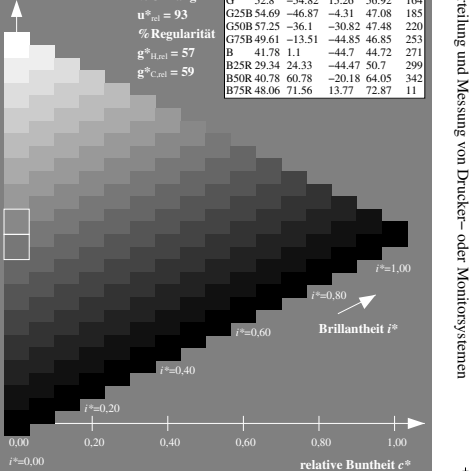

ZG620−7N, 9stufige Reihen für konstanten CIELAB Buntton 271/360 = 0.754 (links) Seite 30/60 ZG620−7N, 16stufige Reihen für konstanten CIELAB Buntton 271/360 = 0.754 (rechts) c n

BAM-Prüfvorlage ZG62; Farbmetrik-Systeme, Seite 30/60 Eingabe: *rgb / cmy0 set(rgb/cmyk)color*
D65: 9 und 16stufige Farbreihen für 10 Bunttöne Ausgabe: *−>cmy0* setcmykcolor*

Siehe ähnliche Dateien: http://www.ps.bam.de/ZG62/; www.ps.bam.de/ZG.HTM
Technische Information: http://www.ps.bam.de Version 2.1, io=1.1

BAM-Registrierung: 20071001-ZG62/L62G00N1.PS/.TXT
Anwendung für Beurteilung und Messung von Drucker- oder Monitorsystemen
BAM-Material: Code=rhäata

Eingabe: Farbmetrisches Offset-Reflektiv-System ORS18

für Buntton $h^* = lab^*h = 38/360 = 0.105$
lab*tch* und *lab*nch
D65: Buntton O
LCH*Ma: 48 83 38
olv*Ma: 1.0 0.0 0.0

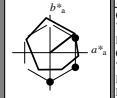

ORS18; adaptierte CIELAB-Daten

	$L^*=L^*_a$	a^*_a	b^*_a	$C^*_{ab,a}$	$h^*_{ab,a}$
O_{Ma}	47.94	65.39	50.52	82.63	38
Y_{Ma}	90.37	−10.26	91.75	92.32	96
L_{Ma}	50.9	−62.83	34.96	71.91	151
C_{Ma}	58.62	−30.34	−45.01	54.3	236
V_{Ma}	25.72	31.1	−44.4	54.22	305
M_{Ma}	48.13	75.28	−8.36	75.74	354
N_{Ma}	18.01	0.0	0.0	0.0	0
W_{Ma}	95.41	0.0	0.0	0.0	0
R_{CIE}	39.92	58.66	26.98	64.57	25
J_{CIE}	81.26	−2.16	67.76	67.79	92
G_{CIE}	52.23	−42.25	11.76	43.87	164
B_{CIE}	30.57	1.15	−46.84	46.86	271

Dreiecks-Helligkeit *t**

%Umfang
u^*_{rel} = 93
%Regularität
$g^*_{H,rel}$ = 57
$g^*_{C,rel}$ = 59

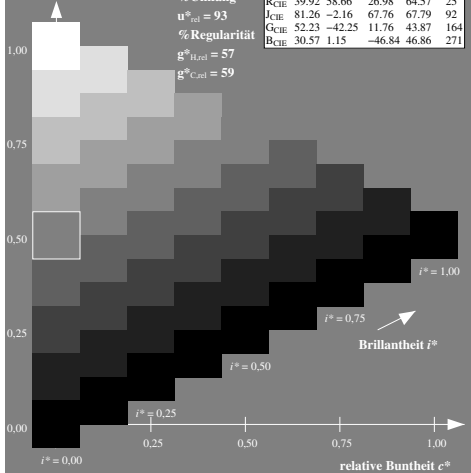

Ausgabe: Farbmetrisches Offset-Reflektiv-System ORS18

für Buntton $h^* = lab^*h = 38/360 = 0.105$
lab*tch* und *lab*nch
D65: Buntton O
LCH*Ma: 48 83 38
olv*Ma: 1.0 0.0 0.0

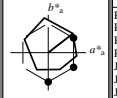

ORS18; adaptierte CIELAB-Daten

	$L^*=L^*_a$	a^*_a	b^*_a	$C^*_{ab,a}$	$h^*_{ab,a}$
R	48.0	68.58	31.54	75.48	25
R25J	50.11	61.52	52.63	80.96	41
R50J	62.87	38.77	65.02	75.71	59
R75J	74.87	17.37	76.69	78.63	77
J	86.19	−2.8	87.69	87.73	92
J25G	84.01	−18.73	82.6	84.7	103
J50G	71.17	−35.83	64.13	73.46	119
J75G	56.99	−54.71	43.72	70.05	141
G	52.8	−54.82	15.26	56.92	164
G25B	54.69	−46.87	−4.31	47.08	185
G50B	57.25	−36.1	−30.82	47.48	220
G75B	49.61	−13.51	−44.85	46.85	253
B	41.78	1.1	−44.7	44.72	271
B25R	29.34	24.33	−44.47	50.7	299
B50R	40.78	60.78	−20.18	64.05	342
B75R	48.06	71.56	13.77	72.87	11

Dreiecks-Helligkeit *t**

%Umfang
u^*_{rel} = 93
%Regularität
$g^*_{H,rel}$ = 57
$g^*_{C,rel}$ = 59

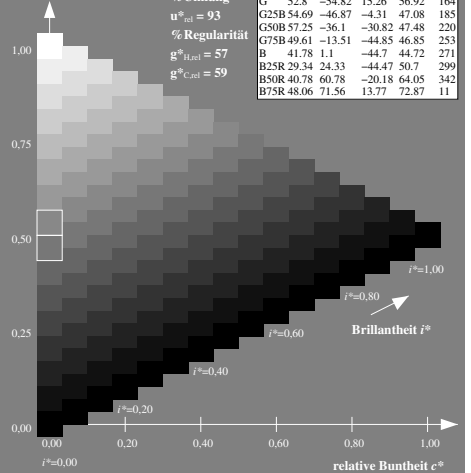

ZG620−7N, 9stufige Reihen für konstanten CIELAB Buntton 38/360 = 0.105 (links) Seite 31/60 ZG620−7N, 16stufige Reihen für konstanten CIELAB Buntton 38/360 = 0.105 (rechts) m n

Siehe ähnliche Dateien: http://www.ps.bam.de/ZG62/; www.ps.bam.de/ZG.HTM
Technische Information: http://www.ps.bam.de Version 2.1, io=1.1

BAM-Registrierung: 20071001-ZG62/L62G00N1.PS/.TXT
Anwendung für Beurteilung und Messung von Drucker- oder Monitorsystemen
BAM-Material: Code=rhasta

Eingabe: Farbmetrisches Offset-Reflektiv-System ORS18

für Buntton $h^* = lab^*h = 96/360 = 0.268$

lab*tch* und *lab*nch

D65: Buntton Y

LCH*Ma: 90 92 96

olv*Ma: 1.0 1.0 0.0

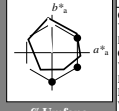

ORS18; adaptierte CIELAB-Daten

	$L^*=L^*_a$	a^*_a	b^*_a	$C^*_{ab,a}$	$h^*_{ab,a}$
O_{Ma}	47.94	65.39	50.52	82.63	38
Y_{Ma}	90.37	−10.26	91.75	92.32	96
L_{Ma}	50.9	−62.83	34.96	71.91	151
C_{Ma}	58.62	−30.34	−45.01	54.3	236
V_{Ma}	25.72	31.1	−44.4	54.22	305
M_{Ma}	48.13	75.28	−8.36	75.74	354
N_{Ma}	18.01	0.0	0.0	0.0	0
W_{Ma}	95.41	0.0	0.0	0.0	0
R_{CIE}	39.92	58.66	26.98	64.57	25
J_{CIE}	81.26	−2.16	67.76	67.79	92
G_{CIE}	52.23	−42.25	11.76	43.87	164
B_{CIE}	30.57	1.15	−46.84	46.86	271

Dreiecks-Helligkeit *t**

%Umfang

u^*_{rel} = 93

%Regularität

$g^*_{H,rel}$ = 57

$g^*_{C,rel}$ = 59

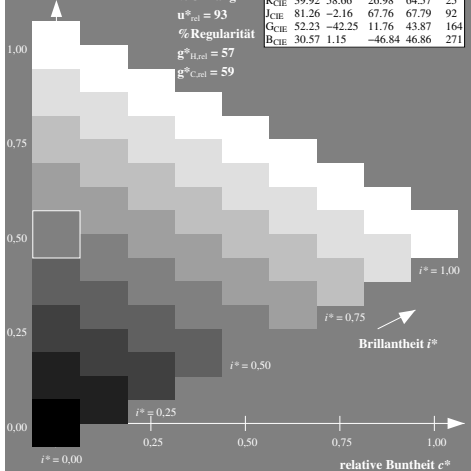

Ausgabe: Farbmetrisches Offset-Reflektiv-System ORS18

für Buntton $h^* = lab^*h = 96/360 = 0.268$

lab*tch* und *lab*nch

D65: Buntton Y

LCH*Ma: 90 92 96

olv*Ma: 1.0 1.0 0.0

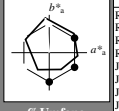

ORS18; adaptierte CIELAB-Daten

	$L^*=L^*_a$	a^*_a	b^*_a	$C^*_{ab,a}$	$h^*_{ab,a}$
R	48.0	68.58	31.54	75.48	25
R25J	50.11	61.52	52.63	80.96	41
R50J	62.87	38.77	65.02	75.71	59
R75J	74.87	17.37	76.69	78.63	77
J	86.19	−2.8	87.69	87.73	92
J25G	84.01	−18.73	82.6	84.7	103
J50G	71.17	−35.83	64.13	73.46	119
J75G	56.99	−54.71	43.72	70.05	141
G	52.8	−54.82	15.26	56.92	164
G25B	54.69	−46.87	−4.31	47.08	185
G50B	57.25	−36.1	−30.82	47.48	220
G75B	49.61	−13.51	−44.85	46.85	253
B	41.78	1.1	−44.7	44.72	271
B25R	29.34	24.33	−44.47	50.7	299
B50R	40.78	60.78	−20.18	64.05	342
B75R	48.06	71.56	13.77	72.87	11

Dreiecks-Helligkeit *t**

%Umfang

u^*_{rel} = 93

%Regularität

$g^*_{H,rel}$ = 57

$g^*_{C,rel}$ = 59

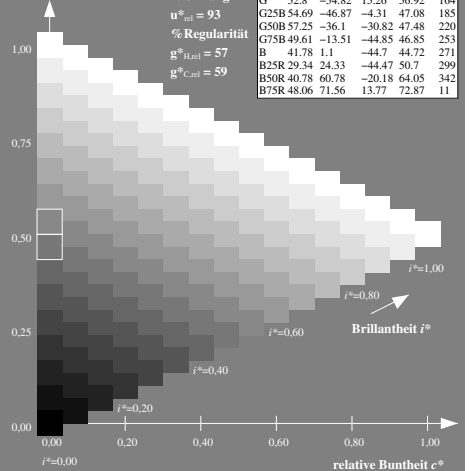

ZG620−7N, 9stufige Reihen für konstanten CIELAB Buntton 96/360 = 0.268 (links) Seite 32/60 ZG620−7N, 16stufige Reihen für konstanten CIELAB Buntton 96/360 = 0.268 (rechts) m n

Siehe ähnliche Dateien: http://www.ps.bam.de/ZG62/; www.ps.bam.de/ZG.HTM
Technische Information: http://www.ps.bam.de Version 2.1, io=1.1

BAM-Registrierung: 20071001-ZG62/L62G00N1.PS/.TXT
Anwendung für Beurteilung und Messung von Drucker- oder Monitorsystemen
BAM-Material: Code=rhaata

Eingabe: Farbmetrisches Offset-Reflektiv-System ORS18

für Buntton *h* = lab*h = 151/360 = 0.419*
lab*tch* und *lab*nch
D65: Buntton L
LCH*Ma: 51 72 151
olv*Ma: 0.0 1.0 0.0

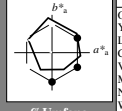

Dreiecks-Helligkeit *t**

%Umfang
u*rel = 93
%Regularität
g*H,rel = 57
g*C,rel = 59

ORS18; adaptierte CIELAB-Daten

	$L^*=L^*_a$	a^*_a	b^*_a	$C^*_{ab,a}$	$h^*_{ab,a}$
O_{Ma}	47.94	65.39	50.52	82.63	38
Y_{Ma}	90.37	−10.26	91.75	92.32	96
L_{Ma}	50.9	−62.83	34.96	71.91	151
C_{Ma}	58.62	−30.34	−45.01	54.3	236
V_{Ma}	25.72	31.1	−44.4	54.22	305
M_{Ma}	48.13	75.28	−8.36	75.74	354
N_{Ma}	18.01	0.0	0.0	0.0	0
W_{Ma}	95.41	0.0	0.0	0.0	0
R_{CIE}	39.92	58.66	26.98	64.57	25
J_{CIE}	81.26	−2.16	67.76	67.79	92
G_{CIE}	52.23	−42.25	11.76	43.87	164
B_{CIE}	30.57	1.15	−46.84	46.86	271

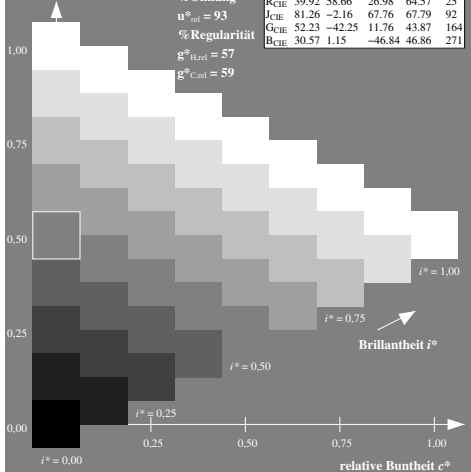

Ausgabe: Farbmetrisches Offset-Reflektiv-System ORS18

für Buntton *h* = lab*h = 151/360 = 0.419*
lab*tch* und *lab*nch
D65: Buntton L
LCH*Ma: 51 72 151
olv*Ma: 0.0 1.0 0.0

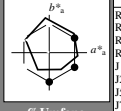

Dreiecks-Helligkeit *t**

%Umfang
u*rel = 93
%Regularität
g*H,rel = 57
g*C,rel = 59

ORS18; adaptierte CIELAB-Daten

	$L^*=L^*_a$	a^*_a	b^*_a	$C^*_{ab,a}$	$h^*_{ab,a}$
R	48.0	68.58	31.54	75.48	25
R25J	50.11	61.52	52.63	80.96	41
R50J	62.87	38.77	65.02	75.71	59
R75J	74.87	17.37	76.69	78.63	77
J	86.19	−2.8	87.69	87.73	92
J25G	84.01	−18.73	82.6	84.7	103
J50G	71.17	−35.83	64.13	73.46	119
J75G	56.99	−54.71	43.72	70.05	141
G	52.8	−54.82	15.26	56.92	164
G25B	54.69	−46.87	−4.31	47.08	185
G50B	57.25	−36.1	−30.82	47.48	220
G75B	49.61	−13.51	−44.85	46.85	253
B	41.78	1.1	−44.7	44.72	271
B25R	29.34	24.33	−44.47	50.7	299
B50R	40.78	60.78	−20.18	64.05	342
B75R	48.06	71.56	13.77	72.87	11

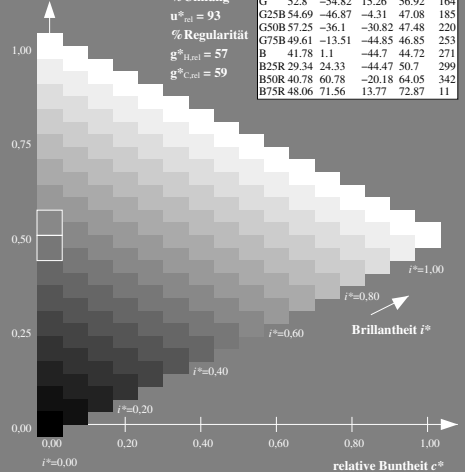

Siehe ähnliche Dateien: http://www.ps.bam.de/ZG62/; www.ps.bam.de/ZG.HTM
Technische Information: http://www.ps.bam.de Version 2.1, io=1.1

BAM-Registrierung: 20071001-ZG62/L62G00N1.PS/.TXT
Anwendung für Beurteilung und Messung von Drucker- oder Monitorsystemen
BAM-Material: Code=rhaata

Eingabe: Farbmetrisches Offset-Reflektiv-System ORS18

für Buntton $h^* = lab^*h = 236/360 = 0.656$
lab*tch* und *lab*nch
D65: Buntton C
LCH*Ma: 59 54 236
olv*Ma: 0.0 1.0 1.0

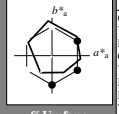

ORS18; adaptierte CIELAB-Daten

	$L^*=L^*_a$	a^*_a	b^*_a	$C^*_{ab,a}$	$h^*_{ab,a}$
O_{Ma}	47.94	65.39	50.52	82.63	38
Y_{Ma}	90.37	−10.26	91.75	92.32	96
L_{Ma}	50.9	−62.83	34.96	71.91	151
C_{Ma}	58.62	−30.34	−45.01	54.3	236
V_{Ma}	25.72	31.1	−44.4	54.22	305
M_{Ma}	48.13	75.28	−8.36	75.74	354
N_{Ma}	18.01	0.0	0.0	0.0	0
W_{Ma}	95.41	0.0	0.0	0.0	0
R_{CIE}	39.92	58.66	26.98	64.57	25
J_{CIE}	81.26	−2.16	67.76	67.79	92
G_{CIE}	52.23	−42.25	11.76	43.87	164
B_{CIE}	30.57	1.15	−46.84	46.86	271

Dreiecks-Helligkeit *t

%Umfang
u^*_{rel} = 93
%Regularität
$g^*_{H,rel}$ = 57
$g^*_{C,rel}$ = 59

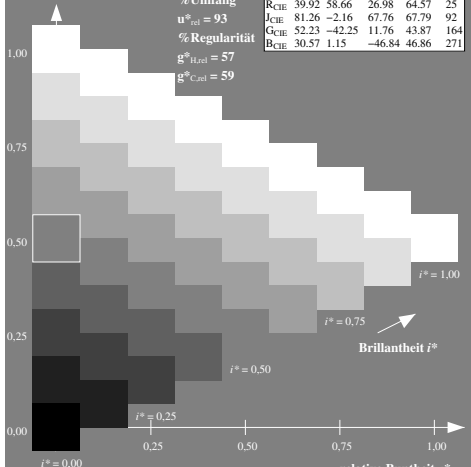

Ausgabe: Farbmetrisches Offset-Reflektiv-System ORS18

für Buntton $h^* = lab^*h = 236/360 = 0.656$
lab*tch* und *lab*nch
D65: Buntton C
LCH*Ma: 59 54 236
olv*Ma: 0.0 1.0 1.0

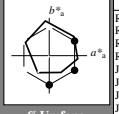

ORS18; adaptierte CIELAB-Daten

	$L^*=L^*_a$	a^*_a	b^*_a	$C^*_{ab,a}$	$h^*_{ab,a}$
R	48.0	68.58	31.54	75.48	25
R25J	50.11	61.52	52.63	80.96	41
R50J	62.87	38.77	65.02	75.71	59
R75J	74.87	17.37	76.69	78.63	77
J	86.19	−2.8	87.69	87.73	92
J25G	84.01	−18.73	82.6	84.7	103
J50G	71.17	−35.83	64.13	73.46	119
J75G	56.99	−54.71	43.72	70.05	141
G	52.8	−54.82	15.26	56.92	164
G25B	54.69	−46.87	−4.31	47.08	185
G50B	57.25	−36.1	−30.82	47.48	220
G75B	49.61	−13.51	−44.85	46.85	253
B	41.78	1.1	−44.7	44.72	271
B25R	29.34	24.33	−44.47	50.7	299
B50R	40.78	60.78	−20.18	64.05	342
B75R	48.06	71.56	13.77	72.87	11

Dreiecks-Helligkeit *t

%Umfang
u^*_{rel} = 93
%Regularität
$g^*_{H,rel}$ = 57
$g^*_{C,rel}$ = 59

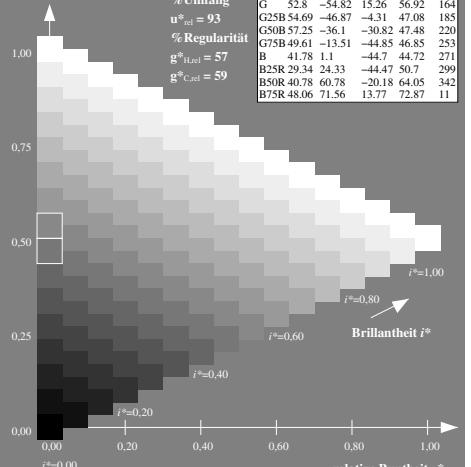

ZG620−7N, 9stufige Reihen für konstanten CIELAB Buntton 236/360 = 0.656 (links) Seite 34/60 ZG620−7N, 16stufige Reihen für konstanten CIELAB Buntton 236/360 = 0.656 (rechts) m n

Siehe ähnliche Dateien: http://www.ps.bam.de/ZG62/; www.ps.bam.de/ZG.HTM
Technische Information: http://www.ps.bam.de Version 2.1, io=1.1

BAM-Registrierung: 20071001-ZG62/L62G00N1.PS/.TXT
Anwendung für Beurteilung und Messung von Drucker- oder Monitorsystemen
BAM-Material: Code=rhasta

Eingabe: Farbmetrisches Offset-Reflektiv-System ORS18

für Buntton $h^* = lab^*h = 305/360 = 0.847$
lab*tch* und *lab*nch
D65: Buntton V
LCH*Ma: 26 54 305
olv*Ma: 0.0 0.0 1.0

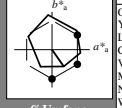

Dreiecks-Helligkeit *t

%Umfang
u^*_{rel} = 93
%Regularität
$g^*_{H,rel}$ = 57
$g^*_{C,rel}$ = 59

ORS18; adaptierte CIELAB-Daten	$L^*=L^*_a$	a^*_a	b^*_a	$C^*_{ab,a}$	$h^*_{ab,a}$
O_{Ma}	47.94	65.39	50.52	82.63	38
Y_{Ma}	90.37	−10.26	91.75	92.32	96
L_{Ma}	50.9	−62.83	34.96	71.91	151
C_{Ma}	58.62	−30.34	−45.01	54.3	236
V_{Ma}	25.72	31.1	−44.4	54.22	305
M_{Ma}	48.13	75.28	−8.36	75.74	354
N_{Ma}	18.01	0.0	0.0	0.0	0
W_{Ma}	95.41	0.0	0.0	0.0	0
R_{CIE}	39.92	58.66	26.98	64.57	25
J_{CIE}	81.26	−2.16	67.76	67.79	92
G_{CIE}	52.23	−42.25	11.76	43.87	164
B_{CIE}	30.57	1.15	−46.84	46.86	271

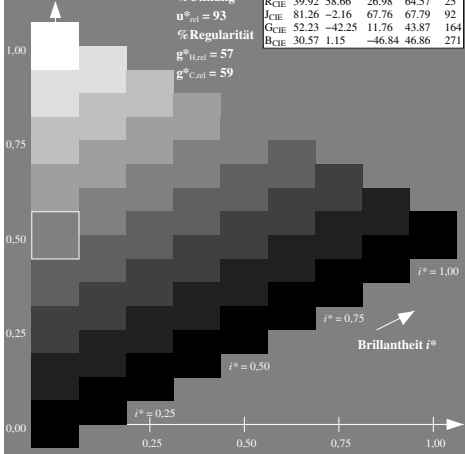

Ausgabe: Farbmetrisches Offset-Reflektiv-System ORS18

für Buntton $h^* = lab^*h = 305/360 = 0.847$
lab*tch* und *lab*nch
D65: Buntton V
LCH*Ma: 26 54 305
olv*Ma: 0.0 0.0 1.0

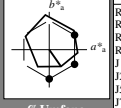

Dreiecks-Helligkeit *t

%Umfang
u^*_{rel} = 93
%Regularität
$g^*_{H,rel}$ = 57
$g^*_{C,rel}$ = 59

ORS18; adaptierte CIELAB-Daten	$L^*=L^*_a$	a^*_a	b^*_a	$C^*_{ab,a}$	$h^*_{ab,a}$
R	48.0	68.58	31.54	75.48	25
R25J	50.11	61.52	52.63	80.96	41
R50J	62.87	38.77	65.02	75.71	59
R75J	74.87	17.37	76.69	78.63	77
J	86.19	−2.8	87.69	87.73	92
J25G	84.01	−18.73	82.6	84.7	103
J50G	71.17	−35.83	64.13	73.46	119
J75G	56.99	−54.71	43.72	70.05	141
G	52.8	−54.82	15.26	56.92	164
G25B	54.69	−46.87	−4.31	47.08	185
G50B	57.25	−36.1	−30.82	47.48	220
G75B	49.61	−13.51	−44.85	46.85	253
B	41.78	1.1	−44.7	44.72	271
B25R	29.34	24.33	−44.47	50.7	299
B50R	40.78	60.78	−20.18	64.05	342
B75R	48.06	71.56	13.77	72.87	11

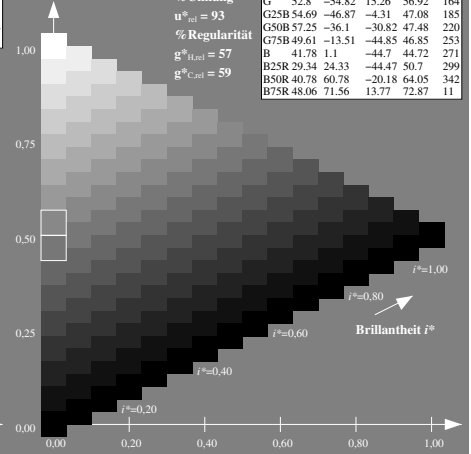

ZG620−7N, 9stufige Reihen für konstanten CIELAB Buntton 305/360 = 0.847 (links) Seite 35/60 ZG620−7N, 16stufige Reihen für konstanten CIELAB Buntton 305/360 = 0.847 (rechts) m n

Eingabe: Farbmetrisches Offset-Reflektiv-System ORS18

für Buntton *h* = lab*h = 354/360 = 0.982*

lab*tch* und *lab*nch

D65: Buntton M

LCH*Ma: 48 76 354

olv*Ma: 1.0 0.0 1.0

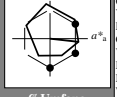

ORS18; adaptierte CIELAB-Daten

	$L^*=L^*_a$	a^*_a	b^*_a	$C^*_{ab,a}$	$h^*_{ab,a}$
O_{Ma}	47.94	65.39	50.52	82.63	38
Y_{Ma}	90.37	−10.26	91.75	92.32	96
L_{Ma}	50.9	−62.83	34.96	71.91	151
C_{Ma}	58.62	−30.34	−45.01	54.3	236
V_{Ma}	25.72	31.1	−44.4	54.22	305
M_{Ma}	48.13	75.28	−8.36	75.74	354
N_{Ma}	18.01	0.0	0.0	0.0	0
W_{Ma}	95.41	0.0	0.0	0.0	0
R_{CIE}	39.92	58.66	26.98	64.57	25
J_{CIE}	81.26	−2.16	67.76	67.79	92
G_{CIE}	52.23	−42.25	11.76	43.87	164
B_{CIE}	30.57	1.15	−46.84	46.86	271

Dreiecks-Helligkeit *t**

%Umfang

u^*_{rel} = 93

%Regularität

$g^*_{H,rel}$ = 57

$g^*_{C,rel}$ = 59

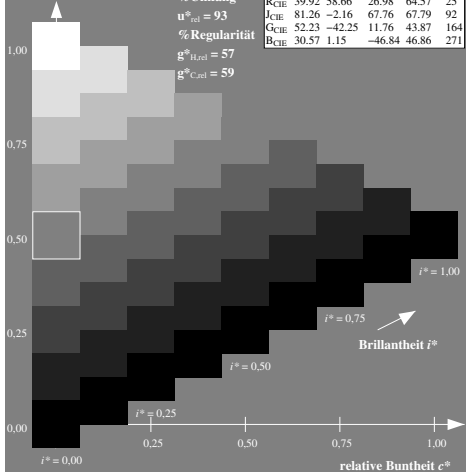

Ausgabe: Farbmetrisches Offset-Reflektiv-System ORS18

für Buntton *h* = lab*h = 354/360 = 0.982*

lab*tch* und *lab*nch

D65: Buntton M

LCH*Ma: 48 76 354

olv*Ma: 1.0 0.0 1.0

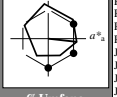

ORS18; adaptierte CIELAB-Daten

	$L^*=L^*_a$	a^*_a	b^*_a	$C^*_{ab,a}$	$h^*_{ab,a}$
R	48.0	68.58	31.54	75.48	25
R25J	50.11	61.52	52.63	80.96	41
R50J	62.87	38.77	65.02	75.71	59
R75J	74.87	17.37	76.69	78.63	77
J	86.19	−2.8	87.69	87.73	92
J25G	84.01	−18.73	82.6	84.7	103
J50G	71.17	−35.83	64.13	73.46	119
J75G	56.99	−54.71	43.72	70.05	141
G	52.8	−54.82	15.26	56.92	164
G25B	54.69	−46.87	−4.31	47.08	185
G50B	57.25	−36.1	−30.82	47.48	220
G75B	49.61	−13.51	−44.85	46.85	253
B	41.78	1.1	−44.7	44.72	271
B25R	29.34	24.33	−44.47	50.7	299
B50R	40.78	60.78	−20.18	64.05	342
B75R	48.06	71.56	13.77	72.87	11

Dreiecks-Helligkeit *t**

%Umfang

u^*_{rel} = 93

%Regularität

$g^*_{H,rel}$ = 57

$g^*_{C,rel}$ = 59

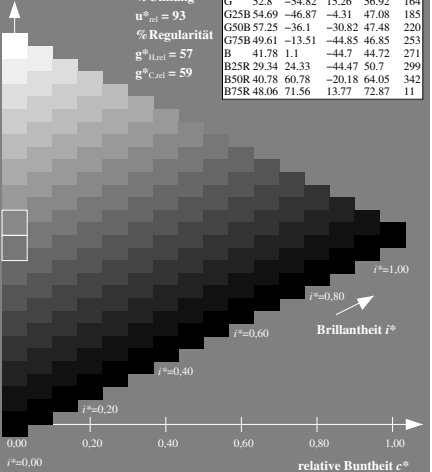

ZG620−7N, 9stufige Reihen für konstanten CIELAB Buntton 354/360 = 0.982 (links) Seite 36/60 ZG620−7N, 16stufige Reihen für konstanten CIELAB Buntton 354/360 = 0.982 (rechts) m n

Siehe ähnliche Dateien: http://www.ps.bam.de/ZG62/; www.ps.bam.de/ZG.HTM
Technische Information: http://www.ps.bam.de Version 2.1, io=1.1

BAM-Registrierung: 20071001-ZG62/L62G00N1.PS/.TXT
Anwendung für Beurteilung und Messung von Drucker- oder Monitorsystemen
BAM-Material: Code=rhaata

Eingabe: Farbmetrisches Offset-Reflektiv-System ORS18

für Buntton $h^* = lab^*h = 25/360 = 0.069$

lab*tch* und *lab*nch

D65: Buntton R

LCH*Ma: 48 75 25

olv*Ma: 1.0 0.0 0.32

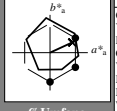

ORS18; adaptierte CIELAB-Daten

	$L^*=L^*_a$	a^*_a	b^*_a	$C^*_{ab,a}$	$h^*_{ab,a}$
O_{Ma}	47.94	65.39	50.52	82.63	38
Y_{Ma}	90.37	−10.26	91.75	92.32	96
L_{Ma}	50.9	−62.83	34.96	71.91	151
C_{Ma}	58.62	−30.34	−45.01	54.3	236
V_{Ma}	25.72	31.1	−44.4	54.22	305
M_{Ma}	48.13	75.28	−8.36	75.74	354
N_{Ma}	18.01	0.0	0.0	0.0	0
W_{Ma}	95.41	0.0	0.0	0.0	0
R_{CIE}	39.92	58.66	26.98	64.57	25
J_{CIE}	81.26	−2.16	67.76	67.79	92
G_{CIE}	52.23	−42.25	11.76	43.87	164
B_{CIE}	30.57	1.15	−46.84	46.86	271

Dreiecks-Helligkeit *t**

%Umfang

u^*_{rel} = 93

%Regularität

$g^*_{H,rel}$ = 57

$g^*_{C,rel}$ = 59

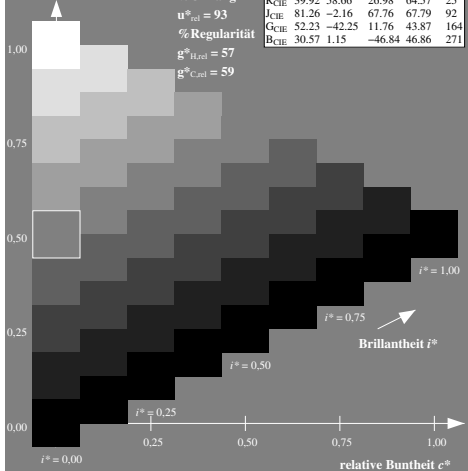

Ausgabe: Farbmetrisches Offset-Reflektiv-System ORS18

für Buntton $h^* = lab^*h = 25/360 = 0.069$

lab*tch* und *lab*nch

D65: Buntton R

LCH*Ma: 48 75 25

olv*Ma: 1.0 0.0 0.32

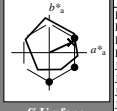

ORS18; adaptierte CIELAB-Daten

	$L^*=L^*_a$	a^*_a	b^*_a	$C^*_{ab,a}$	$h^*_{ab,a}$
R	48.0	68.58	31.54	75.48	25
R25J	50.11	61.52	52.63	80.96	41
R50J	62.87	38.77	65.02	75.71	59
R75J	74.87	17.37	76.69	78.63	77
J	86.19	−2.8	87.69	87.73	92
J25G	84.01	−18.73	82.6	84.7	103
J50G	71.17	−35.83	64.13	73.46	119
J75G	56.99	−54.71	43.72	70.05	141
G	52.8	−54.82	15.26	56.92	164
G25B	54.69	−46.87	−4.31	47.08	185
G50B	57.25	−36.1	−30.82	47.48	220
G75B	49.61	−13.51	−44.85	46.85	253
B	41.78	1.1	−44.7	44.72	271
B25R	29.34	24.33	−44.47	50.7	299
B50R	40.78	60.78	−20.18	64.05	342
B75R	48.06	71.56	13.77	72.87	11

Dreiecks-Helligkeit *t**

%Umfang

u^*_{rel} = 93

%Regularität

$g^*_{H,rel}$ = 57

$g^*_{C,rel}$ = 59

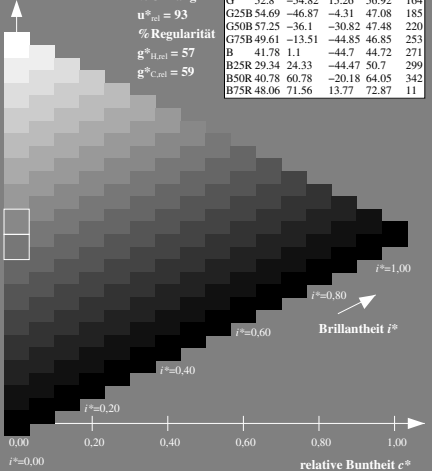

ZG620−7N, 9stufige Reihen für konstanten CIELAB Buntton 25/360 = 0.069 (links) Seite 37/60 ZG620−7N, 16stufige Reihen für konstanten CIELAB Buntton 25/360 = 0.069 (rechts) m n

BAM-Prüfvorlage ZG62; Farbmetrik-Systeme, Seite 37/60 Eingabe: *rgb / cmy0 set(rgb/cmyk)color*
D65: 9 und 16stufige Farbreihen für 10 Bunttöne Ausgabe: *−>cmy0* setcmykcolor*

Siehe ähnliche Dateien: http://www.ps.bam.de/ZG62/; www.ps.bam.de/ZG.HTM
Technische Information: http://www.ps.bam.de Version 2.1, io=1.1

BAM-Registrierung: 20071001-ZG62/L62G00N1.PS/.TXT
Anwendung für Beurteilung und Messung von Drucker- oder Monitorsystemen
BAM-Material: Code=rhaata

Eingabe: Farbmetrisches Offset-Reflektiv-System ORS18

für Buntton $h^* = lab^*h = 92/360 = 0.255$
lab*tch* und *lab*nch
D65: Buntton J
LCH*Ma: 86 88 92
olv*Ma: 1.0 0.9 0.0

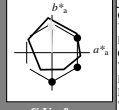

ORS18; adaptierte CIELAB-Daten

	$L^*=L^*_a$	a^*_a	b^*_a	$C^*_{ab,a}$	$h^*_{ab,a}$
O_{Ma}	47.94	65.39	50.52	82.63	38
Y_{Ma}	90.37	−10.26	91.75	92.32	96
L_{Ma}	50.9	−62.83	34.96	71.91	151
C_{Ma}	58.62	−30.34	−45.01	54.3	236
V_{Ma}	25.72	31.1	−44.4	54.22	305
M_{Ma}	48.13	75.28	−8.36	75.74	354
N_{Ma}	18.01	0.0	0.0	0.0	0
W_{Ma}	95.41	0.0	0.0	0.0	0
R_{CIE}	39.92	58.66	26.98	64.57	25
J_{CIE}	81.26	−2.16	67.76	67.79	92
G_{CIE}	52.23	−42.25	11.76	43.87	164
B_{CIE}	30.57	1.15	−46.84	46.86	271

Dreiecks-Helligkeit *t**

%Umfang
u^*_{rel} = 93
%Regularität
$g^*_{H,rel}$ = 57
$g^*_{C,rel}$ = 59

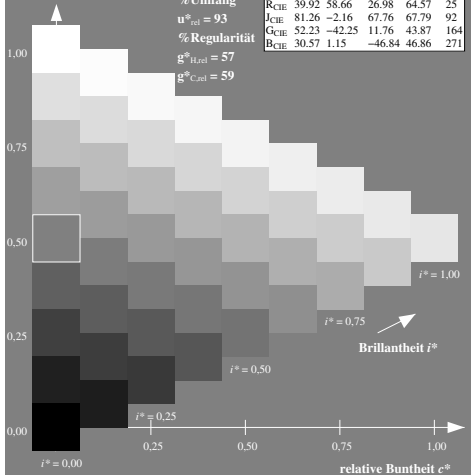

Ausgabe: Farbmetrisches Offset-Reflektiv-System ORS18

für Buntton $h^* = lab^*h = 92/360 = 0.255$
lab*tch* und *lab*nch
D65: Buntton J
LCH*Ma: 86 88 92
olv*Ma: 1.0 0.9 0.0

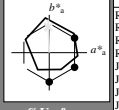

ORS18; adaptierte CIELAB-Daten

	$L^*=L^*_a$	a^*_a	b^*_a	$C^*_{ab,a}$	$h^*_{ab,a}$
R	48.0	68.58	31.54	75.48	25
R25J	50.11	61.52	52.63	80.96	41
R50J	62.87	38.77	65.02	75.71	59
R75J	74.87	17.37	76.69	78.63	77
J	86.19	−2.8	87.69	87.73	92
J25G	84.01	−18.73	82.6	84.7	103
J50G	71.17	−35.83	64.13	73.46	119
J75G	56.99	−54.71	43.72	70.05	141
G	52.8	−54.82	15.26	56.92	164
G25B	54.69	−46.87	−4.31	47.08	185
G50B	57.25	−36.1	−30.82	47.48	220
G75B	49.61	−13.51	−44.85	46.85	253
B	41.78	1.1	−44.7	44.72	271
B25R	29.34	24.33	−44.47	50.7	299
B50R	40.78	60.78	−20.18	64.05	342
B75R	48.06	71.56	13.77	72.87	11

Dreiecks-Helligkeit *t**

%Umfang
u^*_{rel} = 93
%Regularität
$g^*_{H,rel}$ = 57
$g^*_{C,rel}$ = 59

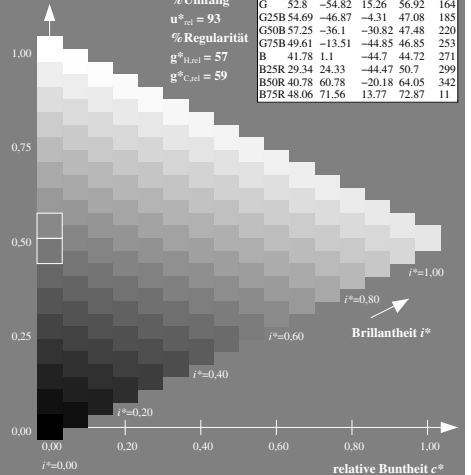

ZG620−7N, 9stufige Reihen für konstanten CIELAB Buntton 92/360 = 0.255 (links) Seite 38/60 ZG620−7N, 16stufige Reihen für konstanten CIELAB Buntton 92/360 = 0.255 (rechts) m n

Siehe ähnliche Dateien: http://www.ps.bam.de/ZG62/; www.ps.bam.de/ZG.HTM
Technische Information: http://www.ps.bam.de Version 2.1, io=1.1

BAM-Registrierung: 20071001-ZG62/L62G00N1.PS/.TXT
Anwendung für Beurteilung und Messung von Drucker- oder Monitorsystemen
BAM-Material: Code=rhaata

Eingabe: Farbmetrisches Offset-Reflektiv-System ORS18

für Buntton $h^* = lab^*h = 164/360 = 0.457$
lab*tch* und *lab*nch
D65: Buntton G
LCH*Ma: 53 57 164
olv*Ma: 0.0 1.0 0.25

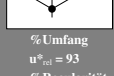

ORS18; adaptierte CIELAB-Daten

	$L^*=L^*_a$	a^*_a	b^*_a	$C^*_{ab,a}$	$h^*_{ab,a}$
O_{Ma}	47.94	65.39	50.52	82.63	38
Y_{Ma}	90.37	−10.26	91.75	92.32	96
L_{Ma}	50.9	−62.83	34.96	71.91	151
C_{Ma}	58.62	−30.34	−45.01	54.3	236
V_{Ma}	25.72	31.1	−44.4	54.22	305
M_{Ma}	48.13	75.28	−8.36	75.74	354
N_{Ma}	18.01	0.0	0.0	0.0	0
W_{Ma}	95.41	0.0	0.0	0.0	0
R_{CIE}	39.92	58.66	26.98	64.57	25
J_{CIE}	81.26	−2.16	67.76	67.79	92
G_{CIE}	52.23	−42.25	11.76	43.87	164
B_{CIE}	30.57	1.15	−46.84	46.86	271

Dreiecks-Helligkeit *t

%Umfang
u^*_{rel} = 93
%Regularität
$g^*_{H,rel}$ = 57
$g^*_{C,rel}$ = 59

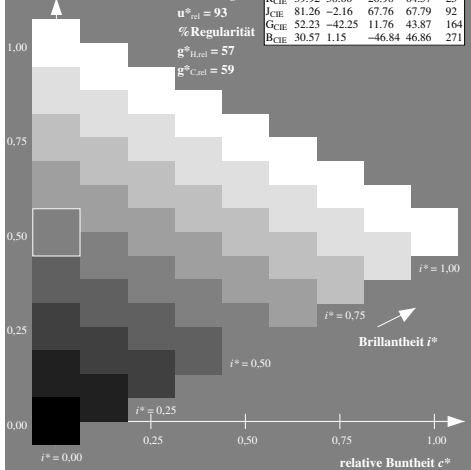

Ausgabe: Farbmetrisches Offset-Reflektiv-System ORS18

für Buntton $h^* = lab^*h = 164/360 = 0.457$
lab*tch* und *lab*nch
D65: Buntton G
LCH*Ma: 53 57 164
olv*Ma: 0.0 1.0 0.25

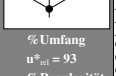

ORS18; adaptierte CIELAB-Daten

	$L^*=L^*_a$	a^*_a	b^*_a	$C^*_{ab,a}$	$h^*_{ab,a}$
R	48.0	68.58	31.54	75.48	25
R25J	50.11	61.52	52.63	80.96	41
R50J	62.87	38.77	65.02	75.71	59
R75J	74.87	17.37	76.69	78.63	77
J	86.19	−2.8	87.69	87.73	92
J25G	84.01	−18.73	82.6	84.7	103
J50G	71.17	−35.83	64.13	73.46	119
J75G	56.99	−54.71	43.72	70.05	141
G	52.8	−54.82	15.26	56.92	164
G25B	54.69	−46.87	−4.31	47.08	185
G50B	57.25	−36.1	−30.82	47.48	220
G75B	49.61	−13.51	−44.85	46.85	253
B	41.78	1.1	−44.7	44.72	271
B25R	29.34	24.33	−44.47	50.7	299
B50R	40.78	60.78	−20.18	64.05	342
B75R	48.06	71.56	13.77	72.87	11

Dreiecks-Helligkeit *t

%Umfang
u^*_{rel} = 93
%Regularität
$g^*_{H,rel}$ = 57
$g^*_{C,rel}$ = 59

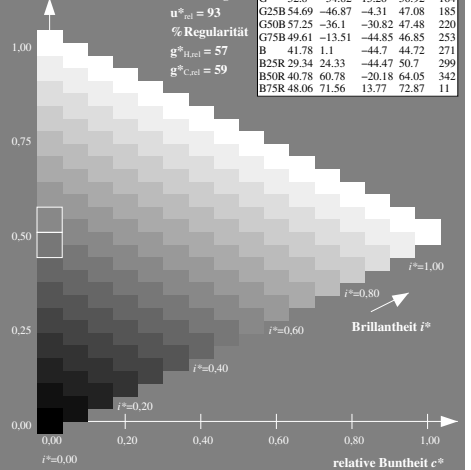

ZG620−7N, 9stufige Reihen für konstanten CIELAB Buntton 164/360 = 0.457 (links) Seite 39/60 ZG620−7N, 16stufige Reihen für konstanten CIELAB Buntton 164/360 = 0.457 (rechts) m n

Siehe ähnliche Dateien: http://www.ps.bam.de/ZG62/; www.ps.bam.de/ZG.HTM
Technische Information: http://www.ps.bam.de Version 2.1, io=1.1

BAM-Registrierung: 20071001-ZG62/L62G00N1.PS/.TXT
Anwendung für Beurteilung und Messung von Drucker- oder Monitorsystemen
BAM-Material: Code=rhasta

Eingabe: Farbmetrisches Offset-Reflektiv-System ORS18

für Buntton $h^* = lab^*h = 271/360 = 0.754$

lab*tch* und *lab*nch

D65: Buntton B

LCH*Ma: 42 45 271

olv*Ma: 0.0 0.49 1.0

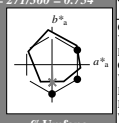

ORS18; adaptierte CIELAB-Daten

	$L^*=L^*_a$	a^*_a	b^*_a	$C^*_{ab,a}$	$h^*_{ab,a}$
O_{Ma}	47.94	65.39	50.52	82.63	38
Y_{Ma}	90.37	−10.26	91.75	92.32	96
L_{Ma}	50.9	−62.83	34.96	71.91	151
C_{Ma}	58.62	−30.34	−45.01	54.3	236
V_{Ma}	25.72	31.1	−44.4	54.22	305
M_{Ma}	48.13	75.28	−8.36	75.74	354
N_{Ma}	18.01	0.0	0.0	0.0	0
W_{Ma}	95.41	0.0	0.0	0.0	0
R_{CIE}	39.92	58.66	26.98	64.57	25
J_{CIE}	81.26	−2.16	67.76	67.79	92
G_{CIE}	52.23	−42.25	11.76	43.87	164
B_{CIE}	30.57	1.15	−46.84	46.86	271

Dreiecks-Helligkeit *t**

%Umfang

u^*_{rel} = 93

%Regularität

$g^*_{H,rel}$ = 57

$g^*_{C,rel}$ = 59

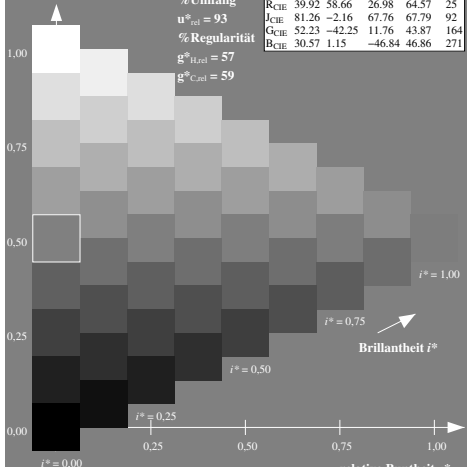

ZG620−7N, 9stufige Reihen für konstanten CIELAB Buntton 271/360 = 0.754 (links) Seite 40/60

Ausgabe: Farbmetrisches Offset-Reflektiv-System ORS18

für Buntton $h^* = lab^*h = 271/360 = 0.754$

lab*tch* und *lab*nch

D65: Buntton B

LCH*Ma: 42 45 271

olv*Ma: 0.0 0.49 1.0

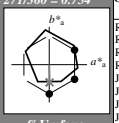

ORS18; adaptierte CIELAB-Daten

	$L^*=L^*_a$	a^*_a	b^*_a	$C^*_{ab,a}$	$h^*_{ab,a}$
R	48.0	68.58	31.54	75.48	25
R25J	50.11	61.52	52.63	80.96	41
R50J	62.87	38.77	65.02	75.71	59
R75J	74.87	17.37	76.69	78.63	77
J	86.19	−2.8	87.69	87.73	92
J25G	84.01	−18.73	82.6	84.7	103
J50G	71.17	−35.83	64.13	73.46	119
J75G	56.99	−54.71	43.72	70.05	141
G	52.8	−54.82	15.26	56.92	164
G25B	54.69	−46.87	−4.31	47.08	185
G50B	57.25	−36.1	−30.82	47.48	220
G75B	49.61	−13.51	−44.85	46.85	253
B	41.78	1.1	−44.7	44.72	271
B25R	29.34	24.33	−44.47	50.7	299
B50R	40.78	60.78	−20.18	64.05	342
B75R	48.06	71.56	13.77	72.87	11

Dreiecks-Helligkeit *t**

%Umfang

u^*_{rel} = 93

%Regularität

$g^*_{H,rel}$ = 57

$g^*_{C,rel}$ = 59

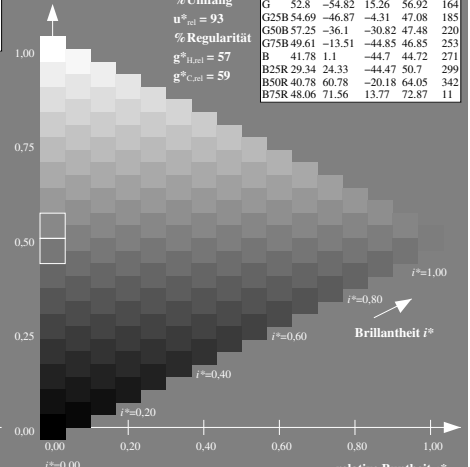

ZG620−7N, 16stufige Reihen für konstanten CIELAB Buntton 271/360 = 0.754 (rechts) m n

Siehe ähnliche Dateien: http://www.ps.bam.de/ZG62/; www.ps.bam.de/ZG.HTM
Technische Information: http://www.ps.bam.de Version 2.1, io=1.1

BAM-Registrierung: 20071001-ZG62/L62G00N1.PS/.TXT
Anwendung für Beurteilung und Messung von Drucker- oder Monitorsystemen
BAM-Material: Code=rhaata

Eingabe: Farbmetrisches Offset-Reflektiv-System ORS18

für Buntton $h^* = lab^*h = 38/360 = 0.105$

lab*tch* und *lab*nch

D65: Buntton O

LCH*Ma: 48 83 38

olv*Ma: 1.0 0.0 0.0

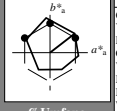

ORS18; adaptierte CIELAB-Daten

	$L^*=L^*_a$	a^*_a	b^*_a	$C^*_{ab,a}$	$h^*_{ab,a}$
O_{Ma}	47.94	65.39	50.52	82.63	38
Y_{Ma}	90.37	−10.26	91.75	92.32	96
L_{Ma}	50.9	−62.83	34.96	71.91	151
C_{Ma}	58.62	−30.34	−45.01	54.3	236
V_{Ma}	25.72	31.1	−44.4	54.22	305
M_{Ma}	48.13	75.28	−8.36	75.74	354
N_{Ma}	18.01	0.0	0.0	0.0	0
W_{Ma}	95.41	0.0	0.0	0.0	0
R_{CIE}	39.92	58.66	26.98	64.57	25
J_{CIE}	81.26	−2.16	67.76	67.79	92
G_{CIE}	52.23	−42.25	11.76	43.87	164
B_{CIE}	30.57	1.15	−46.84	46.86	271

Dreiecks-Helligkeit *t**

%Umfang

u^*_{rel} = 93

%Regularität

$g^*_{H,rel}$ = 57

$g^*_{C,rel}$ = 59

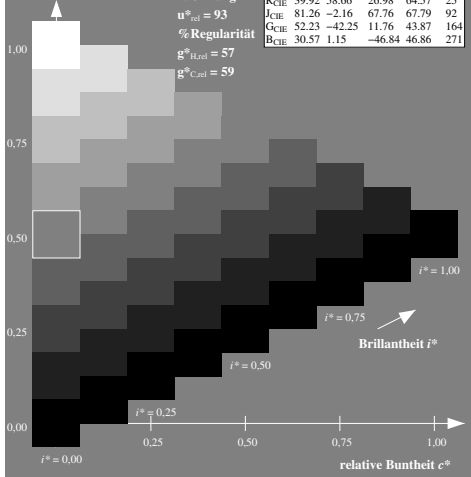

Ausgabe: Farbmetrisches Offset-Reflektiv-System ORS18

für Buntton $h^* = lab^*h = 38/360 = 0.105$

lab*tch* und *lab*nch

D65: Buntton O

LCH*Ma: 48 83 38

olv*Ma: 1.0 0.0 0.0

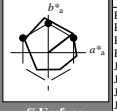

ORS18; adaptierte CIELAB-Daten

	$L^*=L^*_a$	a^*_a	b^*_a	$C^*_{ab,a}$	$h^*_{ab,a}$
R	48.0	68.58	31.54	75.48	25
R25J	50.11	61.52	52.63	80.96	41
R50J	62.87	38.77	65.02	75.71	59
R75J	74.87	17.37	76.69	78.63	77
J	86.19	−2.8	87.69	87.73	92
J25G	84.01	−18.73	82.6	84.7	103
J50G	71.17	−35.83	64.13	73.46	119
J75G	56.99	−54.71	43.72	70.05	141
G	52.8	−54.82	15.26	56.92	164
G25B	54.69	−46.87	−4.31	47.08	185
G50B	57.25	−36.1	−30.82	47.48	220
G75B	49.61	−13.51	−44.85	46.85	253
B	41.78	1.1	−44.7	44.72	271
B25R	29.34	24.33	−44.47	50.7	299
B50R	40.78	60.78	−20.18	64.05	342
B75R	48.06	71.56	13.77	72.87	11

Dreiecks-Helligkeit *t**

%Umfang

u^*_{rel} = 93

%Regularität

$g^*_{H,rel}$ = 57

$g^*_{C,rel}$ = 59

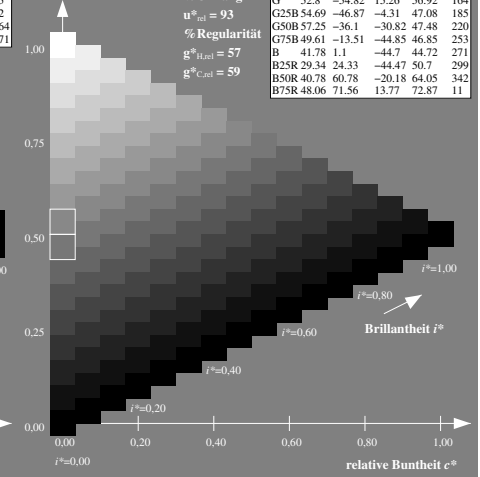

ZG620−7N, 9stufige Reihen für konstanten CIELAB Buntton 38/360 = 0.105 (links) Seite 41/60 ZG620−7N, 16stufige Reihen für konstanten CIELAB Buntton 38/360 = 0.105 (rechts) yn

Siehe ähnliche Dateien: http://www.ps.bam.de/ZG62/; www.ps.bam.de/ZG.HTM
Technische Information: http://www.ps.bam.de Version 2.1, io=1.1

BAM-Registrierung: 20071001-ZG62/L62G00N1.PS/.TXT
Anwendung für Beurteilung und Messung von Drucker- oder Monitorsystemen
BAM-Material: Code=rhaata

Eingabe: Farbmetrisches Offset-Reflektiv-System ORS18

für Buntton $h^* = lab^*h = 96/360 = 0.268$

lab*tch* und *lab*nch

D65: Buntton Y

LCH*Ma: 90 92 96

olv*Ma: 1.0 1.0 0.0

ORS18; adaptierte CIELAB-Daten

	$L^*=L^*_a$	a^*_a	b^*_a	$C^*_{ab,a}$	$h^*_{ab,a}$
O_{Ma}	47.94	65.39	50.52	82.63	38
Y_{Ma}	90.37	−10.26	91.75	92.32	96
L_{Ma}	50.9	−62.83	34.96	71.91	151
C_{Ma}	58.62	−30.34	−45.01	54.3	236
V_{Ma}	25.72	31.1	−44.4	54.22	305
M_{Ma}	48.13	75.28	−8.36	75.74	354
N_{Ma}	18.01	0.0	0.0	0.0	0
W_{Ma}	95.41	0.0	0.0	0.0	0
R_{CIE}	39.92	58.66	26.98	64.57	25
J_{CIE}	81.26	−2.16	67.76	67.79	92
G_{CIE}	52.23	−42.25	11.76	43.87	164
B_{CIE}	30.57	1.15	−46.84	46.86	271

Dreiecks-Helligkeit *t**

%Umfang

u^*_{rel} = 93

%Regularität

$g^*_{H,rel}$ = 57

$g^*_{C,rel}$ = 59

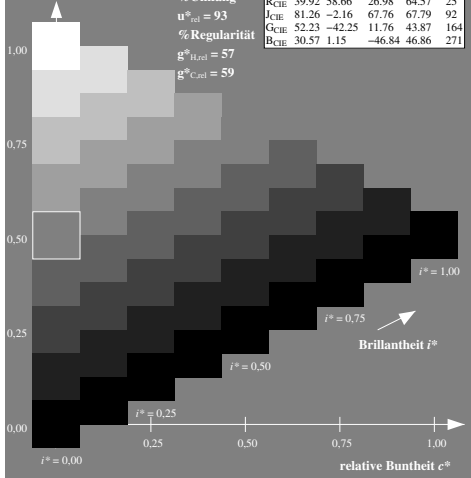

Ausgabe: Farbmetrisches Offset-Reflektiv-System ORS18

für Buntton $h^* = lab^*h = 96/360 = 0.268$

lab*tch* und *lab*nch

D65: Buntton Y

LCH*Ma: 90 92 96

olv*Ma: 1.0 1.0 0.0

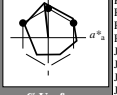

ORS18; adaptierte CIELAB-Daten

	$L^*=L^*_a$	a^*_a	b^*_a	$C^*_{ab,a}$	$h^*_{ab,a}$
R	48.0	68.58	31.54	75.48	25
R25J	50.11	61.52	52.63	80.96	41
R50J	62.87	38.77	65.02	75.71	59
R75J	74.87	17.37	76.69	78.63	77
J	86.19	−2.8	87.69	87.73	92
J25G	84.01	−18.73	82.6	84.7	103
J50G	71.17	−35.83	64.13	73.46	119
J75G	56.99	−54.71	43.72	70.05	141
G	52.8	−54.82	15.26	56.92	164
G25B	54.69	−46.87	−4.31	47.08	185
G50B	57.25	−36.1	−30.82	47.48	220
G75B	49.61	−13.51	−44.85	46.85	253
B	41.78	1.1	−44.7	44.72	271
B25R	29.34	24.33	−44.47	50.7	299
B50R	40.78	60.78	−20.18	64.05	342
B75R	48.06	71.56	13.77	72.87	11

Dreiecks-Helligkeit *t**

%Umfang

u^*_{rel} = 93

%Regularität

$g^*_{H,rel}$ = 57

$g^*_{C,rel}$ = 59

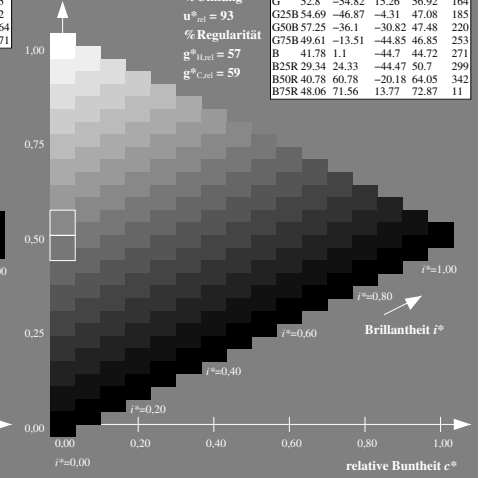

ZG620−7N, 9stufige Reihen für konstanten CIELAB Buntton 96/360 = 0.268 (links) Seite 42/60 ZG620−7N, 16stufige Reihen für konstanten CIELAB Buntton 96/360 = 0.268 (rechts) yn

Siehe ähnliche Dateien: http://www.ps.bam.de/ZG62/; www.ps.bam.de/ZG.HTM
Technische Information: http://www.ps.bam.de Version 2.1, io=1.1

BAM-Registrierung: 20071001-ZG62/L62G00N1.PS/.TXT
Anwendung für Beurteilung und Messung von Drucker- oder Monitorsystemen
BAM-Material: Code=rhatata

Eingabe: Farbmetrisches Offset-Reflektiv-System ORS18

für Buntton $h^* = lab^*h = 151/360 = 0.419$
lab*tch* und *lab*nch
D65: Buntton L
LCH*Ma: 51 72 151
olv*Ma: 0.0 1.0 0.0

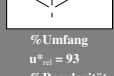

ORS18; adaptierte CIELAB-Daten

	$L^*=L^*_a$	a^*_a	b^*_a	$C^*_{ab,a}$	$h^*_{ab,a}$
O_{Ma}	47.94	65.39	50.52	82.63	38
Y_{Ma}	90.37	−10.26	91.75	92.32	96
L_{Ma}	50.9	−62.83	34.96	71.91	151
C_{Ma}	58.62	−30.34	−45.01	54.3	236
V_{Ma}	25.72	31.1	−44.4	54.22	305
M_{Ma}	48.13	75.28	−8.36	75.74	354
N_{Ma}	18.01	0.0	0.0	0.0	0
W_{Ma}	95.41	0.0	0.0	0.0	0
R_{CIE}	39.92	58.66	26.98	64.57	25
J_{CIE}	81.26	−2.16	67.76	67.79	92
G_{CIE}	52.23	−42.25	11.76	43.87	164
B_{CIE}	30.57	1.15	−46.84	46.86	271

Dreiecks-Helligkeit *t**

%Umfang
u^*_{rel} = 93
%Regularität
$g^*_{H,rel}$ = 57
$g^*_{C,rel}$ = 59

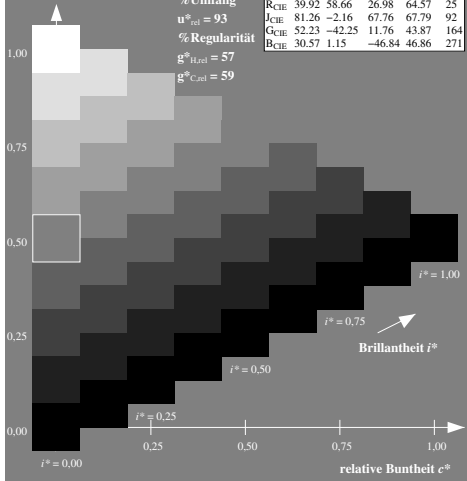

Ausgabe: Farbmetrisches Offset-Reflektiv-System ORS18

für Buntton $h^* = lab^*h = 151/360 = 0.419$
lab*tch* und *lab*nch
D65: Buntton L
LCH*Ma: 51 72 151
olv*Ma: 0.0 1.0 0.0

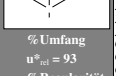

ORS18; adaptierte CIELAB-Daten

	$L^*=L^*_a$	a^*_a	b^*_a	$C^*_{ab,a}$	$h^*_{ab,a}$
R	48.0	68.58	31.54	75.48	25
R25J	50.11	61.52	52.63	80.96	41
R50J	62.87	38.77	65.02	75.71	59
R75J	74.87	17.37	76.69	78.63	77
J	86.19	−2.8	87.69	87.73	92
J25G	84.01	−18.73	82.6	84.7	103
J50G	71.17	−35.83	64.13	73.46	119
J75G	56.99	−54.71	43.72	70.05	141
G	52.8	−54.82	15.26	56.92	164
G25B	54.69	−46.87	−4.31	47.08	185
G50B	57.25	−36.1	−30.82	47.48	220
G75B	49.61	−13.51	−44.85	46.85	253
B	41.78	1.1	−44.7	44.72	271
B25R	29.34	24.33	−44.47	50.7	299
B50R	40.78	60.78	−20.18	64.05	342
B75R	48.06	71.56	13.77	72.87	11

Dreiecks-Helligkeit *t**

%Umfang
u^*_{rel} = 93
%Regularität
$g^*_{H,rel}$ = 57
$g^*_{C,rel}$ = 59

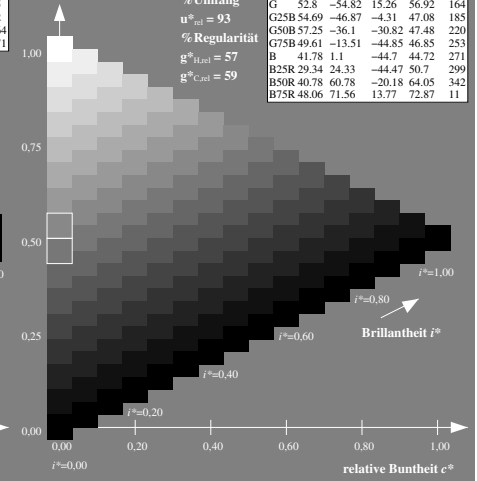

ZG620−7N, 9stufige Reihen für konstanten CIELAB Buntton 151/360 = 0.419 (links) Seite 43/60 ZG620−7N, 16stufige Reihen für konstanten CIELAB Buntton 151/360 = 0.419 (rechts) yn

Siehe ähnliche Dateien: http://www.ps.bam.de/ZG62/; www.ps.bam.de/ZG.HTM
Technische Information: http://www.ps.bam.de Version 2.1, io=1.1

BAM-Registrierung: 20071001-ZG62/L62G00N1.PS/.TXT
Anwendung für Beurteilung und Messung von Drucker- oder Monitorsystemen
BAM-Material: Code=rhaata

Eingabe: Farbmetrisches Offset-Reflektiv-System ORS18

für Buntton $h^* = lab^*h = 236/360 = 0.656$
lab*tch* und *lab*nch
D65: Buntton C
LCH*Ma: 59 54 236
olv*Ma: 0.0 1.0 1.0

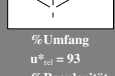

ORS18; adaptierte CIELAB-Daten

	$L^*=L^*_a$	a^*_a	b^*_a	$C^*_{ab,a}$	$h^*_{ab,a}$
O_{Ma}	47.94	65.39	50.52	82.63	38
Y_{Ma}	90.37	−10.26	91.75	92.32	96
L_{Ma}	50.9	−62.83	34.96	71.91	151
C_{Ma}	58.62	−30.34	−45.01	54.3	236
V_{Ma}	25.72	31.1	−44.4	54.22	305
M_{Ma}	48.13	75.28	−8.36	75.74	354
N_{Ma}	18.01	0.0	0.0	0.0	0
W_{Ma}	95.41	0.0	0.0	0.0	0
R_{CIE}	39.92	58.66	26.98	64.57	25
J_{CIE}	81.26	−2.16	67.76	67.79	92
G_{CIE}	52.23	−42.25	11.76	43.87	164
B_{CIE}	30.57	1.15	−46.84	46.86	271

Dreiecks-Helligkeit *t**

%Umfang
u^*_{rel} = 93
%Regularität
$g^*_{H,rel}$ = 57
$g^*_{C,rel}$ = 59

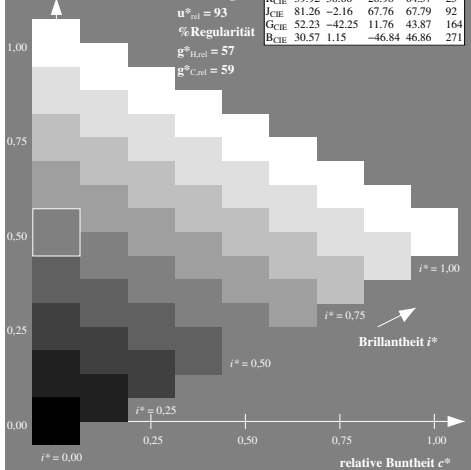

Ausgabe: Farbmetrisches Offset-Reflektiv-System ORS18

für Buntton $h^* = lab^*h = 236/360 = 0.656$
lab*tch* und *lab*nch
D65: Buntton C
LCH*Ma: 59 54 236
olv*Ma: 0.0 1.0 1.0

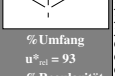

ORS18; adaptierte CIELAB-Daten

	$L^*=L^*_a$	a^*_a	b^*_a	$C^*_{ab,a}$	$h^*_{ab,a}$
R	48.0	68.58	31.54	75.48	25
R25J	50.11	61.52	52.63	80.96	41
R50J	62.87	38.77	65.02	75.71	59
R75J	74.87	17.37	76.69	78.63	77
J	86.19	−2.8	87.69	87.73	92
J25G	84.01	−18.73	82.6	84.7	103
J50G	71.17	−35.83	64.13	73.46	119
J75G	56.99	−54.71	43.72	70.05	141
G	52.8	−54.82	15.26	56.92	164
G25B	54.69	−46.87	−4.31	47.08	185
G50B	57.25	−36.1	−30.82	47.48	220
G75B	49.61	−13.51	−44.85	46.85	253
B	41.78	1.1	−44.7	44.72	271
B25R	29.34	24.33	−44.47	50.7	299
B50R	40.78	60.78	−20.18	64.05	342
B75R	48.06	71.56	13.77	72.87	11

Dreiecks-Helligkeit *t**

%Umfang
u^*_{rel} = 93
%Regularität
$g^*_{H,rel}$ = 57
$g^*_{C,rel}$ = 59

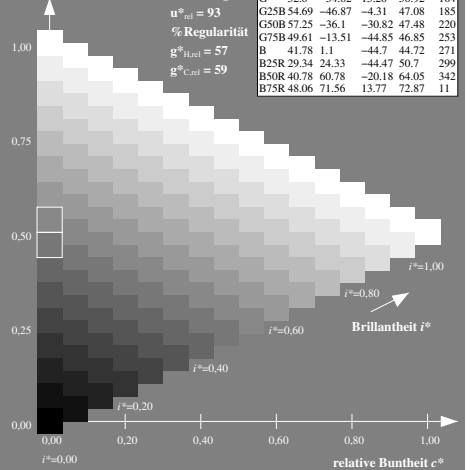

ZG620−7N, 9stufige Reihen für konstanten CIELAB Buntton 236/360 = 0.656 (links) Seite 44/60 ZG620−7N, 16stufige Reihen für konstanten CIELAB Buntton 236/360 = 0.656 (rechts) yn

Siehe ähnliche Dateien: http://www.ps.bam.de/ZG62/; www.ps.bam.de/ZG.HTM
Technische Information: http://www.ps.bam.de Version 2.1, io=1.1

BAM-Registrierung: 20071001-ZG62/L62G00N1.PS/.TXT
Anwendung für Beurteilung und Messung von Drucker- oder Monitorsystemen
BAM-Material: Code=ihatta

Eingabe: Farbmetrisches Offset-Reflektiv-System ORS18

für Buntton $h^* = lab^*h = 305/360 = 0.847$
lab*tch* und *lab*nch
D65: Buntton V
LCH*Ma: 26 54 305
olv*Ma: 0.0 0.0 1.0

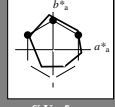

ORS18; adaptierte CIELAB-Daten

	$L^*=L^*_a$	a^*_a	b^*_a	$C^*_{ab,a}$	$h^*_{ab,a}$
O_{Ma}	47.94	65.39	50.52	82.63	38
Y_{Ma}	90.37	−10.26	91.75	92.32	96
L_{Ma}	50.9	−62.83	34.96	71.91	151
C_{Ma}	58.62	−30.34	−45.01	54.3	236
V_{Ma}	25.72	31.1	−44.4	54.22	305
M_{Ma}	48.13	75.28	−8.36	75.74	354
N_{Ma}	18.01	0.0	0.0	0.0	0
W_{Ma}	95.41	0.0	0.0	0.0	0
R_{CIE}	39.92	58.66	26.98	64.57	25
J_{CIE}	81.26	−2.16	67.76	67.79	92
G_{CIE}	52.23	−42.25	11.76	43.87	164
B_{CIE}	30.57	1.15	−46.84	46.86	271

Dreiecks-Helligkeit *t**

%Umfang
u^*_{rel} = 93
%Regularität
$g^*_{H,rel}$ = 57
$g^*_{C,rel}$ = 59

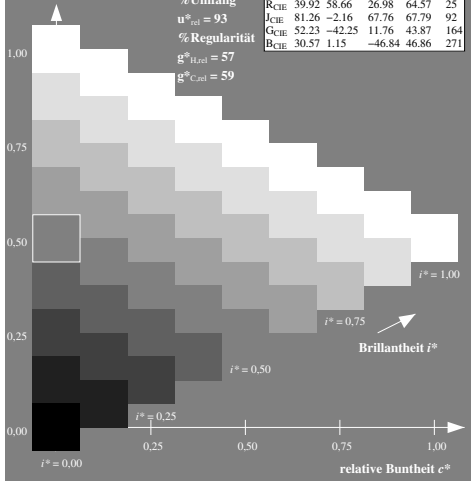

Ausgabe: Farbmetrisches Offset-Reflektiv-System ORS18

für Buntton $h^* = lab^*h = 305/360 = 0.847$
lab*tch* und *lab*nch
D65: Buntton V
LCH*Ma: 26 54 305
olv*Ma: 0.0 0.0 1.0

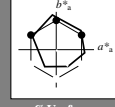

ORS18; adaptierte CIELAB-Daten

	$L^*=L^*_a$	a^*_a	b^*_a	$C^*_{ab,a}$	$h^*_{ab,a}$
R	48.0	68.58	31.54	75.48	25
R25J	50.11	61.52	52.63	80.96	41
R50J	62.87	38.77	65.02	75.71	59
R75J	74.87	17.37	76.69	78.63	77
J	86.19	−2.8	87.69	87.73	92
J25G	84.01	−18.73	82.6	84.7	103
J50G	71.17	−35.83	64.13	73.46	119
J75G	56.99	−54.71	43.72	70.05	141
G	52.8	−54.82	15.26	56.92	164
G25B	54.69	−46.87	−4.31	47.08	185
G50B	57.25	−36.1	−30.82	47.48	220
G75B	49.61	−13.51	−44.85	46.85	253
B	41.78	1.1	−44.7	44.72	271
B25R	29.34	24.33	−44.47	50.7	299
B50R	40.78	60.78	−20.18	64.05	342
B75R	48.06	71.56	13.77	72.87	11

Dreiecks-Helligkeit *t**

%Umfang
u^*_{rel} = 93
%Regularität
$g^*_{H,rel}$ = 57
$g^*_{C,rel}$ = 59

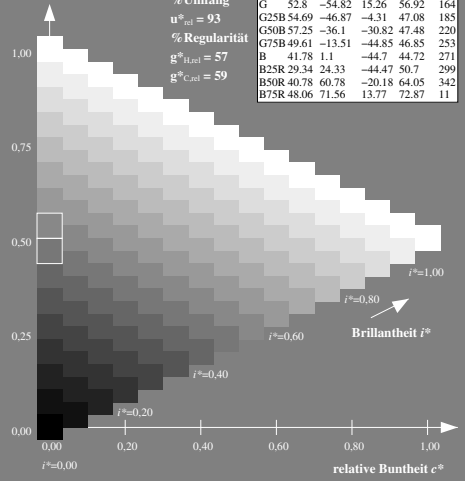

ZG620−7N, 9stufige Reihen für konstanten CIELAB Buntton 305/360 = 0.847 (links) Seite 45/60 ZG620−7N, 16stufige Reihen für konstanten CIELAB Buntton 305/360 = 0.847 (rechts) yn

Siehe ähnliche Dateien: http://www.ps.bam.de/ZG62/; www.ps.bam.de/ZG.HTM
Technische Information: http://www.ps.bam.de Version 2.1, io=1.1

BAM-Registrierung: 20071001-ZG62/L62G00N1.PS/.TXT
Anwendung für Beurteilung und Messung von Drucker- oder Monitorsystemen
BAM-Material: Code=hätta

Eingabe: Farbmetrisches Offset-Reflektiv-System ORS18

für Buntton $h^* = lab^*h = 354/360 = 0.982$
lab*tch* und *lab*nch
D65: Buntton M
LCH*Ma: 48 76 354
olv*Ma: 1.0 0.0 1.0

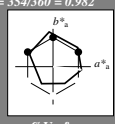

ORS18; adaptierte CIELAB-Daten

	$L^*=L^*_a$	a^*_a	b^*_a	$C^*_{ab,a}$	$h^*_{ab,a}$
O_{Ma}	47.94	65.39	50.52	82.63	38
Y_{Ma}	90.37	−10.26	91.75	92.32	96
L_{Ma}	50.9	−62.83	34.96	71.91	151
C_{Ma}	58.62	−30.34	−45.01	54.3	236
V_{Ma}	25.72	31.1	−44.4	54.22	305
M_{Ma}	48.13	75.28	−8.36	75.74	354
N_{Ma}	18.01	0.0	0.0	0.0	0
W_{Ma}	95.41	0.0	0.0	0.0	0
R_{CIE}	39.92	58.66	26.98	64.57	25
J_{CIE}	81.26	−2.16	67.76	67.79	92
G_{CIE}	52.23	−42.25	11.76	43.87	164
B_{CIE}	30.57	1.15	−46.84	46.86	271

Dreiecks-Helligkeit *t**

%Umfang
u^*_{rel} = 93
%Regularität
$g^*_{H,rel}$ = 57
$g^*_{C,rel}$ = 59

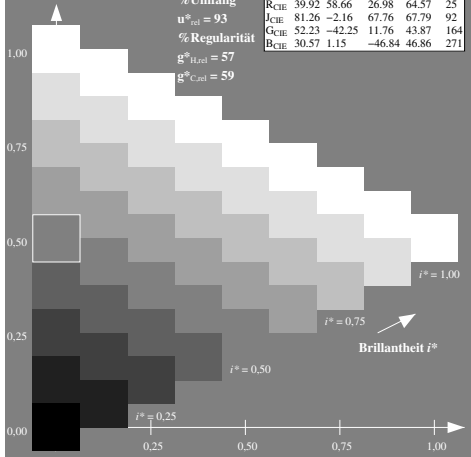

Ausgabe: Farbmetrisches Offset-Reflektiv-System ORS18

für Buntton $h^* = lab^*h = 354/360 = 0.982$
lab*tch* und *lab*nch
D65: Buntton M
LCH*Ma: 48 76 354
olv*Ma: 1.0 0.0 1.0

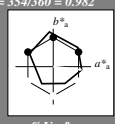

ORS18; adaptierte CIELAB-Daten

	$L^*=L^*_a$	a^*_a	b^*_a	$C^*_{ab,a}$	$h^*_{ab,a}$
R	48.0	68.58	31.54	75.48	25
R25J	50.11	61.52	52.63	80.96	41
R50J	62.87	38.77	65.02	75.71	59
R75J	74.87	17.37	76.69	78.63	77
J	86.19	−2.8	87.69	87.73	92
J25G	84.01	−18.73	82.6	84.7	103
J50G	71.17	−35.83	64.13	73.46	119
J75G	56.99	−54.71	43.72	70.05	141
G	52.8	−54.82	15.26	56.92	164
G25B	54.69	−46.87	−4.31	47.08	185
G50B	57.25	−36.1	−30.82	47.48	220
G75B	49.61	−13.51	−44.85	46.85	253
B	41.78	1.1	−44.7	44.72	271
B25R	29.34	24.33	−44.47	50.7	299
B50R	40.78	60.78	−20.18	64.05	342
B75R	48.06	71.56	13.77	72.87	11

Dreiecks-Helligkeit *t**

%Umfang
u^*_{rel} = 93
%Regularität
$g^*_{H,rel}$ = 57
$g^*_{C,rel}$ = 59

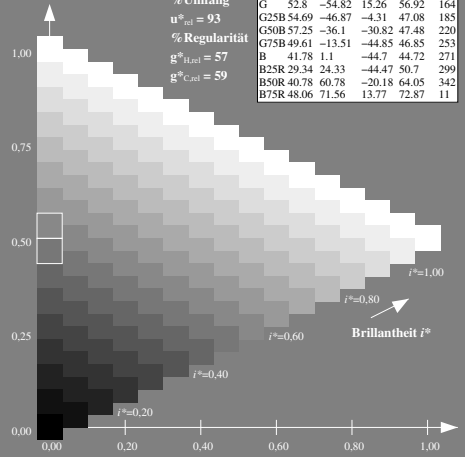

ZG620−7N, 9stufige Reihen für konstanten CIELAB Buntton 354/360 = 0.982 (links) Seite 46/60 ZG620−7N, 16stufige Reihen für konstanten CIELAB Buntton 354/360 = 0.982 (rechts) yn

Siehe ähnliche Dateien: http://www.ps.bam.de/ZG62/; www.ps.bam.de/ZG.HTM
Technische Information: http://www.ps.bam.de Version 2.1, io=1.1

BAM-Registrierung: 20071001-ZG62/L62G00N1.PS/.TXT
Anwendung für Beurteilung und Messung von Drucker- oder Monitorsystemen
BAM-Material: Code=hätata

Eingabe: Farbmetrisches Offset-Reflektiv-System ORS18

für Buntton $h^* = lab^*h = 25/360 = 0.069$
lab*tch* und *lab*nch
D65: Buntton R
LCH*Ma: 48 75 25
olv*Ma: 1.0 0.0 0.32

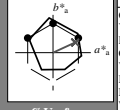

ORS18; adaptierte CIELAB-Daten

	$L^*=L^*_a$	a^*_a	b^*_a	$C^*_{ab,a}$	$h^*_{ab,a}$
O_{Ma}	47.94	65.39	50.52	82.63	38
Y_{Ma}	90.37	−10.26	91.75	92.32	96
L_{Ma}	50.9	−62.83	34.96	71.91	151
C_{Ma}	58.62	−30.34	−45.01	54.3	236
V_{Ma}	25.72	31.1	−44.4	54.22	305
M_{Ma}	48.13	75.28	−8.36	75.74	354
N_{Ma}	18.01	0.0	0.0	0.0	0
W_{Ma}	95.41	0.0	0.0	0.0	0
R_{CIE}	39.92	58.66	26.98	64.57	25
J_{CIE}	81.26	−2.16	67.76	67.79	92
G_{CIE}	52.23	−42.25	11.76	43.87	164
B_{CIE}	30.57	1.15	−46.84	46.86	271

Dreiecks-Helligkeit *t**

%Umfang
u^*_{rel} = 93
%Regularität
$g^*_{H,rel}$ = 57
$g^*_{C,rel}$ = 59

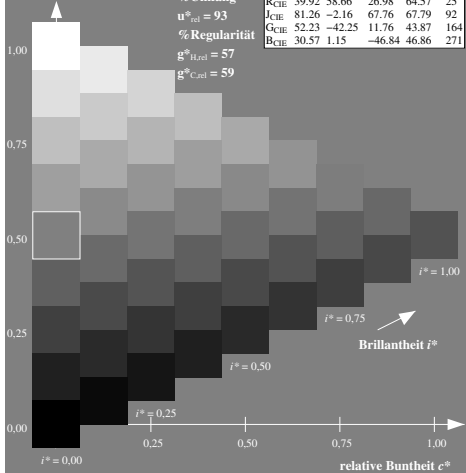

Ausgabe: Farbmetrisches Offset-Reflektiv-System ORS18

für Buntton $h^* = lab^*h = 25/360 = 0.069$
lab*tch* und *lab*nch
D65: Buntton R
LCH*Ma: 48 75 25
olv*Ma: 1.0 0.0 0.32

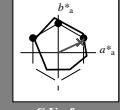

ORS18; adaptierte CIELAB-Daten

	$L^*=L^*_a$	a^*_a	b^*_a	$C^*_{ab,a}$	$h^*_{ab,a}$
R	48.0	68.58	31.54	75.48	25
R25J	50.11	61.52	52.63	80.96	41
R50J	62.87	38.77	65.02	75.71	59
R75J	74.87	17.37	76.69	78.63	77
J	86.19	−2.8	87.69	87.73	92
J25G	84.01	−18.73	82.6	84.7	103
J50G	71.17	−35.83	64.13	73.46	119
J75G	56.99	−54.71	43.72	70.05	141
G	52.8	−54.82	15.26	56.92	164
G25B	54.69	−46.87	−4.31	47.08	185
G50B	57.25	−36.1	−30.82	47.48	220
G75B	49.61	−13.51	−44.85	46.85	253
B	41.78	1.1	−44.7	44.72	271
B25R	29.34	24.33	−44.47	50.7	299
B50R	40.78	60.78	−20.18	64.05	342
B75R	48.06	71.56	13.77	72.87	11

Dreiecks-Helligkeit *t**

%Umfang
u^*_{rel} = 93
%Regularität
$g^*_{H,rel}$ = 57
$g^*_{C,rel}$ = 59

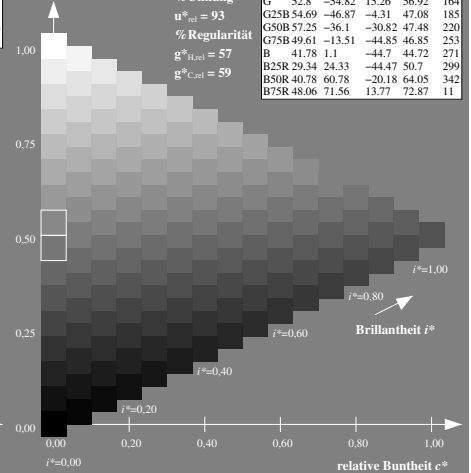

ZG620−7N, 9stufige Reihen für konstanten CIELAB Buntton 25/360 = 0.069 (links) Seite 47/60 ZG620−7N, 16stufige Reihen für konstanten CIELAB Buntton 25/360 = 0.069 (rechts) yn

Siehe ähnliche Dateien: http://www.ps.bam.de/ZG62/; www.ps.bam.de/ZG.HTM
Technische Information: http://www.ps.bam.de Version 2.1, io=1.1

BAM-Registrierung: 20071001-ZG62/L62G00N1.PS/.TXT
Anwendung für Beurteilung und Messung von Drucker- oder Monitorsystemen
BAM-Material: Code=rhaata

Eingabe: Farbmetrisches Offset-Reflektiv-System ORS18

für Buntton $h^* = lab^*h = 92/360 = 0.255$

lab*tch* und *lab*nch

D65: Buntton J

LCH*Ma: 86 88 92

olv*Ma: 1.0 0.9 0.0

ORS18; adaptierte CIELAB-Daten

	$L^*=L^*_a$	a^*_a	b^*_a	$C^*_{ab,a}$	$h^*_{ab,a}$
O_{Ma}	47.94	65.39	50.52	82.63	38
Y_{Ma}	90.37	−10.26	91.75	92.32	96
L_{Ma}	50.9	−62.83	34.96	71.91	151
C_{Ma}	58.62	−30.34	−45.01	54.3	236
V_{Ma}	25.72	31.1	−44.4	54.22	305
M_{Ma}	48.13	75.28	−8.36	75.74	354
N_{Ma}	18.01	0.0	0.0	0.0	0
W_{Ma}	95.41	0.0	0.0	0.0	0
R_{CIE}	39.92	58.66	26.98	64.57	25
J_{CIE}	81.26	−2.16	67.76	67.79	92
G_{CIE}	52.23	−42.25	11.76	43.87	164
B_{CIE}	30.57	1.15	−46.84	46.86	271

Dreiecks-Helligkeit *t**

%Umfang

u^*_{rel} = 93

%Regularität

$g^*_{H,rel}$ = 57

$g^*_{C,rel}$ = 59

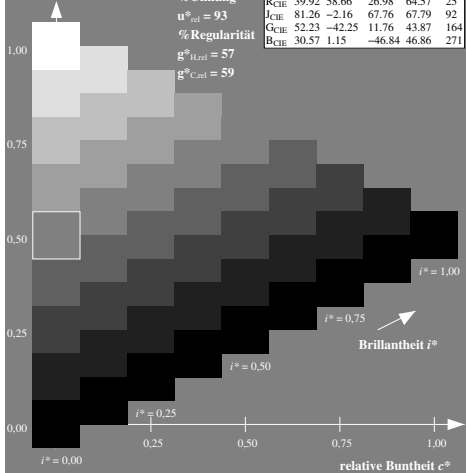

Ausgabe: Farbmetrisches Offset-Reflektiv-System ORS18

für Buntton $h^* = lab^*h = 92/360 = 0.255$

lab*tch* und *lab*nch

D65: Buntton J

LCH*Ma: 86 88 92

olv*Ma: 1.0 0.9 0.0

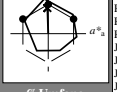

ORS18; adaptierte CIELAB-Daten

	$L^*=L^*_a$	a^*_a	b^*_a	$C^*_{ab,a}$	$h^*_{ab,a}$
R	48.0	68.58	31.54	75.48	25
R25J	50.11	61.52	52.63	80.96	41
R50J	62.87	38.77	65.02	75.71	59
R75J	74.87	17.37	76.69	78.63	77
J	86.19	−2.8	87.69	87.73	92
J25G	84.01	−18.73	82.6	84.7	103
J50G	71.17	−35.83	64.13	73.46	119
J75G	56.99	−54.71	43.72	70.05	141
G	52.8	−54.82	15.26	56.92	164
G25B	54.69	−46.87	−4.31	47.08	185
G50B	57.25	−36.1	−30.82	47.48	220
G75B	49.61	−13.51	−44.85	46.85	253
B	41.78	1.1	−44.7	44.72	271
B25R	29.34	24.33	−44.47	50.7	299
B50R	40.78	60.78	−20.18	64.05	342
B75R	48.06	71.56	13.77	72.87	11

Dreiecks-Helligkeit *t**

%Umfang

u^*_{rel} = 93

%Regularität

$g^*_{H,rel}$ = 57

$g^*_{C,rel}$ = 59

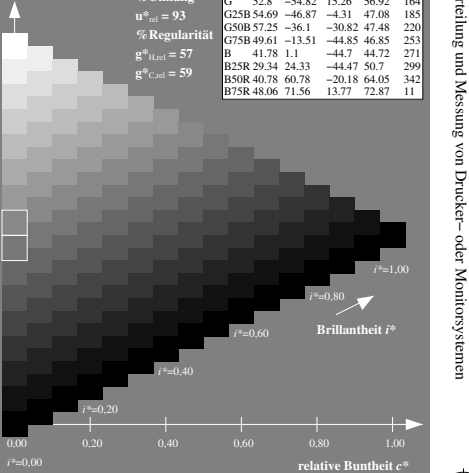

ZG620−7N, 9stufige Reihen für konstanten CIELAB Buntton 92/360 = 0.255 (links) Seite 48/60 ZG620−7N, 16stufige Reihen für konstanten CIELAB Buntton 92/360 = 0.255 (rechts) yn

Siehe ähnliche Dateien: http://www.ps.bam.de/ZG62/; www.ps.bam.de/ZG.HTM
Technische Information: http://www.ps.bam.de Version 2.1, io=1.1

BAM-Registrierung: 20071001-ZG62/L62G00N1.PS/.TXT
Anwendung für Beurteilung und Messung von Drucker- oder Monitorsystemen
BAM-Material: Code=ba4ta

Eingabe: Farbmetrisches Offset-Reflektiv-System ORS18

für Buntton $h^* = lab^*h = 164/360 = 0.457$
lab*tch* und *lab*nch
D65: Buntton G
LCH*Ma: 53 57 164
olv*Ma: 0.0 1.0 0.25

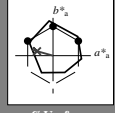

ORS18; adaptierte CIELAB-Daten

	$L^*=L^*_a$	a^*_a	b^*_a	$C^*_{ab,a}$	$h^*_{ab,a}$
O_{Ma}	47.94	65.39	50.52	82.63	38
Y_{Ma}	90.37	−10.26	91.75	92.32	96
L_{Ma}	50.9	−62.83	34.96	71.91	151
C_{Ma}	58.62	−30.34	−45.01	54.3	236
V_{Ma}	25.72	31.1	−44.4	54.22	305
M_{Ma}	48.13	75.28	−8.36	75.74	354
N_{Ma}	18.01	0.0	0.0	0.0	0
W_{Ma}	95.41	0.0	0.0	0.0	0
R_{CIE}	39.92	58.66	26.98	64.57	25
J_{CIE}	81.26	−2.16	67.76	67.79	92
G_{CIE}	52.23	−42.25	11.76	43.87	164
B_{CIE}	30.57	1.15	−46.84	46.86	271

Dreiecks-Helligkeit *t**

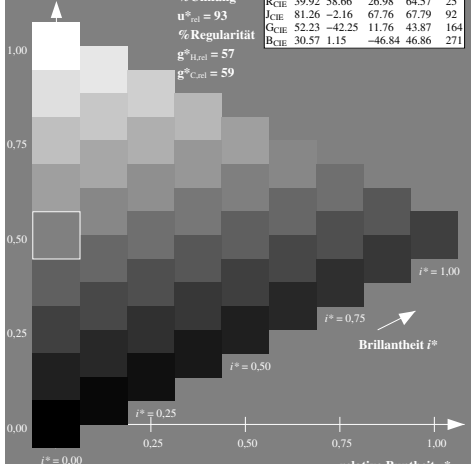

%Umfang u^*_{rel} = 93
%Regularität
$g^*_{H,rel}$ = 57
$g^*_{C,rel}$ = 59

Ausgabe: Farbmetrisches Offset-Reflektiv-System ORS18

für Buntton $h^* = lab^*h = 164/360 = 0.457$
lab*tch* und *lab*nch
D65: Buntton G
LCH*Ma: 53 57 164
olv*Ma: 0.0 1.0 0.25

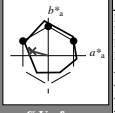

ORS18; adaptierte CIELAB-Daten

	$L^*=L^*_a$	a^*_a	b^*_a	$C^*_{ab,a}$	$h^*_{ab,a}$
R	48.0	68.58	31.54	75.48	25
R25J	50.11	61.52	52.63	80.96	41
R50J	62.87	38.77	65.02	75.71	59
R75J	74.87	17.37	76.69	78.63	77
J	86.19	−2.8	87.69	87.73	92
J25G	84.01	−18.73	82.6	84.7	103
J50G	71.17	−35.83	64.13	73.46	119
J75G	56.99	−54.71	43.72	70.05	141
G	52.8	−54.82	15.26	56.92	164
G25B	54.69	−46.87	−4.31	47.08	185
G50B	57.25	−36.1	−30.82	47.48	220
G75B	49.61	−13.51	−44.85	46.85	253
B	41.78	1.1	−44.7	44.72	271
B25R	29.34	24.33	−44.47	50.7	299
B50R	40.78	60.78	−20.18	64.05	342
B75R	48.06	71.56	13.77	72.87	11

Dreiecks-Helligkeit *t**

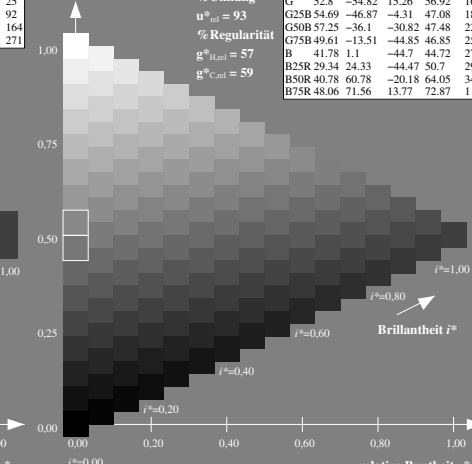

%Umfang u^*_{rel} = 93
%Regularität
$g^*_{H,rel}$ = 57
$g^*_{C,rel}$ = 59

ZG620−7N, 9stufige Reihen für konstanten CIELAB Buntton 164/360 = 0.457 (links) Seite 49/60 ZG620−7N, 16stufige Reihen für konstanten CIELAB Buntton 164/360 = 0.457 (rechts) yn

BAM-Registrierung: 20071001-ZG62/L62G00N1.PS/.TXT
Anwendung für Beurteilung und Messung von Drucker- oder Monitorsystemen
BAM-Material: Code=rhatta

Siehe ähnliche Dateien: http://www.ps.bam.de/ZG62/; www.ps.bam.de/ZG.HTM
Technische Information: http://www.ps.bam.de Version 2.1, io=1.1

Eingabe: Farbmetrisches Offset-Reflektiv-System ORS18

für Buntton $h^* = lab^*h = 271/360 = 0.754$

lab*tch* und *lab*nch

D65: Buntton B

LCH*Ma: 42 45 271

olv*Ma: 0.0 0.49 1.0

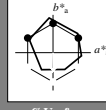

ORS18; adaptierte CIELAB-Daten

	$L^*=L^*_a$	a^*_a	b^*_a	$C^*_{ab,a}$	$h^*_{ab,a}$
O_{Ma}	47.94	65.39	50.52	82.63	38
Y_{Ma}	90.37	−10.26	91.75	92.32	96
L_{Ma}	50.9	−62.83	34.96	71.91	151
C_{Ma}	58.62	−30.34	−45.01	54.3	236
V_{Ma}	25.72	31.1	−44.4	54.22	305
M_{Ma}	48.13	75.28	−8.36	75.74	354
N_{Ma}	18.01	0.0	0.0	0.0	0
W_{Ma}	95.41	0.0	0.0	0.0	0
R_{CIE}	39.92	58.66	26.98	64.57	25
J_{CIE}	81.26	−2.16	67.76	67.79	92
G_{CIE}	52.23	−42.25	11.76	43.87	164
B_{CIE}	30.57	1.15	−46.84	46.86	271

Dreiecks-Helligkeit *t

%Umfang

u^*_{rel} = 93

%Regularität

$g^*_{H,rel}$ = 57

$g^*_{C,rel}$ = 59

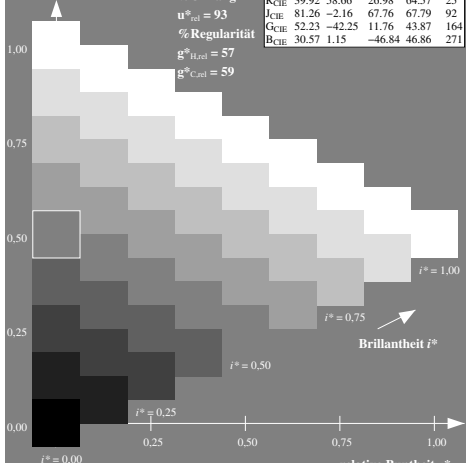

Ausgabe: Farbmetrisches Offset-Reflektiv-System ORS18

für Buntton $h^* = lab^*h = 271/360 = 0.754$

lab*tch* und *lab*nch

D65: Buntton B

LCH*Ma: 42 45 271

olv*Ma: 0.0 0.49 1.0

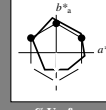

ORS18; adaptierte CIELAB-Daten

	$L^*=L^*_a$	a^*_a	b^*_a	$C^*_{ab,a}$	$h^*_{ab,a}$
R	48.0	68.58	31.54	75.48	25
R25J	50.11	61.52	52.63	80.96	41
R50J	62.87	38.77	65.02	75.71	59
R75J	74.87	17.37	76.69	78.63	77
J	86.19	−2.8	87.69	87.73	92
J25G	84.01	−18.73	82.6	84.7	103
J50G	71.17	−35.83	64.13	73.46	119
J75G	56.99	−54.71	43.72	70.05	141
G	52.8	−54.82	15.26	56.92	164
G25B	54.69	−46.87	−4.31	47.08	185
G50B	57.25	−36.1	−30.82	47.48	220
G75B	49.61	−13.51	−44.85	46.85	253
B	41.78	1.1	−44.7	44.72	271
B25R	29.34	24.33	−44.47	50.7	299
B50R	40.78	60.78	−20.18	64.05	342
B75R	48.06	71.56	13.77	72.87	11

Dreiecks-Helligkeit *t

%Umfang

u^*_{rel} = 93

%Regularität

$g^*_{H,rel}$ = 57

$g^*_{C,rel}$ = 59

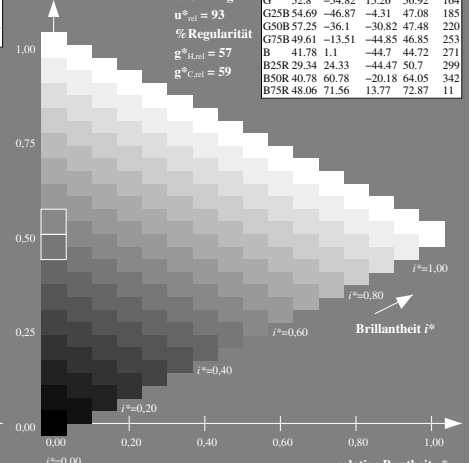

ZG620−7N, 9stufige Reihen für konstanten CIELAB Buntton 271/360 = 0.754 (links) Seite 50/60 ZG620−7N, 16stufige Reihen für konstanten CIELAB Buntton 271/360 = 0.754 (rechts) yn